

**ČESKÉ VYSOKÉ
UČENÍ TECHNICKÉ
V PRAZE**

**FAKULTA
STROJNÍ**

**ÚSTAV PŘÍSTROJOVÉ
A ŘÍDICÍ TECHNIKY**



**RELÉOVÁ IDENTIFIKACE
PRO PLC TECOMAT FOXTROT**

**DIPLOMOVÁ
PRÁCE**

2018

**ALŽBĚTA
HORNYCHOVÁ**

I. OSOBNÍ A STUDIJNÍ ÚDAJE

Příjmení: **Hornychová** Jméno: **Alžběta** Osobní číslo: **420473**
Fakulta/ústav: **Fakulta strojní**
Zadávající katedra/ústav: **Ústav přístrojové a řídicí techniky**
Studijní program: **Strojní inženýrství**
Studijní obor: **Přístrojová a řídicí technika**

II. ÚDAJE K DIPLOMOVÉ PRÁCI

Název diplomové práce:

Reléová identifikace pro PLC Tecomat Foxtrot

Název diplomové práce anglicky:

Relay identification for PLC Tecomat Foxtrot

Pokyny pro vypracování:

1. Seznamte se s vybranými algoritmy reléové zpětnovazební identifikace pro odhad modelu řízené soustavy typu SISO.
2. Seznamte se s HW a SW prostředky systému Tecomat Foxtrot firmy Teco a.s.
3. Naprogramujte vybrané algoritmy reléové zpětnovazební identifikace použitelné pro automatické naladění PID regulátoru.
4. Experimentálně ověřte a porovnejte funkčnost vytvořených programových modulů reléové identifikace.
5. Vybraný programový modul reléové identifikace upravte do tvaru vhodného pro implementaci do knihovny iControlLib pro prostředí Mosaic.

Seznam doporučené literatury:

- [1] Chidambaram M. and Sathe V. (2014). Relay Autotuning for Identification and Control. Cambridge University Press, Cambridge
- [2] Åström K. J. and Hägglund T. (2006). Advanced PID Control. ISA - The Instrumentation, Systems and Automation Society
- [3] Berner, J., Hägglund, T., Åström K.J. (2016): Improved relay autotuning using normalized time delay, American Control Conference (ACC), Boston, pp. 1869-1875
- [4] Hofreiter M. (2017). Biased-Relay Feedback Identification for Time Delay Systems. IFAC-PapersOnLine, Elsevier, Volume 50, Issue 1, pp. 14620-14625

Jméno a pracoviště vedoucí(ho) diplomové práce:

prof. Ing. Milan Hofreiter, CSc., U12110.3

Jméno a pracoviště druhého(ho) vedoucí(ho) nebo konzultanta(ky) diplomové práce:

Datum zadání diplomové práce: **18.04.2018**

Termín odevzdání diplomové práce: **15.06.2018**

Platnost zadání diplomové práce: _____

prof. Ing. Milan Hofreiter, CSc.
podpis vedoucí(ho) práce

podpis vedoucí(ho) ústavu/katedry

prof. Ing. Michael Valášek, DrSc.
podpis děkana(ky)

III. PŘEVZETÍ ZADÁNÍ

Diplomantka bere na vědomí, že je povinna vypracovat diplomovou práci samostatně, bez cizí pomoci, s výjimkou poskytnutých konzultací. Seznam použité literatury, jiných pramenů a jmen konzultantů je třeba uvést v diplomové práci.

Datum převzetí zadání

Podpis studentky

Poděkování

Mé poděkování patří v první řadě vedoucímu práce profesoru Milanovi Hofreiterovi za konzultace a vedení při vytváření této práce. Dále pak patří inženýru Milanovi Bydžovskému za poskytnutí vzorového programu pro PLC, Františkovi Hylmarovi za pomoc při hledání těžko odhalitelných syntaktických chyb a inženýrům Petrovi Válovi, Danielovi Makovičkovi a Liborovi Válovi za zasvěcení do základních programátorských postupů.

Prohlášení

Prohlašuji, že jsem tuto diplomovou práci vypracovala samostatně s tím, že její výsledky mohou být dále použity podle uvážení vedoucího diplomové práce jako jejího spoluautora. Souhlasím také s případnou publikací výsledků diplomové práce nebo její podstatné části, pokud budu uvedena jako její spoluautor.

V Praze, 15. června 2018

Abstrakt

V rámci této práce byly pro PLC Tecomat Foxtrot napsány skripty reléové zpětnovazební identifikace podle tří různých metod. Při volbě metod byl kladen důraz na jednoduchost měření a následných výpočtů. První z použitých metod byla publikována v práci Biased-Relay Feedback Identification for Time Delay Systems (Hofreiter, 2017). Tato metoda dokázala nalézt body Nyquistovy frekvenční charakteristiky, avšak při určování parametrů modelu druhého řádu s dopravním zpožděním docházelo k případům, kdy určené dopravní zpoždění bylo záporné a mělo tedy nesmyslnou hodnotu. Druhá metoda je upravenou verzí metody první a je popsána v článku Alternative Identification Method using Biased Relay Feedback (Hofreiter, 2018). Touto metodou se určí body Nyquistovy frekvenční charakteristiky mající nižší frekvenci než v předchozí metodě, proto následné určení modelu druhého řádu s dopravním zpožděním pokaždé proběhlo správně. Třetí použitá metoda, publikovaná v práci Automatic Tuning of PID Controllers based on Asymmetric Relay Feedback (Bernner, 2015), identifikuje soustavu modelem prvního řádu s dopravním zpožděním, a ten byl i zde vypočítán ve všech případech. Přesnost určených modelů je porovnávána v závěru práce. Jako nejlepší se ukázala druhá metoda, která oproti třetí metodě určila ve všech případech model přesněji a nikdy u ní neselhal výpočet parametrů modelu.

Klíčová slova: reléová zpětnovazební identifikace, dopravní zpoždění, normalizované dopravní zpoždění

Vedoucí: prof. Ing. Milan Hofreiter, CSc.

Abstract

In this diploma thesis, scripts utilising three different methods of relay feedback identification were written for the Tecomat Foxtrot PLC. The methods were chosen for the simplicity of measurements and following calculations. The first one (in Hofreiter 2017: Biased-Relay Feedback Identification for Time Delay Systems) was able to find points of the Nyquist's frequency characteristic. However, when estimating the parameters of second order time delayed model, the time delay estimate was smaller than zero in some cases, and thus meaningless. The second method (in Hofreiter 2018: Alternative Identification Method using Biased Relay Feedback) is a modification of the former. The frequency points of the Nyquist's frequency characteristic were estimated to be lower than with the first method; therefore the second order time delayed model was correctly identified in all cases. The third method (in Bernner 2015: Automatic Tuning of PID Controllers based on Asymmetric Relay Feedback) identifies the system using a first order time delayed model, which has been also identified in all cases. The accuracy of the identified models is discussed in the Conclusion section: the second method performed the best, because it did not fail in model parameters calculation in any of the attempts, and has been more accurate than the third one.

Keywords: relay feedback identification, time delay, normalized time delay

Title translation: Relay identification for PLC Tecomat Foxtrot

Obsah

1 Úvod	1		
Část I			
Programovatelný automat Tecomat Foxtrot CP-1015			
2 Možnosti programovatelného automatu Tecomat Foxtrot CP-1015	4		
2.1 Hardware	4		
2.1.1 Centrální jednotka	4		
2.1.2 Vstupy a výstupy	5		
2.2 Software	6		
2.2.1 Ladder diagram	6		
2.2.2 Function block diagram	6		
2.2.3 Continuous flow chart	7		
2.2.4 Instruction list	7		
2.2.5 Structured text	7		
Část II			
Použité metody reléové identifikace			
3 Určení parametrů modelu ze tří bodů Nyquistovy frekvenční charakteristiky	9		
3.1 Základní princip metody	9		
3.2 Zapojení soustavy pro identifikaci	10		
3.3 Přepínání relé	11		
3.4 Určení bodů Nyquistovy frekvenční charakteristiky	11		
3.4.1 První bod Nyquistovy frekvenční charakteristiky	11		
3.4.2 Druhý bod Nyquistovy frekvenční charakteristiky	12		
3.4.3 Třetí bod Nyquistovy frekvenční charakteristiky	13		
3.5 Parametry modelu	13		
4 Určení parametrů modelu ze tří bodů Nyquistovy frekvenční charakteristiky s přidaným dopravním zpožděním	14		
4.1 Měření	14		
4.2 Výpočet	14		
5 Určení modelu pro nastavení parametrů PI, PD a PID regulátorů	16		
5.1 Základní princip metody	16		
5.2 Reléová identifikace	17		
5.3 Přepínání relé	17		
5.4 Normalizované dopravní zpoždění	17		
5.5 Určení modelu	18		
Část III			
Programové řešení reléové identifikace			
6 Určení parametrů modelu ze tří bodů Nyquistovy frekvenční charakteristiky	21		
6.1 Spuštění identifikačního procesu	21		
6.1.1 CASE 00 a CASE 01 – kontrola zadaných údajů a spuštění identifikace	21		
6.2 Určení pracovního bodu, statické citlivosti soustavy a velikosti šumu výstupního signálu	23		
6.2.1 CASE 10 a CASE 11 – nastavení konstantní hodnoty vstupu a čekání na ustálený stav	23		
6.2.2 CASE 20 a CASE 21 – určení bodu blízkého pracovnímu bodu	23		
6.2.3 CASE 30 a CASE 31 – nastavení hodnoty vstupu do pracovního bodu a čekání na ustálený stav	23		
6.2.4 CASE 40 a CASE 41 – určení pracovního bodu a statické citlivosti soustavy	24		
6.2.5 CASE 50 a CASE 51 – určení maximální hodnoty šumu v pracovním bodě	24		
6.3 Čekání na ustálení periody kmitu soustavy a vzorkování vstupu a výstupu	24		
6.3.1 CASE 70 a CASE 71 – hledání ustálené periody kmitu	24		
6.3.2 CASE 80 a CASE 81 – vzorkování vstupu a výstupu soustavy	26		
6.4 Zpracování naměřených dat	27		
6.4.1 CASE 90 a CASE 91 – výpočet integrálů ze vstupu a výstupu soustavy ve frekvenční oblasti	27		
6.4.2 CASE 100 a CASE 101 – výpočet bodů Nyquistovy frekvenční charakteristiky	29		

6.4.3 CASE 110 a CASE 111 – výpočet parametrů SOTD modelu	29	8.4.1 CASE 80 a CASE 81 – vzorkování výstupu soustavy	39
6.5 Ukončení měření	30	8.5 Zpracování naměřených dat a příprava na další identifikaci	40
6.5.1 CASE 120 a CASE 121 – příprava programu k další identifikaci	30	8.5.1 CASE 90 a CASE 91 – výpočet integrálů ze vstupu a výstupu soustavy ve frekvenční oblasti	40
7 Určení parametrů modelu ze tří bodů Nyquistovy frekvenční charakteristiky s přidaným dopravním zpožděním	31	8.5.2 CASE 100 a CASE 101 – příprava na další identifikaci	41
7.0.1 CASE 70 a CASE 71 – hledání ustálené periody kmitu	31		
7.1 CASE 80 a CASE 81 – vzorkování vstupu a výstupu soustavy	31		
8 Určení modelu pro nastavení parametrů PI, PD a PID regulátorů	32		
8.1 Spuštění identifikačního procesu	32		
8.1.1 CASE 00 a CASE 01 – kontrola zadaných údajů a spuštění identifikace	32		
8.2 Určení pracovního bodu, statické citlivosti soustavy a velikosti šumu výstupního signálu	34		
8.2.1 CASE 10 a CASE 11 – nastavení konstantní hodnoty vstupu a čekání na ustálený stav	34		
8.2.2 CASE 20 a CASE 21 – určení bodu blízkého pracovnímu bodu	34		
8.2.3 CASE 30 a CASE 31 – nastavení hodnoty vstupu do pracovního bodu a čekání na ustálený stav	34		
8.2.4 CASE 40 a CASE 41 – určení pracovního bodu a statické citlivosti soustavy	35		
8.2.5 CASE 50 a CASE 51 – určení maximální hodnoty šumu v pracovním bodě	35		
8.3 Určení parametrů relé	36		
8.3.1 CASE 60 a CASE 61 – exponenciální náběh akční veličiny	36		
8.3.2 CASE 70 a CASE 71 – kontrola parametrů relé a jejich případná úprava	36		
8.4 Měření průběhů akční a regulované veličiny	39		
		Část IV	
		Testování skriptů	
		9 Použité soustavy	43
		9.1 Simulovaná soustava	43
		9.2 Reálné soustavy	43
		9.2.1 Soustava „Teplovzdušný model“ – zapojení s ventilátorem	44
		9.2.2 Soustava „Teplovzdušný model“ – zapojení se žárovkou	45
		10 Určení parametrů modelu ze tří bodů Nyquistovy frekvenční charakteristiky	47
		10.1 Testování na simulované soustavě	47
		10.1.1 Opakovatelnost měření	47
		10.1.2 Správnost identifikace simulované soustavy	49
		10.2 Testování na reálných soustavách	51
		10.2.1 Identifikace soustavy „Teplovzdušný model“ – zapojení s ventilátorem	51
		10.2.2 Identifikace soustavy „Teplovzdušný model“ – zapojení se žárovkou	52
		11 Určení parametrů modelu ze tří bodů Nyquistovy frekvenční charakteristiky s přidaným dopravním zpožděním	55
		11.1 Testování na simulované soustavě	55
		11.1.1 Opakovatelnost měření	55
		11.1.2 Správnost identifikace simulované soustavy	56
		11.2 Testování na reálných soustavách	59
		11.2.1 Identifikace soustavy „Teplovzdušný model“ – zapojení s ventilátorem	59

11.2.2 Identifikace soustavy „Teplovzdušný model“ – zapojení se žárovkou	61
12 Určení modelu pro nastavení parametrů PI, PD a PID regulátorů	64
12.1 Testování na simulované soustavě	64
12.1.1 Opakovatelnost měření.	64
12.1.2 Správnost identifikace simulované soustavy	66
12.2 Testování na reálných soustavách	69
12.2.1 Identifikace soustavy „Teplovzdušný model“ – zapojení s ventilátorem	69
12.2.2 Identifikace soustavy „Teplovzdušný model“ – zapojení se žárovkou	71
13 Porovnání použitých metod	74
13.1 Kritérium správné polohy bodů Nyquistovy frekvenční charakteristiky	74
13.1.1 Simulovaná soustava.	74
13.1.2 Soustava „Teplovzdušný model“ – zapojení s ventilátorem	75
13.1.3 Soustava „Teplovzdušný model“ – zapojení se žárovkou . .	76
13.2 Porovnání frekvenčních charakteristik	77
13.2.1 Simulovaná soustava.	77
13.2.2 Soustava „Teplovzdušný model“ – zapojení s ventilátorem	79
13.2.3 Soustava „Teplovzdušný model“ – zapojení se žárovkou . .	81
Část V	
Příprava funkčního bloku reléové identifikace do knihovny iControlLib	
13.3 Funkční blok dle standardu IEC EN 61 131–3	84
13.4 Deklarace funkčního bloku	84
13.5 Funkční blok reléové identifikace	84

Část VI

Závěr	
Přílohy	
A Literatura	89
B Seznam použitých zkratk a symbolů	91
A	91
B	91
C	91
D	91
E	91
F	91
G	92
H	92
I	92
K	93
L	93
M	93
N	93
P	93
R	93
S	93
T	94
U	95
W	95
x	95
Y	95
γ	96
ϕ	96
ρ	96
τ	96
ω	96
C Skripty reléové identifikace a funkční bloky	98

Obrázky

2.1 Schéma zapojení PLC Tecomat Foxtrot CP-1015 a CP-1015 (Převzato z technické dokumentace [10]).	5
2.2 Náповěda pro jazyk SFC (Převzato z náповědy programu Mosaic [11]).	6
2.3 Náповěda pro jazyk SFC (Převzato z náповědy programu Mosaic [11]).	7
3.1 Nejčastější rozložení bodů Nyquistovy frekvenční charakteristiky určených identifikací.	10
3.2 Schéma základního zapojení pro reléovou identifikaci.	11
4.1 Schéma zapojení pro reléovou identifikaci s přidaným dopravním zpožděním.	14
4.2 Nejčastější rozložení identifikací určených bodů Nyquistovy frekvenční charakteristiky.	15
5.1 Schéma základního zapojení pro reléovou identifikaci.	17
6.1 Webové rozhraní pro ovládání programu reléové identifikace.	22
8.1 Webové rozhraní pro ovládání programu reléové identifikace.	33
9.1 Soustava „Teplovzdušný model“ (Fotografie ve spolupráci s Františkem Hylmarem).	44
9.2 Schéma soustavy „Teplovzdušný model“ – zapojení s ventilátorem.	45
9.3 Schéma soustavy „Teplovzdušný model“ – zapojení se žárovkou.	45
10.1 Nyquistovy frekvenční charakteristiky pro dva nejodlišnější výsledky měření, $\omega_1 = 0,7462 \text{ rad/s}$ a $\omega_2 = 1,4924 \text{ rad/s}$	49
10.2 Amplitudové frekvenční charakteristiky pro dva nejodlišnější výsledky měření, $\omega_1 = 0,7462 \text{ rad/s}$ a $\omega_2 = 1,4924 \text{ rad/s}$	50
10.3 Fázové frekvenční charakteristiky pro dva nejodlišnější výsledky měření, $\omega_1 = 0,7462 \text{ rad/s}$ a $\omega_2 = 1,4924 \text{ rad/s}$	50
10.4 Porovnání bodů frekvenční charakteristiky určených identifikací s body Nyquistovy frekvenční charakteristikou soustavy.	51
10.5 Porovnání bodů frekvenční charakteristiky určených identifikací s body fázové frekvenční charakteristikou soustavy.	52
10.6 Porovnání bodů frekvenční charakteristiky určených identifikací s body amplitudové frekvenční charakteristikou soustavy.	52
10.7 Porovnání bodů frekvenční charakteristiky určených identifikací s body Nyquistovy frekvenční charakteristiky soustavy.	53
10.8 Porovnání bodů frekvenční charakteristiky určených identifikací s body fázové frekvenční charakteristiky soustavy.	54
10.9 Porovnání bodů frekvenční charakteristiky určených identifikací s body amplitudové frekvenční charakteristiky soustavy.	54
11.1 Nyquistovy frekvenční charakteristiky pro dva nejodlišnější výsledky měření, $\omega_1 = 0,469595 \text{ rad/s}$ a $\omega_2 = 0,93919 \text{ rad/s}$	57
11.2 Amplitudové frekvenční charakteristiky pro dva nejodlišnější výsledky měření, $\omega_1 = 0,469595 \text{ rad/s}$ a $\omega_2 = 0,93919 \text{ rad/s}$	58
11.3 Fázové frekvenční charakteristiky pro dva nejodlišnější výsledky měření, $\omega_1 = 0,469595 \text{ rad/s}$ a $\omega_2 = 0,93919 \text{ rad/s}$	58
11.4 Porovnání Nyquistovy frekvenční charakteristiky určeného modelu s body frekvenční charakteristiky soustavy.	60

11.5 Porovnání fázové frekvenční charakteristiky určeného modelu s body frekvenční charakteristiky soustavy.	61	12.7 Porovnání Nyquistovy frekvenční charakteristiky modelu s body Nyquistovy frekvenční charakteristiky soustavy.	70
11.6 Porovnání amplitudové frekvenční charakteristiky určeného modelu s body frekvenční charakteristiky soustavy.	61	12.8 Porovnání amplitudové frekvenční charakteristiky modelu s body amplitudové frekvenční charakteristiky soustavy.	70
11.7 Porovnání Nyquistovy frekvenční charakteristiky určeného modelu s body frekvenční charakteristiky soustavy.	62	12.9 Porovnání fázové frekvenční charakteristiky modelu s body fázové frekvenční charakteristiky soustavy.	71
11.8 Porovnání fázové frekvenční charakteristiky určeného modelu s body frekvenční charakteristiky soustavy.	63	12.10 Porovnání frekvenční charakteristiky modelu s body Nyquistovy frekvenční charakteristiky soustavy.	72
11.9 Porovnání amplitudové frekvenční charakteristiky určeného modelu s body frekvenční charakteristiky soustavy.	63	12.11 Porovnání frekvenční charakteristiky modelu s body amplitudové frekvenční charakteristiky soustavy.	72
12.1 Porovnání Nyquistovy frekvenční charakteristiky simulované soustavy a frekvenčních charakteristik určených FOTD modelů.	65	12.12 Porovnání frekvenční charakteristiky modelu s body fázové frekvenční charakteristiky soustavy.	73
12.2 Porovnání amplitudové frekvenční charakteristiky simulované soustavy a frekvenčních charakteristik určených FOTD modelů.	66	13.1 Porovnání Nyquistovy frekvenční charakteristiky simulované soustavy a frekvenčních charakteristik určených modelů.	77
12.3 Porovnání fázové frekvenční charakteristiky simulované soustavy a frekvenčních charakteristik určených FOTD modelů.	66	13.2 Porovnání amplitudové frekvenční charakteristiky simulované soustavy a frekvenčních charakteristik určených modelů.	78
12.4 Porovnání Nyquistovy frekvenční charakteristiky simulované soustavy (černě) a frekvenčních charakteristik určených FOTD modelů.	67	13.3 Porovnání fázové frekvenční charakteristiky simulované soustavy a frekvenčních charakteristik určených modelů.	78
12.5 Porovnání amplitudové frekvenční charakteristiky simulované soustavy (černě) a frekvenčních charakteristik určených FOTD modelů.	68	13.4 Porovnání Nyquistovy frekvenční charakteristiky soustavy „Teplovzdušný model“ – zapojení s ventilátorem a frekvenčních charakteristik určených modelů. . .	79
12.6 Porovnání fázové frekvenční charakteristiky simulované soustavy (černě) a frekvenčních charakteristik určených FOTD modelů.	68	13.5 Porovnání amplitudové frekvenční charakteristiky soustavy „Teplovzdušný model“ – zapojení s ventilátorem a frekvenčních charakteristik určených modelů. . .	80

13.6 Porovnání bodů fázové frekvenční charakteristiky soustavy „Teplovzdušný model“ – zapojení s ventilátorem a frekvenčních charakteristik určených modelů. . .	80
13.7 Porovnání Nyquistovy frekvenční charakteristiky soustavy „Teplovzdušný model“ – zapojení se žárovkou a frekvenčních charakteristik určených modelů. . .	81
13.8 Porovnání amplitudové frekvenční charakteristiky soustavy „Teplovzdušný model“ – zapojení se žárovkou a frekvenčních charakteristik určených modelů. . .	82
13.9 Porovnání bodů fázové frekvenční charakteristiky soustavy „Teplovzdušný model“ – zapojení se žárovkou a frekvenčních charakteristik určených modelů. . .	82
13.10 Zobrazení vytvořeného funkčního bloku <i>fbRelayFeedbackIdentification</i> v jazyce FBD.	85

Tabulky

5.1 Vliv hodnot ρ a γ na τ [15].	18
6.1 Chybové hlášky při špatném zadání parametrů regulace.	23
8.1 Chybové hlášky při špatném zadání parametrů regulace.	33
10.1 Určené body Nyquistovy frekvenční charakteristiky a parametry měření pro 10 různých měření. T_p je perioda kmitu v s , ω_1 je frekvence v rad/s a T_{vz} je vzorkovací perioda v ms . Tři určené body Nyquistovy frekvenční charakteristiky jsou K , $G(j\omega_1)$ a $G(j\omega_2)$	47
10.2 Určené parametry modelu pro 10 různých měření.	48
10.3 Reléovou identifikací určené body frekvenčních charakteristik.	51
10.4 Reléovou identifikací určené body frekvenčních charakteristik.	53
11.1 Určené body Nyquistovy frekvenční charakteristiky a parametry měření pro 10 různých měření. T_p je perioda kmitu v s , ω_1 je frekvence v rad/s a T_{vz} je vzorkovací perioda v ms . Tři určené body Nyquistovy frekvenční charakteristiky jsou K , $G(j\omega_1)$ a $G(j\omega_2)$	55
11.2 Určené parametry modelu pro 10 různých měření.	56
11.3 Reléovou identifikací určené body frekvenčních charakteristik.	59
11.4 Určené parametry SOTD modelu.	59
11.5 Reléovou identifikací určené body frekvenční charakteristiky.	62
11.6 Určené parametry SOTD modelu.	62

12.1 Určené parametry modelu pro 10 různých měření a parametry identifikace. T_p je perioda kmitu v s, $u_{HighValue}$ je ve V, $u_{LowValue}$ je ve V, T je v s a T_d je v s.	64
12.2 Porovnání parametrů modelu pro 5 různých hodnot šumu.	67
12.3 Parametry určeného FOTD modelu, perioda a frekvence identifikace.	69
12.4 Parametry určeného FOTD modelu, perioda a frekvence identifikace.	71
13.1 Relativní odchylky bodů Nyquistovy frekvenční charakteristiky modelů od bodů frekvenční charakteristiky simulované soustavy.	75
13.2 Celkové relativní odchylky bodů Nyquistovy frekvenční charakteristiky modelů od bodů frekvenční charakteristiky simulované soustavy.	75
13.3 Relativní odchylky bodů Nyquistovy frekvenční charakteristiky modelů od bodů frekvenční charakteristiky soustavy „Teplovzdušný model“ – zapojení s ventilátorem.	75
13.4 Celkové relativní odchylky bodů Nyquistovy frekvenční charakteristiky modelů od bodů frekvenční charakteristiky soustavy „Teplovzdušný model“ – zapojení s ventilátorem.	76
13.5 Relativní odchylky bodů Nyquistovy frekvenční charakteristiky modelů od bodů frekvenční charakteristiky soustavy „Teplovzdušný tunel“ – zapojení s ventilátorem	76
13.6 Celkové relativní odchylky bodů Nyquistovy frekvenční charakteristiky modelů od bodů frekvenční charakteristiky soustavy „Teplovzdušný tunel“ – zapojení se žárovkou.	76

Kapitola 1

Úvod

Otázka identifikace soustav bude aktuální, dokud bude aktuální problematika jejich řízení. Pro přesné řízení soustavy je většinou třeba znát její model. Jednou z mnoha cest k jeho určení je reléová identifikace v uzavřeném regulačním obvodu. Ta má oproti jiným identifikačním metodám tu výhodu, že po dobu identifikace je systém řízen a riziko nežádoucí reakce systému na akční veličinu, jako je například dosažení technologicky nepřipustného stavu, je tak minimalizováno. Reléová identifikace v uzavřeném regulačním obvodu je metodou identifikace vhodnou pro soustavy s rychlou odezvou, jako je například reakce výkonu čerpadla na změnu napájecího napětí, kde s rostoucí dobou odezvy soustavy narůstá doba identifikace.

Problematika reléové identifikace má dlouhou historii a je popsána v mnoha pracích. Frekvenční chování soustav k nastavení regulátorů použili už Ziegler a Nichols (1943) [1]. První metodu reléové identifikace popsal Tsyppkin (1974) [2]. A měl řadu následovníků. O velký rozvoj se postarali Åström a Hägglund [3], na ně navázala Berner [4]. Novou metodu reléové identifikace publikoval Hofreiter [5]. Řada metod je také popsána v publikaci Relay Autotuning for Identification and Control [6].

U identifikace soustav je však třeba teorie aplikovat v praxi. Pro průmyslové nasazení je nezbytné, aby identifikace probíhala samostatně a byla spolehlivá. Dále je nutné zvolit univerzální hardwarové řešení. Takovým univerzálním řešením mohou být programovatelné automaty. Pro účely této práce byl vybrán programovatelný automat Tecomat Foxtrot.

Pro svou jednoduchost byly k naprogramování pro programovatelný automat vybrány metody reléové identifikace popsané v Biased-Relay Feedback Identification for Time Delay Systems [7], Alternative Identification Method using Biased Relay Feedback [8] a Automatic Tuning of PID Controllers based on Asymmetric Relay Feedback [9]. Zvolené metody jsou vhodné k identifikaci systémů s jedním vstupem a jedním výstupem (Single input single output – SISO). První metodou je určení parametrů modelu ze tří bodů Nyquistovy frekvenční charakteristiky [7]. Z průběhů akční veličiny a regulované veličiny se určí tři body Nyquistovy frekvenční charakteristiky. Z nich se následně vypočítají parametry modelu druhého řádu s dopravním zpožděním. Druhou metodou je určení parametrů modelu ze tří bodů Nyquistovy frekvenční charakteristiky s přidáním dopravním zpožděním [8]. Její princip je téměř stejný jako u předchozí metody. Výstupem je také model druhého řádu s dopravním zpožděním, jen přepnutí relé je vždy opožděno. Třetí metodou je určení modelu pro

nastavení parametrů PI, PD nebo PID regulátorů [9]. Z parametrů relé a časů, kdy je relé v horní poloze a kdy je v spodní poloze, se vypočítají parametry modelu prvního řádu s dopravním zpožděním.



Část I

Programovatelný automat Tecomat Foxtrot CP-1015

Kapitola 2

Možnosti programovatelného automatu Tecomat Foxtot CP-1015

Firma Teco a.s. se sídlem v Kolíně je dlouholetým českým výrobcem programovatelných automatů, tedy zařízení spadajících do kategorie PLC (Programmable Logic Controller). Jejich vývoj, výroba i testování podléhají mezinárodnímu standardu IEC EN 61 131-3. Mezi jejich produkty patří modulární řídicí systém TECO TC700 pro střední a velké průmyslové aplikace, řada malých modulárních řídicích systémů Tecomat Foxtrot určených k montáži na DIN lištu do průmyslových rozvaděčů nebo také široké spektrum periferních zařízení s komunikací po kabelech i s bezdrátovou radiovou komunikací. Firma Teco také vyvíjí datové sběrnice pro komunikaci mezi základními moduly, dalšími moduly a periferními zařízeními.

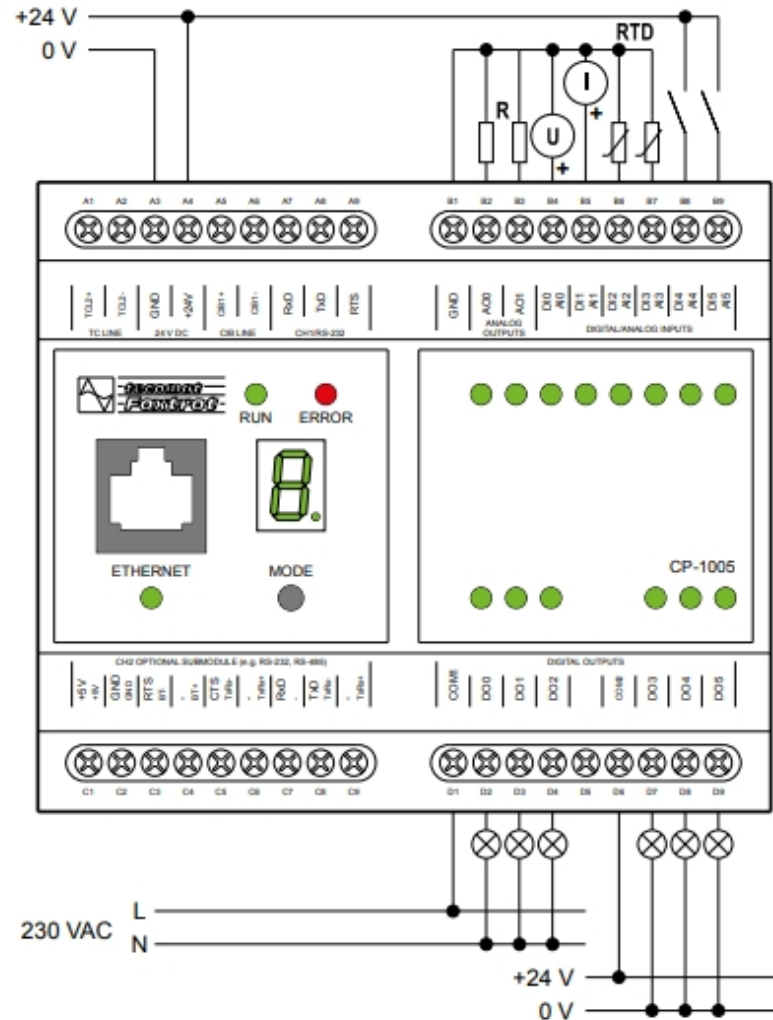
2.1 Hardware

Základní modul Tecomat Foxtrot CP-1015 je jeden z menších modulů v nabídce firmy Teco a.s.. Je vybaven šesti tlačítky a LCD displejem se čtyřmi řádky o dvaceti znacích. To je jeho jediná odlišnost od modulů řady CP-1005. Komunikovat může pomocí Ethernetu 100, CIB, TCL2 a RS-232.

2.1.1 Centrální jednotka

Centrální programovací jednotka je tvořena 32bitovým RISC procesorem. Doba cyklu PLC je $0.2 \text{ ms}/1 \text{ k}$ instrukcí. Je vybavena hodinami reálného času RTC. Paměť udrží program po dobu 500 h a v případě použití baterie $20\,000 \text{ h}$. Paměť programu má velikost 192 KB , paměť proměnných 64 KB a 512 KB je velká interní paměť proměnných. Modul je vybaven SD/MMC slotem. Na SD kartu je možné ukládat data z měření a také se na ní ukládá webové rozhraní pro ovládání programu PLC.

2.1.2 Vstupy a výstupy



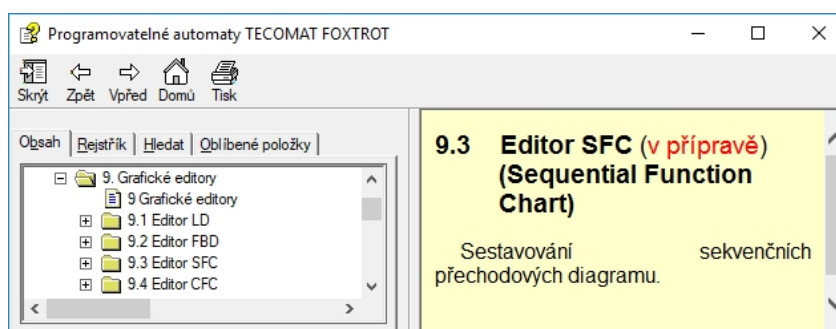
Obrázek 2.1: Schéma zapojení PLC Tecomat Foxtrot CP-1015 a CP-1015 (Převzato z technické dokumentace [10]).

Modul je vybaven šesti reléovými a dvěma analogovými výstupy. Šest analogových vstupů lze zapnout jako vstupy digitální. Při připojení dalších modulů je možné počet vstupů a výstupů výrazně navýšit. Například při použití komunikace po sériové sběrnici TCP2 až na celkový počet 134. Pro naši aplikaci nebylo třeba připojovat žádné další moduly. Byl využíván pouze jeden analogový vstup a jeden analogový výstup.

2.2 Software

Pro programování PLC Tecomat Foxtrot a dalších PLC firmy Teco a.s. Kolín je volně dostupný software Mosaic. Program k dispozici od roku 2000 ve čtyřech jazykových verzích – české, anglické, ruské a německé. Pro odemčení plné verze programu je však třeba k počítači, na kterém se používá, připojit hardwarový klíč nebo do PLC nahrát softwarový klíč, který je pro každé PLC unikátní. Pro potřeby této a dalších prací byl firmou Teco a.s. Kolín poskytnut Ústavu přístrojové a řídicí techniky Fakulty strojní ČVUT v Praze zdarma softwarový klíč pro používané PLC Tecomat Foxtrot CP-1015. Programy popsané v této práci byly napsány ve verzi programu 2017.2 z února 2017.

V programu Mosaic je možné pracovat podle standardu IEC EN 61 131-3. Nabízí výběr mezi pěti programovacími jazyky, dvěma textovými a třemi grafickými. Vzhledem k tomu, že v nápovědě je připravený oddíl i pro další grafický jazyk (Sequential Function Chart – SFC), lze očekávat, že se v budoucnosti nabídka podporovaných jazyků rozšíří (obr. 2.2). Jazyky mají anglické názvy, jejich české ekvivalenty nedosahují platnosti odborných termínů. Při psaní programů je možné jazyky kombinovat. V prostředí Mosaic jsou k dispozici knihovny funkčních bloků.



Obrázek 2.2: Nápověda pro jazyk SFC (Převzato z nápovědy programu Mosaic [11]).

2.2.1 Ladder diagram

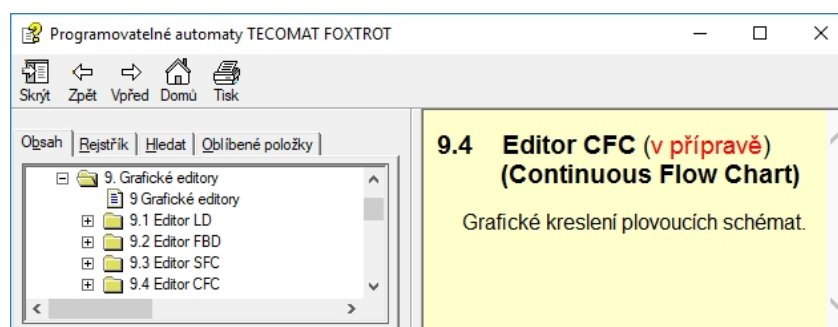
Ladder diagram (LD), neboli jazyk příčkového diagramu, je grafický programovací jazyk. Pro zapsání programů používá nákresy reléové logiky. Mezi dvěma napájecími sběrnicemi jsou příčky, ty se mohou větvit a jsou na nich zapojeny spínače, cívky, funkce a funkční bloky. Jednotlivé větve příček mohou být sepnuté nebo rozepnuté podle polohy spínačů.

2.2.2 Function block diagram

Function block diagram (FBD), jinak jazyk funkčního blokového schématu, vyjadřuje chování funkcí, funkčních bloků a programů pomocí propojených grafických bloků.

2.2.3 Continuous flow chart

Grafické kreslení plovoucích schémat (CFC) je poměrně novou variantou programování PLC a zatím nemá ani příslušné informace v nápovědě programu Mosaic (obr. 2.3). Svou strukturou je blízké jazyku funkčních bloků. Jako jediný z podporovaných jazyků neodpovídá standardu IEC EN 61 131-3.



Obrázek 2.3: Nápověda pro jazyk SFC (Převzato z nápovědy programu Mosaic [11]).

2.2.4 Instruction list

Instruction list (IL), česky jazyk seznamu instrukcí, je textový programovací jazyk. Svou strukturou a příkazy připomíná programovací jazyk Assembler.

2.2.5 Structured text

Structured text (ST), česky jazyk strukturovaného textu, je vyšší programovací jazyk vycházející z jazyků Ada, Pascal a C. Umožňuje používat iterační smyčky, jako je FOR a WHILE, nebo větvení podmínkami IF a CASE OF. Je vhodný pro programování nových funkčních bloků. V této práci byl použit právě jazyk Structured text z důvodu možnosti vytváření cyklů a kontrolních podmínek a také pro jednodušší provádění složitějších výpočtů [12].



Část II

Použité metody reléové identifikace

Kapitola 3

Určení parametrů modelu ze tří bodů Nyquistovy frekvenční charakteristiky

3.1 Základní princip metody

Tato metoda reléové identifikace je postavena na správném určení tří bodů nyquistovy frekvenční charakteristiky, z nichž jeden odpovídá frekvenci $\omega_0 = 0 \text{ rad/s}^{-1}$ a udává tedy statickou citlivost soustavy – K . Jeden z principů měření frekvenčních charakteristik spočívá v připojení harmonicky kmitajícího signálu o frekvenci ω na vstup do soustavy – u . Průběh této akční veličiny se zaznamenává stejně jako průběh výstupu ze soustavy – y . Ze zaznamenaných průběhů se pak určí jeden bod frekvenčních charakteristik soustavy. V Nyquistově frekvenční charakteristice je bod určen třemi parametry – frekvencí ω , reálnou souřadnicí $Re(G(j\omega))$ a imaginární souřadnicí $Im(G(j\omega))$. Případně může být bod dán trojicí parametrů – frekvencí ω , amplitudovým poměrem A a fázovým posuvem ϕ . Přepočítání mezi parametry můžeme provést pomocí goniometrických funkcí. Uvažujeme-li, že máme bod určen pomocí reálné a imaginární souřadnice, pak můžeme z těchto dvou parametrů vypočítat model soustavy o dvou neznámých parametrech. Pokud známe statickou citlivost soustavy – K , pak můžeme určit například model soustavy druhého řádu nebo prvního řádu s dopravním zpožděním. S každým dalším měřením se určí další bod Nyquistovy frekvenční charakteristiky, a tak vzniká možnost použít složitější model a nebo upřesnit jednodušší model.

Metodu, jak získat z jednoho měření dva body frekvenční charakteristiky, publikoval ve své práci *Shifting Method for Relay Feedback Identification* (2016) Milan Hofreiter [5]. Při znalosti statické citlivosti a dalších dvou bodů frekvenční charakteristiky by mělo být možné určit model soustavy daný statickou citlivostí a dalšími čtyřmi parametry. Takovým modelem s pěti parametry je anisochronní model

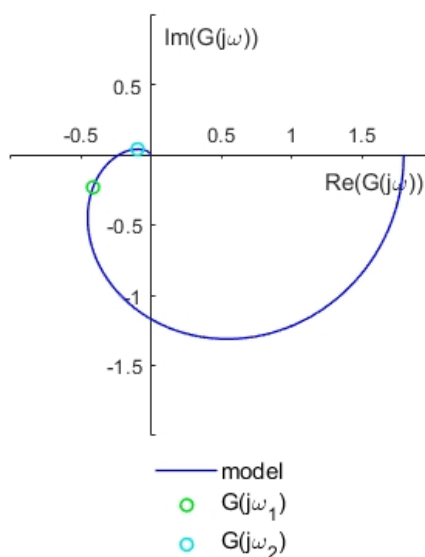
$$G_a(s) = \frac{K e^{-T_d s}}{(\tau_1 s + 1)(\tau_2 s + e^{-\tau_y s})}, \quad (3.1)$$

kde K je statická citlivost, T_d je dopravní zpoždění, τ_1 a τ_2 jsou časové konstanty a τ_y je zpoždění hlavní zpětné vazby. Tímto modelem je možné popsat s vysokou přesností i složité soustavy. Avšak vzhledem k nelineárnosti modelu je potřeba k výpočtu jeho parametrů použít některou z numerických metod výpočtu. Tomuto tématu jsem se blíže věnovala v bakalářské práci *Odhad parametrů anisochronního*

modelu ze zadaných bodů frekvenční charakteristiky [13]. Lepších výsledků pak bylo dosaženo v práci Určení parametrů anisochronního modelu soustavy pomocí releové identifikace a diferenciální evoluce [14]. Vzhledem k náročnosti výpočtů a nutnosti použít jako výpočetní jednotku PLC s omezenou pamětí byl vybrán jednodušší model a to model druhého řádu s dopravním zpožděním (Second order time delayed model – SOTD)

$$G(s) = \frac{K e^{-T_d s}}{a_2 s^2 + a_1 s + 1}, \quad (3.2)$$

kde K je statická citlivost, T_d je dopravní zpoždění a a_1 a a_2 jsou časové konstanty. Pro určení parametrů tohoto jednoduššího modelu není třeba použít numerické metody výpočtu. Matematické vztahy k přímému výpočtu parametrů modelu ze dvou bodů Nyquistovy frekvenční charakteristiky a statické citlivosti byly publikovány v práci Biased-Relay Feedback Identification for Time Delay Systems [7].

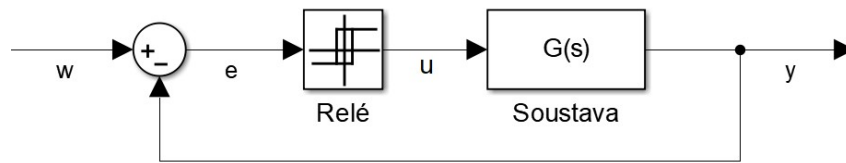


Obrázek 3.1: Nejčastější rozložení bodů Nyquistovy frekvenční charakteristiky určených identifikací.

Nevýhodou metody je, že nalezené body frekvenční charakteristiky leží ve druhém a třetím kvadrantu (obr. 3.1). O průběhu Nyquistovy frekvenční charakteristiky soustavy ve čtvrtém kvadrantu tak nemáme žádné informace. Pro určení modelu je tedy vhodnější nalézt body frekvenční charakteristiky s fází menší než π rad.

3.2 Zapojení soustavy pro identifikaci

Pro určení dvou bodů Nyquistovy frekvenční charakteristiky se použije zpětnovazební zapojení s relé (obr.3.2),



Obrázek 3.2: Schéma základního zapojení pro reléovou identifikaci.

kde w je žádaná hodnota, e je regulační odchylka, y je regulovaná veličina a u je akční veličina.

3.3 Přepínání relé

K identifikaci soustavy touto metodou se používá asymetrické relé s horní mezí hystereze h_1 a dolní mezí hystereze h_2 . Při známém pracovním bodě daném hodnotou akční veličiny u_0 a hodnotou regulované veličiny y_0 připojíme relé do uzavřeného regulačního obvodu soustavy. Přepínání relé mezi horní u_1 a dolní polohou u_2 probíhá podle pravidel

$$u(t) = \begin{cases} u_1 & \text{pokud } y(t) < y_0 - h_2 \\ u_1 & \text{pokud } y(t) < y_0 + h_1, u(t^{-1}) = u_1 \\ u_2 & \text{pokud } y(t) > y_0 + h_1 \\ u_2 & \text{pokud } y(t) > y_0 - h_2, u(t^{-1}) = u_2 \end{cases}, \quad (3.3)$$

kde $u(t^{-1})$ je hodnota akční veličiny v předcházejícím okamžiku, h_1 je horní mez hystereze relé a h_2 je dolní mez hystereze relé. Perioda kmitu se pak vypočte

$$t_p = t_1 + t_2, \quad (3.4)$$

kde t_1 je čas, kdy je relé v horní poloze, a t_2 je čas, kdy je relé v dolní poloze. Identifikace nemůže proběhnout správně, pokud neplatí

$$t_1 < t_2. \quad (3.5)$$

3.4 Určení bodů Nyquistovy frekvenční charakteristiky

3.4.1 První bod Nyquistovy frekvenční charakteristiky

První určovaný bod Nyquistovy frekvenční charakteristiky je bod s úhlovou frekvencí $\omega_0 = 0 \text{ rad} \cdot \text{s}^{-1}$. Z teorie frekvenčního chování soustav je zřejmé, že tento bod má nulovou imaginární souřadnici a velikost jeho reálné souřadnice udává statickou citlivost soustavy – K . Pro statickou citlivost při použití asymetrického relé a ustálených kmitech akční veličiny platí

$$K = \frac{I_y}{I_u}, \quad (3.6)$$

kde

$$I_y = \int_{t_p} (y(t) - y_0) dt \quad (3.7)$$

$$I_u = \int_{t_p} (u(t) - u_0) dt = u_1 t_1 + u_2 t_2. \quad (3.8)$$

Dosažením do (3.6) z (3.7) a (3.8) se vypočítá hodnota statické citlivosti soustavy. Je však třeba oba průběhy přepočítat tak, aby nula byla vždy v hodnotě odpovídající pracovnímu bodu [5].

Druhou možnou cestou k určení statické citlivosti soustavy je výpočet ze statické charakteristiky. Stačí znát její dva body $[u_{K1}, y_{K1}]$ a $[u_{K2}, y_{K2}]$ blízké pracovnímu bodu. Pak dosažením do vztahu

$$K = \frac{y_{K2} - y_{K1}}{u_{K2} - u_{K1}} \quad (3.9)$$

vypočítáme statickou citlivost soustavy.

3.4.2 Druhý bod Nyquistovy frekvenční charakteristiky

Pro frekvenci druhého bodu Nyquistovy frekvenční charakteristiky platí

$$\omega_u = \frac{2\pi}{t_p}. \quad (3.10)$$

Bod charakteristiky pak určíme ze vztahu

$$G(j\omega_u) = \frac{y_A}{A_u} e^{j\phi_{uy}}, \quad (3.11)$$

kde

$$A_u = \frac{2H}{\pi} \sin(\phi_u), \quad (3.12)$$

$$H = u_1 + |u_2|, \quad (3.13)$$

$$\phi_u = \frac{\omega_u \cdot t_1}{2} = \frac{\pi \cdot t_1}{t_p}, \quad (3.14)$$

a fázový posun mezi akční a regulovanou veličinou pak je

$$\phi_{uy} = -\omega_u \cdot t_{uy}. \quad (3.15)$$

Bod Nyquistovy frekvenční charakteristiky je možné určit i bez znalosti amplitud kmitů nebo fázového posunu. Stačí změřit periodu kmitů a z ní vypočítat jejich frekvenci (3.10). Pak je možné zjistit bod frekvenční charakteristiky pomocí podílu integrálů ze vstupu a výstupu přes jednu periodu

$$G(j\omega_u) = \frac{\int_t^{t+t_p} y(\tau) e^{-j\omega_u \tau} d\tau}{\int_t^{t+t_p} u(\tau) e^{-j\omega_u \tau} d\tau}, \quad (3.16)$$

kde t je čas počátku ustálené periody [5].

3.4.3 Třetí bod Nyquistovy frekvenční charakteristiky

Základním předpokladem pro určení třetího bodu Nyquistovy frekvenční charakteristiky je možnost popsat soustavu lineárním modelem. Výpočet třetího bodu frekvenční charakteristiky je pak velmi podobný výpočtu druhého bodu. Je však nutné vypočítat novou frekvenci ω_{u2} a této frekvenci odpovídající hodnoty vstupu u_a a výstupu y_a soustavy. Frekvence třetího bodu je dvojnásobná než frekvence druhého bodu

$$\omega_{u2} = 2 \cdot \omega_u. \quad (3.17)$$

Průběhy akční a regulované veličiny jsou pak tvořeny součtem původního průběhu se stejným průběhem posunutým o půl periody [5]. Platí pro ně vztahy

$$u_a(t) = u(t) + u\left(t - \frac{t_p}{2}\right) \quad (3.18)$$

a

$$y_a(t) = y(t) + y\left(t - \frac{t_p}{2}\right). \quad (3.19)$$

Bod frekvenční charakteristiky je dán vztahem

$$G(j\omega_{u2}) = \frac{\int_t^{t+t_p} y_a(\tau) e^{-j\omega_{u2}\tau} d\tau}{\int_t^{t+t_p} u_a(\tau) e^{-j\omega_{u2}\tau} d\tau}. \quad (3.20)$$

Integrace zde tedy probíhá přes dvě periody nově spočtených signálů. Integrace přes více period může zpřesnit polohu nalezených bodů frekvenčních charakteristik.

3.5 Parametry modelu

Výpočet parametrů modelu druhého řádu s dopravním zpožděním (3.2) je dán vztahy popsanými v [5]. Z bodů Nyquistovy frekvenční charakteristiky daných frekvencí a souřadnicemi v komplexním prostoru se vypočítají časové konstanty a_1 , a_2 a velikost dopravního zpoždění T_d .

$$a_2 = \frac{1}{2 \cdot \omega_u^2} \sqrt{\frac{1}{3} \left(\frac{K^2}{|G(j\omega_{u2})|} - \frac{4 \cdot K^2}{|G(j\omega_u)|} + 3 \right)} \quad (3.21)$$

$$a_1 = \frac{1}{\omega_u} \sqrt{\frac{K^2}{|G(j\omega_u)|} - (1 - a_2 \cdot \omega_u^2)^2} \quad (3.22)$$

$$T_d = \frac{1}{2} (T_u + T_{u2}) \quad (3.23)$$

$$T_u = \frac{\frac{1}{a_2 \cdot (j\omega_u)^2 + a_1 \cdot j\omega_u} - \arg(G(j\omega_u))}{\omega_u} \quad (3.24)$$

$$T_{u2} = \frac{\frac{1}{a_2 \cdot (j\omega_{u2})^2 + a_1 \cdot j\omega_{u2}} - \arg(G(j\omega_{u2}))}{\omega_{u2}} \quad (3.25)$$

Těmito parametry je určen SOTD model soustavy.

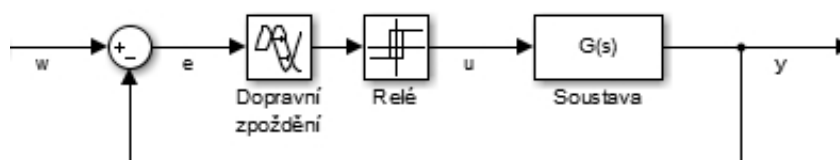
Kapitola 4

Určení parametrů modelu ze tří bodů Nyquistovy frekvenční charakteristiky s přidaným dopravním zpožděním

Tento způsob identifikace je novější vylepšenou verzí reléové identifikace popsané v předchozí kapitole.

4.1 Měření

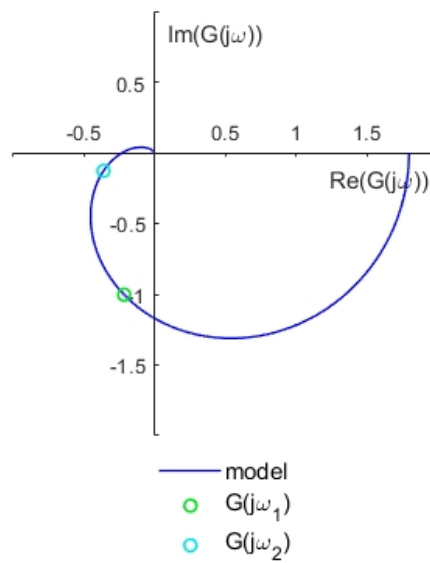
Měření probíhá na podobném principu jako u metody v předchozí kapitole. Je však třeba provést drobnou úpravu zapojení. Do předchozího zapojení se vloží dopravní zpoždění tak, aby relé na dosažení meze hystereze reagovalo se zpožděním. Ve schématu zapojení (obr. 4.1) pak w udává žádanou veličinu (požadovaný výstup v pracovním bodě), e je regulační odchylka (odchylka regulované veličiny od pracovního bodu), u je akční veličina a y je regulovaná veličina.



Obrázek 4.1: Schéma zapojení pro reléovou identifikaci s přidaným dopravním zpožděním.

4.2 Výpočet

Pro výpočet statické citivosti K soustavy a polohy dvou bodů Nyquistovy frekvenční charakteristiky $G(j\omega_1)$ a $G(j\omega_2)$ se použijí vztahy (3.7), (3.8), (3.6), (3.10), (3.16), (3.17), (3.20) a stejně jako u předchozí verze reléové identifikace z bodů Nyquistovy frekvenční charakteristiky. V závislosti na velikosti zvoleného dopravního zpoždění se body frekvenční charakteristiky posunou ze druhého a třetího kvadrantu směrem ke kvadrantu čtvrtému (obr. 4.2).



Obrázek 4.2: Nejčastější rozložení identifikací určených bodů Nyquistovy frekvenční charakteristiky.

Pro výpočet parametrů modelu byla zvolena cesta popsaná v práci Biased-Relay Feedback Identification for Time Delay Systems [7], stejně jako u jednodušší metody reléové identifikace pomocí tří bodů Nyquistovy frekvenční charakteristiky. Použijí se tedy vztahy (3.21), (3.22), (3.24), (3.25) a (3.23).

Kapitola 5

Určení modelu pro nastavení parametrů PI, PD a PID regulátorů

5.1 Základní princip metody

Pro správné nastavení parametrů regulátoru, a tedy pro dobrou regulaci, je potřeba znát dostatečně přesný model řízené soustavy. K určení modelu soustavy je nutné použít některou z metod identifikace. V práci Automatic Tuning of PID Controllers based on Asymmetric Relay Feedback [9] je popsána metoda reléové identifikace v uzavřeném regulačním obvodu a následný výpočet parametrů PID, PI a PD regulátorů z určeného modelu. Identifikace je zde tedy mezikrokem při nastavování regulátorů. Soustavu je možné identifikovat modelem prvního řádu s dopravním zpožděním (First order time delayed model – FOTD), druhého řádu s dopravním zpožděním (Second order time delayed model – SOTD) a integračním modelem s dopravním zpožděním (Integrating time delayed model – ITD) a modelem prvního řádu s integrací s dopravním zpožděním (Integrating plus first order time delayed model – IFOTD). Pro výpočet parametrů většiny uvedených modelů by bylo potřeba použít numerické metody výpočtu. Vzhledem k omezené paměti PLC je více než vhodné se jejich použití vyvarovat. Tím se zúžuje výběr na modely FOTD a ITD. Pro výpočet parametrů těchto modelů byly publikovány matematické vztahy [9]. Vzhledem k nižší pravděpodobnosti výskytu integračního systému byl pro identifikaci vybrán model FOTD.

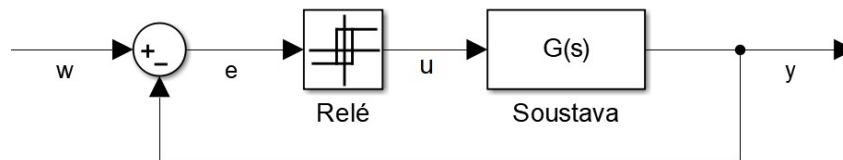
Soustava bude tedy identifikována modelem prvního řádu s dopravním zpožděním

$$G(s) = \frac{K e^{-T_d s}}{T s + 1}, \quad (5.1)$$

kde K je statická citlivost, T_d je dopravní zpoždění a T je časová konstanta. Z nastavených parametrů relé a časů, kdy relé setrvává v horní poloze a kdy zůstává ve spodní poloze, se vypočítá normalizované dopravní zpoždění τ a statická citlivost soustavy – K . Z nich se následně vypočte velikost časové konstanty a dopravního zpoždění.

5.2 Reléová identifikace

Reléová identifikace dle Josefin Berner [9] probíhá v uzavřeném regulačním obvodu v zapojení podle schématu na obr. 5.1.



Obrázek 5.1: Schéma základního zapojení pro reléovou identifikaci.

Zde je w žádaná hodnota, e je regulační odchylka, y je regulovaná veličina a u je akční veličina.

5.3 Přepínání relé

Na počátku identifikace se systém nachází v pracovním bodě daném hodnotou akční veličiny u_0 a regulované veličiny y_0 . Asymetrické relé přepíná mezi horní polohou u_{on} a dolní polohou u_{off} podle předpisu

$$u(t) = \begin{cases} u_{on} & \text{pokud } y(t) < y_0 - h \\ u_{on} & \text{pokud } y(t) < y_0 + h, u(t^{-1}) = u_{on} \\ u_{off} & \text{pokud } y(t) > y_0 + h \\ u_{off} & \text{pokud } y(t) > y_0 - h, u(t^{-1}) = u_{off} \end{cases}, \quad (5.2)$$

kde $u(t^{-1})$ je hodnota akční veličiny v předcházejícím okamžiku a h je hystereze relé. Aby se zajistila asymetričnost relé, je vhodné dodržet podmínku pro stupeň asymetrie relé

$$\gamma = \frac{\max(d_1, d_2)}{\min(d_1, d_2)} > 0, \quad (5.3)$$

přičemž

$$d_1 = u_{on} - u_0 \quad (5.4)$$

a

$$d_2 = u_0 - u_{off}. \quad (5.5)$$

Nedodržetím podmínky pro asymetrii relé by došlo k chybě při výpočtu statické citlivosti soustavy – K .

5.4 Normalizované dopravní zpoždění

Normalizované dopravní zpoždění τ je důležitým parametrem při nastavování PID regulátorů [15]. Jednou z možností, jak ho určit, je právě použití reléové identifikace v

uzavřeném regulačním obvodu. Normalizované dopravní zpoždění je možné vypočítat ze stupně asymetrie relé (5.3) a indexu poloviny periody

$$\rho = \frac{\max(t_{on}, t_{off})}{\min(t_{on}, t_{off})}, \quad (5.6)$$

kde t_{on} je doba, po kterou je relé v horní poloze, a t_{off} je doba, po kterou je relé v dolní poloze. Pro normalizované dopravní zpoždění platí

$$\tau = \frac{\gamma - \rho}{(\rho - 1)(0,35\rho + 0,65)}. \quad (5.7)$$

V případě, že je normalizované dopravní zpoždění τ malé, jsou časové úseky t_{on} a t_{off} podobné délky, i přestože jsou amplitudy rozdílné. Pro normalizované dopravní zpoždění musí platit

$$0 \leq \tau \leq 1. \quad (5.8)$$

Krajní hodnoty normalizovaného zpoždění vycházejí v případech uvedených v tabulce 5.1.

ρ	γ	τ
1	γ	1
γ	γ	0

Tabulka 5.1: Vliv hodnot ρ a γ na τ [15].

5.5 Určení modelu

Při určování parametrů FOTD modelu (5.1) se ze zaznamenaných průběhů akční a regulované veličiny vypočítá statická citlivost K , časová konstanta T a velikost dopravního zpoždění T_d .

Statická citlivost soustavy se vypočte z integrálů z akční veličiny (5.10) a regulované veličiny (5.11) na jedné periodě kmitání relé t_p .

$$t_p = t_{on} + t_{off} \quad (5.9)$$

$$I_u = \int_{t_p} (u(t) - u_0) dt = u_{on} t_{on} + u_{off} t_{off} \quad (5.10)$$

$$I_y = \int_{t_p} (y(t) - y_0) dt. \quad (5.11)$$

Pro statickou citlivost platí

$$K = \frac{I_y}{I_u}. \quad (5.12)$$

Dosazením ze vztahů (5.10) a (5.11) do (5.12) dostaneme hodnotu statické citlivosti modelu. Jedná se o stejný způsob určení statické citlivosti, jaký je použitý u metody reléové identifikace ze tří bodu Nyquistovy frekvenční charakteristiky [5], [8].

Použití symetrického relé by mělo za následek, že by ze vztahu (5.10) vyšlo $I_u = 0$. Pak by ve vztahu pro výpočet statické citlivosti (5.12) bylo třeba dělit nulou. Pokud

tedy chceme určovat statickou citlivost ze vztahu (5.12), musíme dodržet podmínku asymetričnosti relé. I u asymetrického relé může nastat stav kdy $I_u = 0$. Stane se tak však pouze v případě, že $u_{on}t_{on} = -u_{off}t_{off}$. To by naznačovalo, že se jedná o integrační proces, a v takovém případě by bylo lepší použít raději ITD model

$$G(s) = \frac{Ke^{-T_d s}}{s} \quad (5.13)$$

než FOTD model. K výpočtu velikosti dopravního zpoždění T_d a časové konstanty T FOTD modelu můžeme použít následující vztahy [9]:

$$t_{on} = T \ln \left(\frac{\frac{h}{|K|} - d_2 + e^{\frac{T_d}{T}}(d_1 + d_2)}{d_1 - \frac{h}{|K|}} \right) \quad (5.14)$$

$$t_{off} = T \ln \left(\frac{\frac{h}{|K|} - d_1 + e^{\frac{T_d}{T}}(d_1 + d_2)}{d_2 - \frac{h}{|K|}} \right). \quad (5.15)$$

Takovou soustavu rovnic ale není možné vypočítat analytickými metodami. Pokud ale připojíme k výpočtu vztah pro normalizované dopravní zpoždění soustav prvního řádu s dopravním zpožděním

$$\tau = \frac{T_d}{T_d + T}, \quad (5.16)$$

pak nebudeme muset použít numerické metody výpočtu. Pokud z (5.7) známe velikost normalizovaného dopravního zpoždění, pak můžeme upravit vztah (5.16) na

$$\frac{T_d}{T} = \frac{\tau}{1 - \tau} \quad (5.17)$$

a vyčíslit jeho hodnotu. Vyjádřením časové konstanty T z (5.14) dostaneme vztah

$$T = \frac{t_{on}}{\ln \left(\frac{\frac{h}{|K|} - d_2 + e^{\frac{T_d}{T}}(d_1 + d_2)}{d_1 - \frac{h}{|K|}} \right)}. \quad (5.18)$$

Dosazením z (5.17) a (5.12) do (5.18) dostaneme hodnotu časové konstanty soustavy. Dopravní zpoždění vypočítáme z

$$T_d = T \frac{\tau}{1 - \tau}, \quad (5.19)$$

když do vztahu dosadíme výsledek z (5.18). Tím jsou určeny parametry FOTD modelu.



Část III

Programové řešení reléové identifikace

Kapitola 6

Určení parametrů modelu ze tří bodů Nyquistovy frekvenční charakteristiky

Vzhledem k principu zpracování programu v PLC byl program pro reléovou identifikaci napsán pomocí struktury CASE OF. Pravidelně se střídají fáze inicializační, ve kterých se nastavují hodnoty výstupu a pomocných proměnných do hodnot potřebných pro správnou funkci následující fáze, a fáze hlavní, ve které probíhá měření a výpočty. Tyto dvě fáze spolu tedy úzce souvisejí a je nutné provést obě.

6.1 Spuštění identifikačního procesu

6.1.1 CASE 00 a CASE 01 – kontrola zadaných údajů a spuštění identifikace

První část programu slouží k nastavení parametrů identifikace a jejímu spuštění. Jelikož se nacházíme na samotném začátku, není třeba v inicializační fázi (CASE 00) zadávat žádné počáteční hodnoty výstupu a vnitřních proměnných. Tato fáze je v programu pouze pro zachování struktury skriptu a přímo odkazuje na hlavní fázi (CASE 01).

V hlavní fázi pak vložený funkční blok *fbWebInputControl*, napsaný pro účely této práce, vyhodnocuje parametry regulace zadané uživatelem prostřednictvím webového rozhraní (obr. 6.1).

vstup do soustavy pro pracovní bod

dolní mezní hodnota pro vstup do soustavy

horní mezní hodnota pro vstup do soustavy

Start

+ j G1

+ j G2

a1 tau_u

a2 κ

Obrázek 6.1: Webové rozhraní pro ovládání programu reléové identifikace.

Pro správný a bezpečný chod identifikace je třeba znát předpokládaný vstup do soustavy v pracovním bodě (u_0). V tomto pracovním bodě bude soustava identifikována a určený model bude reálné soustavě nejvíce odpovídat. Dále je třeba zadat horní mezní ($u_{MaxValue}$) a dolní mezní hodnotu ($u_{MinValue}$) vstupu do soustavy. Toto omezení je důležité, aby se soustava nedostala do stavu, který je nežádoucí, ať už z důvodu konstrukce soustavy nebo technologie, ke které soustava slouží. Pro určení těchto mezních hodnot vstupu i hodnoty vstupu v pracovním bodě je potřeba soustavu dobře znát a rozumět jejímu principu.

Po zadání těchto parametrů a stisknutí tlačítka *Start* dojde ke kontrole zadaných údajů. Při jejich správném zadání se přejde do další části programu a tlačítko zůstane neaktivní. Pokud jsou údaje zadány chybně, vypíše se uživateli chybová hláška (tab. 6.1) a tlačítko je aktivní. Pak musí uživatel zadat údaje korektně a znovu stisknout tlačítko *Start*.

chyba	chybová hláška
$u_{MinValue} > u_{MaxValue}$	horní mez musí ležet nad dolní mezí
$u_{MinValue} < 0$	horní a dolní mez musí ležet mezi 0 a 10
$u_{MaxValue} > 10$	horní a dolní mez musí ležet mezi 0 a 10
$(u_0 - 0,5) < u_{MinValue}$	vstup musí ležet mezi (dolní mezí + 0,5) a horní mezí
$u_0 > u_{MaxValue}$	vstup musí ležet mezi (dolní mezí + 0,5) a horní mezí

Tabulka 6.1: Chybové hlášky při špatném zadání parametrů regulace.

6.2 Určení pracovního bodu, statické citlivosti soustavy a velikosti šumu výstupního signálu

6.2.1 CASE 10 a CASE 11 – nastavení konstantní hodnoty vstupu a čekání na ustálený stav

V inicializační fázi se na vstup do soustavy nastaví hodnota $u = u_0 - 0,5$. Což je velikost akční veličiny v pracovním bodě snižená o 0,5.

V hlavní fázi je pak volán funkční blok *fbstabilization*, který kontroluje ustálení výstupu ze soustavy, tedy regulované veličiny. Jmenovaný funkční blok byl napsán ve spolupráci s Františkem Hylmarem v rámci předmětu Projekt III. Jeho princip je založen na průměrování hodnoty výstupu po čas 10 s a porovnání tří po sobě naměřených průměrů. Pokud jsou tyto časové průměry stejné nebo je z nich zřejmé, že průběh výstupní veličiny změnil svoji monotónnost, pak je soustava považována za ustálenou. Po ustálení soustavy je tato fáze ukončena.

6.2.2 CASE 20 a CASE 21 – určení bodu blízkého pracovnímu bodu

Inicializační fáze poslouží pro vynulování proměnných, které budou použity v hlavní fázi.

Soustava je v ustáleném stavu z předchozí sekce programu. Proto můžeme určit hodnotu ustáleného výstupu. Po dobu 1 s přičítáme do pomocné proměnné při každém cyklu PLC aktuální hodnotu výstupu y . Zároveň počítáme kolik cyklů proběhlo. Vydělením těchto proměnných pak získáváme průměrnou hodnotu ustáleného výstupu y_{K1} při vstupu $u_{K1} = u_0 - 0,5$.

6.2.3 CASE 30 a CASE 31 – nastavení hodnoty vstupu do pracovního bodu a čekání na ustálený stav

V inicializační fázi se nastaví hodnota akční veličiny na $u = u_0$. Tedy do pracovního bodu.

V hlavní fázi je umístěn funkční blok pro kontrolu ustáleného stavu soustavy. Ten je popsán v oddíle 6.2.1. Po ustálení soustavy je fáze ukončena.

6.2.4 CASE 40 a CASE 41 – určení pracovního bodu a statické citlivosti soustavy

Inicializační fáze poslouží pro vynulování proměnných, které budou použity v hlavní fázi.

Soustava je v ustáleném stavu z předchozí sekce programu. Proto můžeme určit hodnotu ustáleného výstupu. Po dobu 1 s přičítáme do pomocné proměnné při každém cyklu PLC aktuální hodnotu výstupu y . Zároveň počítáme, kolik cyklů proběhlo. Vydělením těchto proměnných pak získáváme průměrnou hodnotu ustáleného výstupu y_{K2} při vstupu $u_{K2} = u_0$. Průměrná hodnota výstupu soustavy při vstupu u_0 pak udává velikost výstupu v pracovním bodě $y_0 = y_{K2}$. Protože nyní již známe vstup a výstup soustavy ve dvou bodech (v pracovním bodě a bodě se vstupem menším o 0,5), můžeme vypočítat statickou citlivost soustavy – K .

$$K = \frac{y_{K2} - y_{K1}}{u_{K2} - u_{K1}}. \quad (6.1)$$

6.2.5 CASE 50 a CASE 51 – určení maximální hodnoty šumu v pracovním bodě

Inicializační fáze poslouží pro vynulování proměnné, která se použije v hlavní fázi.

Po dobu 10 s se v hlavní fázi měří maximální absolutní výchylka výstupu soustavy od jeho průměrné hodnoty. Z takto určené maximální hodnoty šumu ($noise_{Max}$) se vypočtou meze hystereze relé.

$$hysteresis_{LowValue} = 10 \cdot noise_{Max}. \quad (6.2)$$

$$hysteresis_{HighValue} = 6 \cdot noise_{Max}. \quad (6.3)$$

6.3 Čekání na ustálení periody kmitu soustavy a vzorkování vstupu a výstupu

6.3.1 CASE 70 a CASE 71 – hledání ustálené periody kmitu

V inicializační fázi se vypočtou hodnoty vstupu do soustavy při horní a dolní poloze relé. Horní polohu relé $u_{HighValue}$ vypočteme jako

$$u_{HighValue} = u_0 + 5. \quad (6.4)$$

Pokud platí

$$u_{HighValue} > u_{MaxValue}, \quad (6.5)$$

pak

$$u_{HighValue} = u_{MaxValue}. \quad (6.6)$$

Dolní polohu relé $u_{LowValue}$ vypočteme jako

$$u_{LowValue} = u_0 - 3. \quad (6.7)$$

Pokud platí

$$u_{LowValue} < u_{MinValue}, \quad (6.8)$$

pak

$$u_{LowValue} = u_{MinValue}. \quad (6.9)$$

Následuje nastavení akční veličiny na hodnotu $u_{HighValue}$ a uložení aktuálního času do proměnných *leadingEdgeRtc* a *trailingEdgeRtc* udávajících čas, kdy došlo k náběžné a sestupné hraně. Vynulují se dočasné pomocné proměnné *tempBool* a *tempBool2*. Do čítače náběžných hran *leadingEdgeCounter* se uloží číslo 1 a do čítače sestupných hran *trailingEdgeCounter* číslo 0. Doby, kdy je relé v horní poloze T_1 a dolní poloze T_2 , nastavíme na 1. Poté následuje hlavní fáze.

Pokud výstup soustavy překročí hodnotu $y_0 + hysteresis_{HighValue}$ a ještě není akční veličina nastavena na $u_{LowValue}$, pak jí na tuto hodnotu nastavíme a aktuální čas si uložíme do proměnné *tempDateTime*. Hodnotu čítače sestupných hran *trailingEdgeCounter* zvýšíme o 1. Do proměnné *trailingEdgeRtc* uložíme aktuální čas, tedy čas sestupné hrany. Následně určíme hodnotu pomocné proměnné *tempReal* pomocí funkce *SUB_DT_DT* pro odčítání časů ve formátu datum a čas a rozdíl pak převedeme na reálné číslo pomocí funkce *TIME_TO_REAL* z knihovny Mosaicu TimeLib.

$$tempReal = tempDateTime - leadingEdgeRtc \quad (6.10)$$

Následuje kontrola, zda poslední doba, kdy bylo relé v horní poloze, se od předchozí neodchyluje o více než 2 %. Když tuto podmínku splňuje, nastaví se pomocná proměnná *tempBool* na *TRUE*, v opačném případě jako *FALSE*. Pak do proměnné T_1 uložíme hodnotu pomocné proměnné *tempReal*.

Pokud výstup soustavy klesne pod hodnotu $y_0 - hysteresis_{LowValue}$ a ještě není vstup do soustavy nastaven na $u_{HighValue}$, pak jej na tuto hodnotu nastavíme a aktuální čas si uložíme do proměnné *tempDateTime*. Hodnotu čítače náběžných hran *leadingEdgeCounter* zvýšíme o 1. Do proměnné *leadingEdgeRtc* uložíme aktuální čas, tedy čas náběžné hrany. Následně určíme hodnotu pomocné proměnné *tempReal* pomocí funkce *SUB_DT_DT* pro odčítání časů ve formátu datum a čas a rozdíl pak převedeme na reálné číslo pomocí funkce *TIME_TO_REAL*.

$$tempReal = tempDateTime - trailingEdgeRtc \quad (6.11)$$

Následuje kontrola, zda poslední doba, kdy bylo relé v dolní poloze, se od předchozí neodchyluje o více než 2 %. Když tuto podmínku splňuje, nastaví se pomocná proměnná *tempBool2* jako *TRUE*, v opačném případě jako *FALSE*. Následně do proměnné T_2 uložíme hodnotu pomocné proměnné *tempReal*.

Nakonec provedeme kontrolu, zda jsou obě pomocné proměnné *tempBool* a *tempBool2* nastaveny na hodnotu *TRUE*. Pokud tomu tak je, pak jsou periody kmitu ustálené a po vypočtení periody kmitu soustavy T_{period} se přejde do dalšího úseku identifikace.

$$T_{period} = T_1 + T_2 \quad (6.12)$$

6.3.2 CASE 80 a CASE 81 – vzorkování vstupu a výstupu soustavy

V inicializační fázi proběhne nejprve kontrola, zda je splněna podmínka

$$T_1 < T_2. \quad (6.13)$$

Pokud je splněná, pak se připraví pomocné proměnné pro další měření. Hodnota aktuálního indexu vzorkování *samplingArrayIndex* a indexy posledních uložených vzorků v prvním sloupci *samplingArrayLastIndex[0]*, ve druhém sloupci *samplingArrayLastIndex[1]* a ve třetím sloupci pole *samplingArrayLastIndex[2]* se nastaví na vyšší hodnotu, než může reálně nastat. Konkrétně je to 1 000. Nastaví se také index ukazující do sloupce pole pro ukládání vzorků z příští periody kmitu *samplingArrayColumnIndex* = 0 a indexy vedlejšího sloupce pole *samplingArrayColumnNeighbour1Index* = 1 a druhého vedlejšího sloupce pole *samplingArrayColumnNeighbour2Index* = 2. Pomocná proměnná *tempCounter* se vynuluje. Připraví se pomocné proměnné pro kontrolu správnosti vzorkování. Proměnná pro uložení maximálního zpoždění uložení vzorku *samplingDelayMax*, proměnná udávající sumu největšího zpoždění vzorkování během celého měření, tedy za všechny periody, *samplingDelaySumMax* a proměnná udávající sumu všech zpoždění vzorkování během jedné periody *samplingDelaySum* se vynulují. Vynulují se i proměnné sloužící ke kontrole podobnosti period *ySamplingArrayDiffSum* a *ySamplingArraySum*.

Následně se určí vzorkovací perioda *samplingPeriodTimeSpan*

$$samplingPeriodTimeSpan = \frac{T_{period}}{800}. \quad (6.14)$$

Funkce *getRTC()*, na níž je založeno vzorkování, je schopna vrátit čas s přesností na desítky milisekund. Abychom poskytli stroji dostatečný čas na vykonání cyklu programu bylo zvoleno

$$samplingPeriodTimeSpan \geq 20. \quad (6.15)$$

Po splnění této podmínky se nedesítkové hodnoty vzorkovací periody v milisekundách zaokrouhlí na nejbližší vyšší celou desítku. Posledním krokem inicializace je uložení aktuálního času do proměnné T_0 .

V hlavní fázi pak dochází k přepínání relé a ukládání aktuálních hodnot akční veličiny a regulované veličiny do připravených polí. Pro hodnoty akční veličiny u je připravené pole $u_{samplingArray}[X, Y]$, kde $X = samplingArrayColumnIndex$ a $Y = samplingArrayIndex$, o rozměru $3 \times 1\,300$ a pro řízenou veličinu y stejně velké i stejně indexované pole $y_{samplingArray}[X, Y]$. Dokud nejsou splněny podmínky pro opuštění vzorkování, probíhají následující procesy. Při každém cyklu programu je se určuje index pole *samplingArrayIndex*, do kterého se má uložit aktuální hodnota akční a řízené veličiny. K tomu potřebujeme znát dobu, která uplynula od začátku aktuální periody. Načteme tedy aktuální čas a od něho odečteme čas T_0 . Získaný časový úsek vydělíme vzorkovací periodou *samplingPeriodTimeSpan* a zaokrouhlíme dolů na celá čísla. Pokud je vypočtený index *samplingArrayIndex* větší než předchozí hodnota tohoto indexu uložená do proměnné *samplingArrayIndexOld*, uloží se aktuální hodnoty akční a regulované veličiny do připravených polí. Následně se určí

rozdíl mezi aktuálně uloženou hodnotou regulované veličiny a hodnotami regulované veličiny se stejným indexem vzorku z předchozích dvou period. Součet absolutních hodnot těchto rozdílů se ukládá do proměnné $y_{SamplingArrayDiffSum}$. Zároveň se aktuální hodnota regulované veličiny uloží do proměnné pro sumu y přes jednu periodu $y_{SamplingArraySum}$. Současně se zjistí, jestli doslo k nějakému posunu oproti ideálnímu času vzorkování. V případě, že je tento časový posun dosud největší, uloží se do proměnné $samplingDelayMax$. Všechny časové posuny v jedné periodě se přičítají k proměnné $samplingDelaySum$. Největší z těchto součtů za celé měření se uloží do proměnné $samplingDelaySumMax$.

K sestupné hraně dojde, když

$$y > y_0 + hysteresis_{HighValue} \quad (6.16)$$

a

$$u = u_{HighValue}, \quad (6.17)$$

tehdy se přepne na $u = u_{LowValue}$.

K náběžné hraně dojde, když

$$y < y_0 - hysteresis_{LowValue} \quad (6.18)$$

a

$$u = u_{LowValue}, \quad (6.19)$$

tehdy se přepne na $u = u_{HighValue}$. Náběžná hrana zároveň signalizuje konec periody. Proto musejí být v momentu náběžné hrany vykonány úkony určené na konec periody. Pokud je suma zpoždění při ukládání vzorků $samplingDelaySum$ v minulé periodě větší než největší suma zpoždění v kterékoliv předchozí periodě $samplingDelaySumMax$, přepíše se tato proměnná aktuální sumou zpoždění vzorkování $samplingDelaySum$, a ta se následně vynuluje pro použití v následující periodě. Vynulují se i ostatní proměnné, které jsou ukazateli přesnosti vzorkování a vztahují se pouze k jedné periodě. Při náběžné hraně se také kontroluje, zda jsou tři sousední periody dostatečně podobné, aby se vzorkování ukončilo. Zvolené kritérium vyžaduje, aby součet procentuálních rozdílů mezi aktuální periodou a dvěma předchozími nepřekročil 6 %. Podmínka pro opuštění vzorkování je tedy

$$\frac{y_{samplingArrayDiffSum}}{y_{samplingArraySum}} < 0.06. \quad (6.20)$$

6.4 Zpracování naměřených dat

6.4.1 CASE 90 a CASE 91 – výpočet integrálů ze vstupu a výstupu soustavy ve frekvenční oblasti

V inicializační fázi je třeba vypočítat periodu kmitu soustavy při vzorkování

$$T_{period} = T_1 + T_2. \quad (6.21)$$

Z periody kmitu při vzorkování soustavy se vypočítá úhlová frekvence

$$\omega_1 = \frac{2\pi}{T_{period}} \quad (6.22)$$

a teoretická frekvence

$$\omega_2 = 2 \cdot \omega_1. \quad (6.23)$$

Pro výpočet integrálu z akční veličiny a regulované veličiny při frekvenci odpovídající měření je třeba vynulovat index ukazující na správné místo v poli uložených hodnot

$$indexIntegral = 0. \quad (6.24)$$

Dále si zavedeme index *indexShiftIntegral* ukazující na hodnotu akční a regulované veličiny, která je o půl periody posunutá oproti hodnotě s indexem *indexIntegral*

$$indexShiftIntegral = \frac{curentLastIndex}{2} \quad (6.25)$$

a

$$curentLastIndex = samplingArrayLastIndexes[X], \quad (6.26)$$

kde

$$X = samplingArrayColumnIndex. \quad (6.27)$$

Dále se nastaví soustava do neutrálního stavu nastavením hodnoty akční veličiny na *uLowValue*.

V hlavní fázi dochází k samotnému výpočtu integrálů. Při každém cyklu PLC se k integrálu přičtou hodnoty uložené v poli s indexem větším o 1. Když výpočet pokryje všechny prvky aktuálního sloupce pole, je integrace ukončena. Vzhledem k tomu, že vypočítané integrály jsou následně použity ve vztahu, kde je podíl těchto dvou integrálů, které mají stejnou vzorkovací periodou, je možné vzorce pro integraci zjednodušit. Zjednodušení spočívá ve vynechání násobení vzorkovací periodou při numerické integraci, protože v podílu integrálů by stejně došlo k jeho vykrácení. Integraci dle vztahů čitatelů a jmenovatelů ve vztazích (3.16) a (3.20) provádíme postupně. Nejprve si připravíme exponenty pro komplexní exponenciální funkce

$$integralExponent1 = \omega_1 \cdot tauIndexIntegral \quad (6.28)$$

a

$$integralExponent2 = \omega_2 \cdot tauIndexIntegral, \quad (6.29)$$

kde

$$tauIndexIntegral = \frac{indexIntegral \cdot samplingPeriodTimeSpan}{1000} \quad (6.30)$$

udává čas vzorku od počátku periody. Takto vypočtené indexy je třeba převést na komplexní číslo, protože při výpočtu integrálu budou použity funkce pro počítání s komplexními čísly [16]. Do komplexní proměnné *uSampleComplex1* uložíme hodnotu akční veličiny odpovídající času *tauIndexIntegral*. Stejně uložíme do proměnné *ySampleComplex1* hodnotu regulované veličiny odpovídající času *tauIndexIntegral*. Do komplexní proměnné *uSampleComplex2* uložíme hodnotu akční veličiny odpovídající

času $\tau_{IndexIntegral}$ sečtenou s hodnotou odpovídající času posunutému o půl periody T_{period} . Stejně uložíme do proměnné $y_{sampleComplex2}$ hodnotu regulované veličiny odpovídající času $\tau_{IndexIntegral}$ sečtenou s hodnotou regulované veličiny posunuté o půl periody. Takto připravené proměnné se vloží do funkcí $CEXP$, $CMUL$ a $CADD$ z knihovny $OSCATLib$ [16] a vypočítáme hodnoty integrálů $integral_{U1}$, $integral_{Y1}$, $integral_{U2}$ a $integral_{Y2}$. Na konci každého cyklu se proměnná $indexIntegral$ navýší o jedna a proměnná $indexShiftIntegral$ se přepočte na hodnotu posunutou oproti $indexIntegral$ o půl periody T_{period} .

6.4.2 CASE 100 a CASE 101 – výpočet bodů Nyquistovy frekvenční charakteristiky

Inicializační fáze je zde pouze pro zachování přehlednosti skriptu.

V hlavní fázi se vydělením integrálů vypočtených v předchozí části programu vypočítají body Nyquistovy frekvenční charakteristiky odpovídající úhlovým frekvencím ω_1 a ω_2 .

$$G_1 = \frac{integral_{Y1}}{integral_{U1}} \quad (6.31)$$

$$G_2 = \frac{integral_{Y2}}{integral_{U2}} \quad (6.32)$$

K dělení komplexních čísel byla použita funkce $CDIV$ volně dostupné knihovny $OSCAT Basic library$ [16]. Její správné fungování bylo ověřeno výpočtem na základě převedení podílu komplexních čísel na zlomek s reálným jmenovatelem. Obě metody dávaly stejný výsledek. Funkce $CDIV$ tedy pracuje korektně.

6.4.3 CASE 110 a CASE 111 – výpočet parametrů SOTD modelu

Inicializační fáze je zde pouze pro zachování zvolené struktury skriptu.

V hlavní fázi je pak pro výpočet parametrů modelu druhého řádu s dopravním zpožděním umístěn pro tuto práci napsaný funkční blok, který z určených parametrů soustavy (G_1 , G_2 , ω_1 , ω_2 a K) vypočítá parametry modelu dosazením do vztahů

$$sotd_{A2} = \frac{1}{\omega_1^2} \sqrt{\frac{1}{3} \left(\frac{K^2}{|G_2|^2} - \frac{4K^2}{|G_1|^2} + 3 \right)}, \quad (6.33)$$

$$sotd_{A1} = \frac{1}{\omega_1} \sqrt{\frac{K^2}{|G_1|^2} - (1 - sotd_{A2} - \omega_1^2)^2}, \quad (6.34)$$

$$sotd_K = K, \quad (6.35)$$

$$sotd_\tau = \frac{1}{2} \left(\sum_{l=1}^2 \frac{arg \frac{1}{sotd_{A2}(j\omega_l)^2 + sotd_{A1}(j\omega_l) + 1} - arg(G_l)}{\omega_l} \right). \quad (6.36)$$

Při výpočtech byly použity funkce $CARG$, $CDIV$ a $CABS$ z knihovny $OSCAT Basic library$ pro výpočet argumentu komplexního čísla, dělení komplexních čísel

a výpočet velikosti komplexního čísla [16]. Vypočtenými parametry je dán SOTD model soustavy

$$G(s) = \frac{sotd_K \cdot e^{sotd_\tau \cdot s}}{sotd_{A2} \cdot s^2 + sotd_{A1} \cdot s + 1}. \quad (6.37)$$

■ 6.5 Ukončení měření

■ 6.5.1 CASE 120 a CASE 121 – příprava programu k další identifikaci

Inicializační fáze je zde jen pro zachování struktury projektu.

V hlavní fázi se uživateli vypíše ve webovém rozhraní hláška „Identifikace soustavy byla dokončena“. Následně se pro příští průchod programu nastaví ukazatel na *CASE* 00 a aktivuje se tlačítko *Start* pro další použití programu.

Kapitola 7

Určení parametrů modelu ze tří bodů Nyquistovy frekvenční charakteristiky s přidaným dopravním zpožděním

Skript pro reléovou identifikaci s přidaným dopravním zpožděním vychází ze skriptu popsaného v předchozí kapitole. Proto se zde zaměříme pouze na odlišnosti oproti výše popsanému skriptu.

7.0.1 CASE 70 a CASE 71 – hledání ustálené periody kmitu

Inicializační fáze je zachována v původní formě.

Hlavní fáze je oproti původní verzi delší o výpočet velikosti dopravního zpoždění *trafficDelay* použitého pro další kmitání relé

$$trafficDelay = \frac{T_{period}}{x}, \quad (7.1)$$

kde x je koeficient pro volbu velikosti dopravního zpoždění v poměru k periodě kmitu bez dopravního zpoždění.

7.1 CASE 80 a CASE 81 – vzorkování vstupu a výstupu soustavy

Inicializační fáze je zachována v původní formě.

Hlavní fáze má v sobě oproti jednodušší verzi přidáno dopravní zpoždění před spádovou a náběžnou hranu. Při detekci dosažení meze hystereze se relé nepřepne, ale vyčká dokud nedoběhne časovač *TimerForDelay*. Tím se prodlouží perioda kmitu T_{period} a sníží frekvence ω_1 a ω_2 . To má za následek posun bodů Nyquistovy frekvenční charakteristiky směrem k vyšším kvadrantům.

Kapitola 8

Určení modelu pro nastavení parametrů PI, PD a PID regulátorů

Stejně jako u předchozích dvou skriptů bylo pro programování zvoleno schéma s použitím struktury CASE OF. Nejprve proběhne fáze inicializační, při které se připraví všechny potřebné proměnné. Následuje hlavní fáze, ve které dochází k samotné identifikaci. Probíhají zde měření a výpočty. Tyto dvě fáze jsou na sebe úzce navázány a není možné použít pouze jednu z nich.

8.1 Spuštění identifikačního procesu

8.1.1 CASE 00 a CASE 01 – kontrola zadaných údajů a spuštění identifikace

Inicializační fáze (CASE 00) zde figuruje pouze pro zachování zvoleného schématu a nemá další funkci.

Hlavní fáze (CASE 01) slouží pro zadání parametrů identifikace. Pro zadání parametrů identifikace bylo vytvořeno webové rozhraní (obr. 8.1). Hodnoty se předají do funkčního bloku, který kontroluje jejich správné zadání. Je třeba zadat hodnotu akční veličiny v pracovním bodě, maximální přípustnou hodnotu akční veličiny a minimální přípustnou hodnotu akční veličiny. Po stisknutí tlačítka *Start* se hodnota proměnné *button_IsPressed* nastaví na hodnotu *TRUE*.

IDENTIFIKACE

 u_max - Maximální dovolená hodnota akčního zásahu u_min - Minimální dovolená hodnota akčního zásahu u_0 - Předpokládaná hodnota akčního zásahu pro výstup w**START**

INFORMACE

FOTD MODEL

 K T T_d**Obrázek 8.1:** Webové rozhraní pro ovládání programu reléové identifikace.

Zadané parametry identifikace se předávají do funkčního bloku *fbwebinputvalidation* napsaného pro tuto práci. Při správném zadání parametrů identifikace se nastaví návratová proměnná *tempBool* na hodnotu *TRUE*. Tlačítko pak zůstane zmáčknuté a přejde se do další fáze identifikace. Pokud jsou parametry zadány chybně, proměnná *tempBool* má hodnotu *FALSE* a tlačítko se uvolní k dalšímu stisknutí. Podle chyby v zadání parametrů se vypíše chybové hlášení, aby uživatel věděl, jak zadané parametry upravit (tab. 8.1).

chyba	chybová hláška
$u_{MinValue} > u_{MaxValue}$	horní mez musí ležet nad dolní mezí
$u_{MinValue} < 0$	horní a dolní mez musí ležet mezi 0 a 10
$u_{MaxValue} > 10$	horní a dolní mez musí ležet mezi 0 a 10
$(u_0 - 0,5) < u_{MinValue}$	vstup musí ležet mezi (dolní mezí + 0,5) a horní mezí
$u_0 > u_{MaxValue}$	vstup musí ležet mezi (dolní mezí + 0,5) a horní mezí

Tabulka 8.1: Chybové hlášky při špatném zadání parametrů regulace.

8.2 Určení pracovního bodu, statické citlivosti soustavy a velikosti šumu výstupního signálu

8.2.1 CASE 10 a CASE 11 – nastavení konstantní hodnoty vstupu a čekání na ustálený stav

V inicializační fázi (CASE 10) se nastaví hodnota akční veličiny na

$$u = u_0 - 0,5 \quad (8.1)$$

a přejde se do hlavní fáze.

V hlavní fázi (CASE 11) se volá funkční blok *fbstabilization* kontrolující ustálení regulované veličiny y . Jde o stejný funkční blok, jaký byl použit v obou skriptech pro reléovou identifikaci ze tří bodů Nyquistovy frekvenční charakteristiky. Kontrola ustálení regulované veličiny je založena na průměrování hodnoty regulované veličiny po definovaný čas. Následně se poslední tři takto určené průměry porovnají a pokud jejich průběh změnil svojí monotónnost, je soustava považována za ustálenou.

8.2.2 CASE 20 a CASE 21 – určení bodu blízkého pracovnímu bodu

V inicializační fázi (CASE 20) se vynulují proměnné pro použití v hlavní fázi. Do proměnné *tempCounter* se bude ukládat počet vzorků regulované veličiny y a do proměnné *tempSum* jejich součet.

V hlavní fázi se spustí časovač s dobou trvání 1 s. Dokud časovač běží, přičítají se aktuální hodnoty regulované veličiny k proměnné *tempSum*. Proměnná *tempCounter* počítá počet cyklů. Po doběhnutí časovače se vypočítá průměrná hodnota regulované veličiny

$$y_{K1} = \frac{tempSum}{tempCounter} \quad (8.2)$$

v bodě blízkém pracovnímu bodu danému hodnotou akční veličiny

$$u_{K1} = u_0 - 0,5. \quad (8.3)$$

8.2.3 CASE 30 a CASE 31 – nastavení hodnoty vstupu do pracovního bodu a čekání na ustálený stav

V inicializační fázi (CASE 30) se nastaví hodnota akční veličiny na $u = u_0$. Tedy na hodnotu akční veličiny v pracovním bodě.

V hlavní fázi (CASE 31) se znovu čeká na ustálení soustavy. Ustálení je kontrolováno pomocí funkčního bloku *fbstabilization*. Po ustálení se přejde do další fáze.

8.2.4 CASE 40 a CASE 41 – určení pracovního bodu a statické citlivosti soustavy

V inicializační fázi (CASE 40) se vynulují proměnné pro použití v hlavní fázi. Jde o proměnné $tempSum$ a $tempCounter$, které v hlavní fázi poslouží stejně jako ve fázi CASE 21.

Průběh hlavní fáze (CASE 41) je z části stejný jako ve fázi CASE 21. Po dobu 1 s měřenou časovačem se počítá suma vzorků regulované veličiny y a ukládá se do proměnné $tempSum$. Počet vzorků je pak uložen v $tempCounter$. Po doběhnutí časovače se vypočte průměrná hodnota akční veličiny v pracovním bodě

$$y_0 = y_{K2} = \frac{tempSum}{tempCounter}. \quad (8.4)$$

Platí $u_{K2} = u_0$. Z takto určených bodů statické charakteristiky se následně vypočítá statická citlivost soustavy

$$K = \frac{y_{K2} - y_{K1}}{u_{K2} - u_{K1}}. \quad (8.5)$$

8.2.5 CASE 50 a CASE 51 – určení maximální hodnoty šumu v pracovním bodě

Jediným úkolem inicializační fáze (CASE 50) je vynulovat proměnnou $noiseMax$ pro uložení velikosti šumu.

V hlavní fázi (CASE 51) se spustí na 10 s časovač. Po dobu jeho chodu se do proměnné $noiseMax$ ukládá maximální výchylka regulované veličiny y od její střední hodnoty v pracovním bodě.

$$noiseMax = |y_0 - y| \quad (8.6)$$

Po doběhnutí časovače se z velikosti šumu se vypočte velikost hystereze relé. Pro horní i dolní mez hystereze platí

$$hysteresis_{HighValue} = hysteresis_{LowValue} = 10 \cdot noiseMax. \quad (8.7)$$

Vypočtou se hodnoty $y_{MaxHighDeviation}$ a $y_{MaxLowDeviation}$, mezi kterými má při reléové identifikaci kmitat regulovaná veličina. Slovem *High* jsou označeny proměnné vztahující se ke kmitům nad hodnotu v pracovním bodě. Slovem *Low* pak proměnné mající vztah ke kmitům pod hodnotu v pracovním bodě,

$$y_{MaxLowDeviation} = \nu \cdot hysteresis_{LowValue}, \quad (8.8)$$

$$y_{MaxHighDeviation} = 3 \cdot y_{MaxLowDeviation}, \quad (8.9)$$

kde je deklarací dáno $\nu = 5$.

8.3 Určení parametrů relé

8.3.1 CASE 60 a CASE 61 – exponenciální náběh akční veličiny

V inicializační fázi (CASE 60) se uživateli vypíše informační hlášení „Nastavuji se hodnoty pro polohy relé“. Následně se do proměnné $start_{ExponentialTime}$ uloží aktuální čas a přejde se do hlavní fáze.

V hlavní fázi (CASE 61) se bude exponenciálně zvětšovat hodnota akční veličiny. Nejprve se do proměnné $currentTime$ uloží aktuální čas. Pak se určí, kolik času uběhlo od počátku exponenciálního růstu

$$exponentialTimeSpan = currentTime - start_{ExponentialTime}. \quad (8.10)$$

Akční veličina má pak hodnotu

$$u = e^{exponentialTimeSpan \cdot exponentialCorrectionCoefficient} - 1 + u_0, \quad (8.11)$$

kde je deklarací proměnných dáno $exponentialCorrectionCoefficient = \frac{1}{3}$. Akční veličina takto v každém strojním cyklu narůstá, dokud nedosáhne hodnoty $u_{MaxValue}$ nebo regulovaná veličina nepřekročí hodnotu $y_{MaxHighDeviation}$. Pokud nastane jeden z uvedených vztahů, určí se hodnota akční veličiny při horní a spodní poloze relé. Do pomocné proměnné $u_{ValueTemp}$ se uloží aktuální hodnota akční veličiny. Do druhé pomocné proměnné $u_{ValueTemp2}$ se uloží taková hodnota, aby její odchylka od akční veličiny tvořila 70 % odchylky u proměnné $u_{ValueTemp}$ a byla opačného směru,

$$u_{ValueTemp2} = u_0 - [(u_{ValueTemp} - u_0) \cdot 0,7]. \quad (8.12)$$

Pro horní polohu relé pak platí

$$u_{HighValue} = u_{ValueTemp} \quad (8.13)$$

a pro dolní polohu

$$u_{LowValue} = u_{ValueTemp2} \quad (8.14)$$

za předpokladu, že $u_{LowValue} \geq u_{MinValue}$. Následuje výpočet stupně asymetrie relé

$$\gamma = \frac{\max(|u_{HighValue} - u_0|, |u_{LowValue} - u_0|)}{\min(|u_{HighValue} - u_0|, |u_{LowValue} - u_0|)}. \quad (8.15)$$

8.3.2 CASE 70 a CASE 71 – kontrola parametrů relé a jejich případná úprava

V inicializační fázi (CASE 70) se nejprve nastaví hodnota akční veličiny na $u = u_{LowValue}$. Vynuluje se čítač spádových hran $trailingEdgeCounter$, aktuální čas se uloží do dočasné proměnné pro čas spádové hrany $trailingEdgeRtcTemp$ a náběžné hrany $leadingEdgeRtcTemp$. Vypočítá se aktuální hodnota stupně asymetrie relé γ (8.15).

V hlavní fázi (CASE 71) se kontroluje, zda již proběhly dvě náběžné hrany. Pokud ne, dochází k přepínání relé. Když $u \neq u_{LowValue}$ a $y \geq y_0 + hysteresis_{HighValue}$,

přepne se relé do dolní polohy, tedy $u = u_{LowValue}$. Z dočasných proměnných pro uložení spádové hrany $trailingEdgeRtcTemp$ a náběžné hrany $leadingEdgeRtcTemp$ se vypočítá předběžně doba, kdy je relé v horní poloze z předchozí periody

$$T_{1Temp} = trailingEdgeRtcTemp - leadingEdgeRtcTemp. \quad (8.16)$$

Do proměnné $trailingEdgeRtcTemp$ se uloží aktuální čas a čítač spádových hran připočte aktuální spádovou hranu. Obdobně když $u \neq u_{HighValue}$ a $y \geq y_0 - hysteresis_{LowValue}$, přepne se relé do dolní polohy, tedy $u = u_{HighValue}$. Z dočasných proměnných pro uložení spádové hrany $trailingEdgeRtcTemp$ a náběžné hrany $leadingEdgeRtcTemp$ se vypočítá předběžně doba, kdy je relé v horní poloze, z předchozí periody

$$T_{2Temp} = leadingEdgeRtcTemp - trailingEdgeRtcTemp. \quad (8.17)$$

Do proměnné $leadingEdgeRtcTemp$ se uloží aktuální čas a čítač náběžných hran připočte aktuální náběžnou hranu.

Pokud neproběhla žádná spádová, ale proběhla jedna náběžná hrana, určí se maximální výchylka regulované veličiny pod pracovní bod

$$y_{DeflectionLow} = max(y_{DeflectionLow}, |y - y_0|). \quad (8.18)$$

Pokud proběhla jedna náběžná i spádová hrana, určí se maximální výchylka regulované veličiny nad pracovní bod

$$y_{DeflectionHigh} = max(y_{DeflectionHigh}, |y - y_0|). \quad (8.19)$$

Při druhé náběžné hraně a první spádové hraně se vrátíme na počátek vyhodnocování parametrů relé přepsáním hodnot čítačů $leadingEdgeCounter = 1$ a $trailingEdgeCounter = 0$. Stanoví se dočasná hodnota ρ_{Temp} .

$$\rho_{Temp} = \frac{max(T_{1Temp}, T_{2Temp})}{min(T_{1Temp}, T_{2Temp})} \quad (8.20)$$

a pracovní velikost dopravního zpoždění

$$\tau = \frac{\gamma - \rho_{Temp}}{(\gamma - 1)(0,35\rho_{Temp} + 0,65)}. \quad (8.21)$$

Pokud $\tau < 0,05$ upraví se parametry relé. Úpravy parametrů relé probíhají jinak, než je popsáno v Automatic Tuning of PID Controllers based on Asymmetric Relay Feedback [9]. Když byly použity doporučené úpravy parametrů relé, často docházelo k situaci, kdy regulovaná veličina nedosáhla meze hystereze relé. To pak setrvalo v jedné poloze a nemohlo přepnout do druhé. Proto byla úprava parametrů napsána jinak, značně složitěji za použití struktury CASE.

V prvním prvku struktury CASE (CASE – 0) se provádí tyto úpravy. Když pro odchylku regulované veličiny nad horní mez hystereze platí

$$y_{DeflectionHigh} - Hysteresis_{HighValue} > 1 \quad (8.22)$$

a zároveň pro odchylku regulované veličiny pod dolní mez hystereze platí

$$y_{DeflectionLow} - Hysteresis_{LowValue} > 1, \quad (8.23)$$

tak se parametry relé přepočtou podle vztahů

$$u_{HighValue} = u_0 + (u_{HighValue} - u_0) \cdot 0,8 \quad (8.24)$$

$$u_{LowValue} = u_0 + (u_{LowValue} - u_0) \cdot 0,8. \quad (8.25)$$

Když pro odchylku regulované veličiny nad horní mez hystereze platí

$$y_{DeflectionHigh} - Hysteresis_{HighValue} < 0,1 \quad (8.26)$$

a zároveň pro odchylku regulované veličiny pod dolní mez hystereze platí

$$y_{DeflectionHigh} - Hysteresis_{HighValue} < 0,1, \quad (8.27)$$

tak se nastaví hodnota ukazatele na prvky struktury CASE $y_{Conditions} = 1$. Když pro odchylku regulované veličiny nad horní mez hystereze platí

$$y_{DeflectionHigh} - Hysteresis_{HighValue} < 1 \quad (8.28)$$

a zároveň pro odchylku regulované veličiny pod dolní mez hystereze platí

$$y_{DeflectionLow} - Hysteresis_{LowValue} < 1, \quad (8.29)$$

a také pro odchylku regulované veličiny nad horní mez hystereze platí

$$y_{DeflectionHigh} - Hysteresis_{HighValue} > 0,5 \quad (8.30)$$

a současně pro odchylku regulované veličiny pod dolní mez hystereze platí

$$y_{DeflectionLow} - Hysteresis_{LowValue} > 0,5, \quad (8.31)$$

tak se parametry relé přepočtou podle vztahů

$$u_{HighValue} = u_0 + (u_{HighValue} - u_0) \cdot 0,9 \quad (8.32)$$

$$u_{LowValue} = u_0 + (u_{LowValue} - u_0) \cdot 0,9. \quad (8.33)$$

Když pro odchylku regulované veličiny nad horní mez hystereze platí

$$y_{DeflectionHigh} - Hysteresis_{HighValue} < 0,5 \quad (8.34)$$

a zároveň pro odchylku regulované veličiny pod dolní mez hystereze platí

$$y_{DeflectionLow} - Hysteresis_{LowValue} < 0,5, \quad (8.35)$$

a také pro odchylku regulované veličiny nad horní mez hystereze platí

$$y_{DeflectionHigh} - Hysteresis_{HighValue} > 0,1 \quad (8.36)$$

a současně pro odchylku regulované veličiny pod dolní mez hystereze platí

$$y_{DeflectionLow} - Hysteresis_{LowValue} > 0,1, \quad (8.37)$$

tak se parametry relé přepočtou podle vztahů

$$u_{HighValue} = u_0 + (u_{HighValue} - u_0) \cdot 0,95 \quad (8.38)$$

$$u_{LowValue} = u_0 + (u_{LowValue} - u_0) \cdot 0,95. \quad (8.39)$$

Ve druhém prvku struktury CASE (CASE – 1) se provádí tyto úpravy. Když platí

$$y_{DeflectionHigh} - Hysteresis_{HighValue} > y_{DeflectionLow} - Hysteresis_{LowValue} \quad (8.40)$$

tak se parametry relé přepočtou podle vztahů

$$u_{HighValue} = u_0 + (u_{HighValue} - u_0) \cdot 0,9 \quad (8.41)$$

Jinak se provede přepočet parametrů

$$u_{LowValue} = u_0 + (u_{LowValue} - u_0) \cdot 0,9. \quad (8.42)$$

8.4 Měření průběhů akční a regulované veličiny

8.4.1 CASE 80 a CASE 81 – vzorkování výstupu soustavy

Inicializační fáze (CASE 80) slouží k výpočtu stupně asymetrie relé γ definovaného vztahem (5.3) pomocí předpisu (8.15).

V hlavní fázi (CASE 71) se vzorkuje regulovaná veličina a její hodnoty se ukládají do pole $y_{SamplingArray}$. To má 3 sloupce a 3 000 řádků. Ukládají se do něho tři po sobě jdoucí periody. Na řádek pole ukazuje proměnná $samplingArrayIndex$ a na sloupec $samplingArrayColumnIndex$. Použitý způsob vzorkování byl převzat z programu poskytnutého Milanem Bydžovským z firmy Teco a.s.. Při každém průchodu programem se kontroluje, zda není třeba přepnout relé.

Pokud $y_0 - y < -hysleresis_{HighValue}$ a zároveň $u \neq u_{LowValue}$, pak je čas na spádovou hranu. V čase spádové hrany se vypočítá čas, kdy bylo relé v dolní poloze v předchozí periodě.

$$T_2 = leadingEdgeRtc - trailingEdgeRtc, \quad (8.43)$$

kde $leadingEdgeRtc$ je čas náběžné hrany a $trailingEdgeRtc$ je čas spádové hrany. Následně do proměnné $trailingEdgeRtc$ uložíme aktuální hodnotu času. Hodnota indexu $samplingArrayIndex$, při kterém došlo ke spádové hraně, se uloží do pole $trailingEdgeIndex$. V každém cyklu proběhne několik kontrol a výpočtů. Spočítá se perioda kmitu

$$T_p = T_1 + T_2. \quad (8.44)$$

Vypočítá se čas od počátku periody $TimeInPeriod$, který je dán rozdílem mezi časem náběžní hrany a aktuálním časem. Z takto určeného času se vypočete index pro ukládání vzorků $samplingArrayIndex$

$$samplingArrayIndex = \frac{TimeInPeriod}{samplingPeriodTimeSpan}. \quad (8.45)$$

Pokud nejsou všechny řádky pole zaplněné, připočítá se k odchylkám mezi měřeními $y_{SamplingArrayDiffA}$ a $y_{SamplingArrayDiffA}$ rozdíl mezi vedlejšími sloupci pole a aktuální hodnotou výstupu y . Aktuální hodnota regulované veličiny y se uloží do pole $y_{SamplingArray}$ na řádek s indexem $samplingArrayIndex$. Hodnota tohoto indexu se uloží do proměnné $samplingArrayLastIndex$, která udává hodnotu posledního předchozího indexu.

Pokud $y_0 - y > hysleresis_{LowValue}$ a zároveň $u \neq u_{HighValue}$, pak je čas na náběžnou hranu. Program je postaven tak, že náběžnou hranou končí perioda kmitu a začíná následující. Vypočte se doba, kdy je relé v horní poloze

$$T_1 = trailingEdgeRtc - leadingEdgeRtc, \quad (8.46)$$

a do proměnné $leadingEdgeRtc$ se uloží aktuální čas. Protože končí perioda a začíná nová, přejde se do dalšího sloupce v poli $y_{SamplingArray}$. Průměrné rozdíly mezi naměřenými periodami, tedy proměnné $y_{SamplingArrayDiffA}$ a $y_{SamplingArrayDiffA}$ vydělené hodnotou proměnné $samplingArrayLastIndex$ navýšenou o 1, se uloží do proměnných v pořadí podle sloupce v poli, do kterého jsme právě ukládali $y_{SamplingArrayDiff01}$, $y_{SamplingArrayDiff02}$ a nebo $y_{SamplingArrayDiff12}$. V průběhu měření se vyčíslí všechny tři a spolu tvoří opouštěcí podmínku pro ukončení vzorkování. Při spádové hraně se kontroluje opouštěcí podmínka pro dostatečně ustálené kmitu. Když platí, že průměrné rozdíly mezi prvky uloženými během tří period $y_{SamplingArrayDiff01}$, $y_{SamplingArrayDiff02}$ a $y_{SamplingArrayDiff12}$ jsou menší než je nastavená hodnota $deviation$, může se přejít ke zpracování naměřených dat. Pokud tomu tak není, pokračuje se ve vzorkování.

8.5 Zpracování naměřených dat a příprava na další identifikaci

8.5.1 CASE 90 a CASE 91 – výpočet integrálů ze vstupu a výstupu soustavy ve frekvenční oblasti

Inicializační fáze (CASE 90) je nejsložitější inicializační fází celého programu. Nejprve se z počtu vzorků $samplingArrayLastIndexes$ a hodnoty vzorkovací periody $samplingPeriodTimeSpan$ vypočítá perioda kmitu T_p . Podobně se z čísla vzorku zaznamenaného při poslední spádové hraně $trailingEdgeIndex$ a vzorkovací periody $samplingPeriodTimeSpan$ určí čas, kdy je relé v horní poloze T_1 . Čas po který je relé v dolní poloze, je dán rozdílem těchto časů. Normalizované dopravní zpoždění τ je dáno

$$\tau = \frac{\gamma - \rho}{(\gamma - 1)(0,35 \cdot \rho + 0,65)}, \quad (8.47)$$

kde

$$\rho = \frac{\max(T_1, T_2)}{\min(T_1, T_2)} \quad (8.48)$$

a hodnotu proměnné γ již známe. Pokud platí

$$0,05 \leq \tau \leq 1, \quad (8.49)$$

pak se uživateli zobrazí hlášení „Probíhají výpočty parametrů regulátoru“. Hodnota akční veličiny se nastaví na nejnižší povolenou, tedy $u_0 = u_{MinValue}$ a přejde do následující fáze. Pokud podmínka (8.49) není splněná, je třeba změnit parametry relé. Vhodná úprava je zvolena podle podmínek (8.50) a (8.52). Když platí

$$T_1 - T_2 < 0, \quad (8.50)$$

upraví se hodnota akční veličiny při horní poloze relé

$$u_{HighValue} = u_0 + (u_{HighValue} - u_0) \cdot coefRelay. \quad (8.51)$$

Při splnění druhé podmínky

$$T_1 - T_2 > 0 \quad (8.52)$$

se upraví hodnota akční veličiny v dolní poloze relé

$$u_{LowValue} = u_0 + (u_{LowValue} - u_0) \cdot coefRelay. \quad (8.53)$$

V obou případech se proměnná $coefRelay = 0,9$. Po přepočtení parametrů relé se vypočítá aktuální hodnota proměnné γ , uživateli se zobrazí hlášení „Měření se opakuje, program přepočítává parametry relé“ a běh programu se po vynulování potřebných proměnných vrátí do fáze CASE 80.

Hlavní fáze (CASE 91) slouží k výpočtu parametrů modelu. Vztahu (5.17) odpovídá výpočet

$$divisionT_dT = \frac{\tau}{(1 - \tau)}. \quad (8.54)$$

K výpočtu časové konstanty T ze vztahu (5.18) byly zavedeny dvě pomocné proměnné $tempReal$ a $tempReal2$. Proměnná $tempReal$ je dána jako součin vzorkovací periody a indexu pole, v němž došlo ke spádové hraně. Udává tedy čas, po který bylo relé v horní poloze. Do proměnné $tempReal$ se uloží hodnota čitatele v logaritmu ve jmenovateli zlomku ve vztahu (5.18). Časovou konstantu pak spočítáme jako

$$T = \frac{tempReal}{\ln \left(\frac{tempReal2}{|u_{MaxValue} - u_0| - \frac{hysteresisHighValue}{|K|}} \right)}. \quad (8.55)$$

Velikost dopravního zpoždění T_d se pak vypočte dle vztahu (5.19) jako

$$T_d = T \cdot divisionT_dT. \quad (8.56)$$

8.5.2 CASE 100 a CASE 101 – příprava na další identifikaci

Inicializační fáze (CASE 100) slouží pouze pro zachování schématu programu.

V hlavní fázi (CASE 101) se uvolní tlačítko *start* pro další použití, vymaže se informační hlášení a program se vrátí do fáze CASE 00 a je připravený na další identifikaci.



Část IV

Testování skriptů

Kapitola 9

Použité soustavy

9.1 Simulovaná soustava

Pro prvotní testování a ověření správné funkce skriptů byla v prostředí Mosaic vytvořena simulovaná soustava. Při její tvorbě byly použity funkční bloky z knihovny ModelLib [17]. Funkční blok *fbFirstOrder* je simulací soustavy prvního řádu s přenosem

$$\frac{Y(s)}{U(s)} = \frac{G}{T_1 s + 1}, \quad (9.1)$$

kde $Y(s)$ je Laplaceův obraz regulované veličiny, $U(s)$ je Laplaceův obraz akční veličiny, G je statická citlivost a T_1 časová konstanta. Do funkčního bloku se zadává statická citlivost, časová konstanta v sekundách a perioda vzorkování T v sekundách. Aby měla simulovaná soustava stejnou rychlost, jakou by měla reálná soustava se stejným přenosem, je třeba, aby byla nastavena na

$$T = 0,01 \text{ s}. \quad (9.2)$$

Na vstup funkčního bloku pak přivedeme akční veličinu u a z výstupu čteme hodnoty regulované veličiny y . Zřetězením více funkčních bloků soustavy prvního řádu je možné vytvořit soustavu libovolného řádu. Tímto způsobem byla pro testování vytvořena soustava třetího řádu s přenosem

$$G(s) = \frac{2}{1s + 1} \cdot \frac{1}{1,5s + 1} \cdot \frac{1}{2s + 1}. \quad (9.3)$$

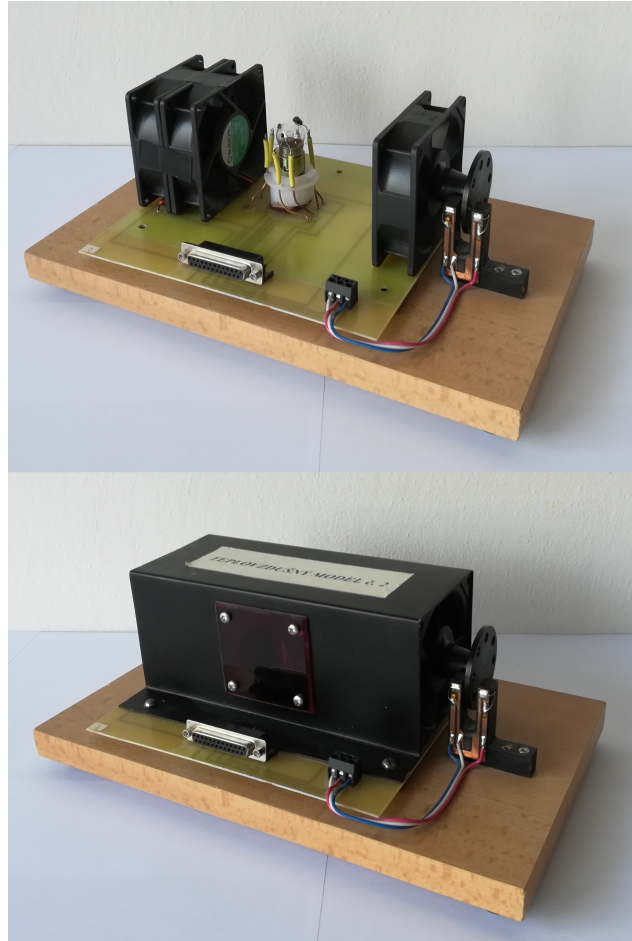
Soustava je stabilní a nekmitavá a je dostatečně vysokého řádu, aby mohla být identifikována FOTD i SOTD modelem.

9.2 Reálné soustavy

Pro odzkoušení napsaných skriptů na reálných soustavách, byla v laboratoři 111 Fakulty strojní ČVUT v Praze, Technická 4 Dejvice vybrána laboratorní soustava „Teplovzdušný model“. Ta byla použita ve dvou různých zapojeních, a je tedy možné ji považovat za dvě různé soustavy.

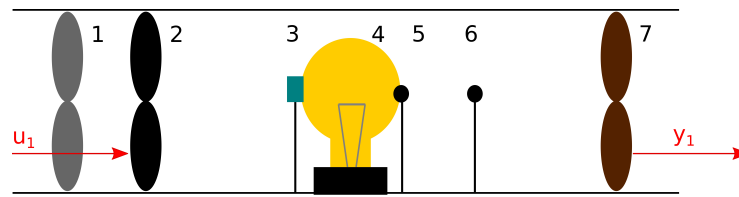
■ 9.2.1 Soustava „Teplovzdušný model“ – zapojení s ventilátorem

Soustava „Teplovzdušný model“ se skládá ze žárovky, dvou ventilátorů, průtokoměru, dvou termistorů a teplotního senzoru KTY82. Vše je umístěno v krytém tunelu. Tři možné akční členy a pět senzorů umožňují připojit soustavu pro více variant měření (obr. 9.1) [18].



Obrázek 9.1: Soustava „Teplovzdušný model“ (Fotografie ve spolupráci s Františkem Hylmarem).

Pro účely této práce bylo použito zapojení s ventilátorem pro měření průtoku vzduchu. Tunel je na jedné straně vybaven dvěma ventilátory. Na vnitřní straně je hlavní ventilátor, na vnější pak poruchový ventilátor, který může pusobit proti hlavnímu ventilátoru. Na druhém konci tunelu se nachází vrtulkový průtokoměr (obr. 9.2).



- 1 vedlejší poruchový ventilátor
- 2 hlavní ventilátor
- 3 teplotní senzor KTY82
- 4 žárovka
- 5 termistor
- 6 termistor
- 7 vrtulkový průtokoměr

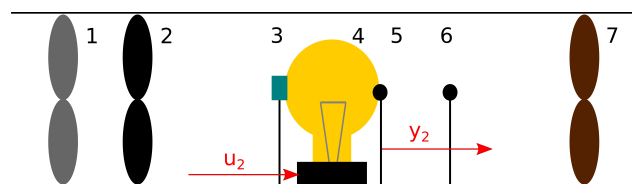
Obrázek 9.2: Schéma soustavy „Teplovzdušný model“ – zapojení s ventilátorem.

Soustava byla zapojena tak, že akční zásah z PLC u_1 ovládá hlavní ventilátor. Výstupem soustavy je tedy průtok vzduchu měřený vrtulkovým průtokoměrem. Průtok vzduchu y_1 jde jako regulovaná veličina na vstup do PLC.

Soustava se chová nelineárně, ale má rychlou odezvu na změnu akční veličiny. Mohlo by se zde však projevit dopravní zpoždění dané délkou tunelu a mechanickými vlastnostmi ventilátoru.

■ 9.2.2 Soustava „Teplovzdušný model“ – zapojení se žárovkou

U laboratorní úlohy „Teplovzdušný model“, která je popsána v předcházejícím oddíle, proběhla měření i v zapojení se žárovkou. Žárovka je napájena ovládaným zdrojem šířkově modulovaného napětí a je tepelným zdrojem. V těsné blízkosti žárovky je umístěn termistor. Napájení žárovky je řízeno akční veličinou u_2 , která je výstupem PLC. Teplota žárovky y_2 snímána termistorem je regulovanou veličinou a vrací se zpět do PLC (obr. 9.3).



- 1 vedlejší poruchový ventilátor
- 2 hlavní ventilátor
- 3 teplotní senzor KTY82
- 4 žárovka
- 5 termistor
- 6 termistor
- 7 vrtulkový průtokoměr

Obrázek 9.3: Schéma soustavy „Teplovzdušný model“ – zapojení se žárovkou.

Soustava má pomalou odezvu na změnu akční veličiny. Chová se nelineárně a rychleji se zahřívá, než chladne.

Kapitola 10

Určení parametrů modelu ze tří bodů Nyquistovy frekvenční charakteristiky

10.1 Testování na simulované soustavě

10.1.1 Opakovatelnost měření

K ověření správné funkce napsaného skriptu reléové identifikace ze tří bodů frekvenční charakteristiky bylo opakovaně provedeno měření na simulované soustavě (9.3). Měření bylo opakováno desetkrát ve stejném pracovním bodě $u_0 = 3$ při stejné nastavených parametrech identifikace.

	T_p	ω_1	T_{vz}	$G(j\omega_1)$	$G(j\omega_2)$	K
1	8,420	0,746222	20	-0,463587-0,370820i	-0,140208+0,0338541i	2
2	8,420	0,746222	20	-0,462705-0,371940i	-0,140379+0,0331991i	2
3	8,430	0,745336	20	-0,463576-0,374133i	-0,132614+0,0278985i	2
4	8,410	0,747109	20	-0,462159-0,374703i	-0,133510+0,0235349i	2
5	8,420	0,746222	20	-0,462164-0,377968i	-0,125953+0,0176973i	2
6	8,420	0,746222	20	-0,463264-0,371154i	-0,140388+0,0337854i	2
7	8,420	0,746222	20	-0,462130-0,378016i	-0,125901+0,0175906i	2
8	8,430	0,745336	20	-0,463576-0,374133i	-0,132614+0,0278985i	2
9	8,420	0,746222	20	-0,463530-0,370887i	-0,140264+0,0337614i	2
10	8,420	0,746222	20	-0,463432-0,370942i	-0,140263+0,0336730i	2

Tabulka 10.1: Určené body Nyquistovy frekvenční charakteristiky a parametry měření pro 10 různých měření. T_p je perioda kmitu v s , ω_1 je frekvence v rad/s a T_{vz} je vzorkovací perioda v ms . Tři určené body Nyquistovy frekvenční charakteristiky jsou K , $G(j\omega_1)$ a $G(j\omega_2)$.

Skutečnost, že se periody kmitu liší o desítky milisekund, logicky vyplývá z toho, že funkce *getRTC* vrací čas v desítkách milisekund. Perioda kmitu se vypočítá jako rozdíl dvou takto získaných časů. Podle toho, k jaké odchylce dojde při určení

času, je dána přesnost určení periody kmitu T_p . Statická citlivost soustavy K byla určena vždy naprosto přesně. Odlišnost mezi určenými body $G(j\omega_1)$ a $G(j\omega_2)$ je dána rozdílem v naměřené periodě kmitu. U reálné složky bodu $G(j\omega_1)$ činí tento rozdíl 0,32 % a u imaginární složky 1,9 %. Pro reálnou složku bodu $G(j\omega_2)$ je rozdíl mezi měřeními 10 % a u imaginární složky 53 %. Pohybujeme se však v desetínách a setinách, a tak se každá odchylka, která vzniká při sčítání dvou hodnot průběhů, projeví obzvlášť výrazně.

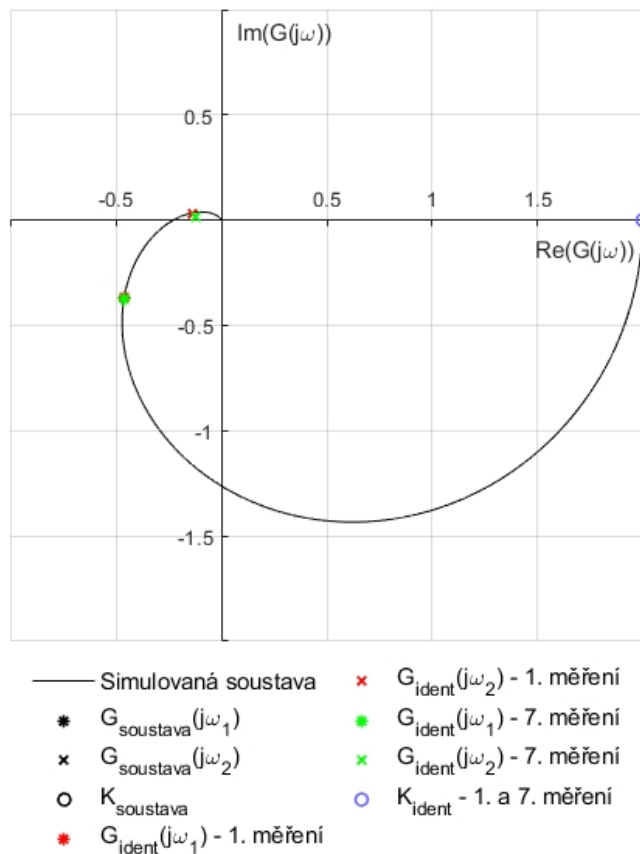
Pro určené body frekvenční charakteristiky byly vypočteny parametry modelu SOTD.

	a_1	a_2	T_d	K
1	2,97518	6,34641	-1,88640	2
2	2,97569	6,34563	-1,88943	2
3	2,43042	6,88836	-2,02796	2
4	2,44131	6,85029	-2,03261	2
5	1,57485	7,42926	-2,22712	2
6	2,98342	6,33729	-1,88515	2
7	1,63844	7,43394	-2,22928	2
8	2,43040	6,88836	-2,02796	2
9	2,97681	6,34453	-1,88633	2
10	2,97637	6,34561	-1,88681	2

Tabulka 10.2: Určené parametry modelu pro 10 různých měření.

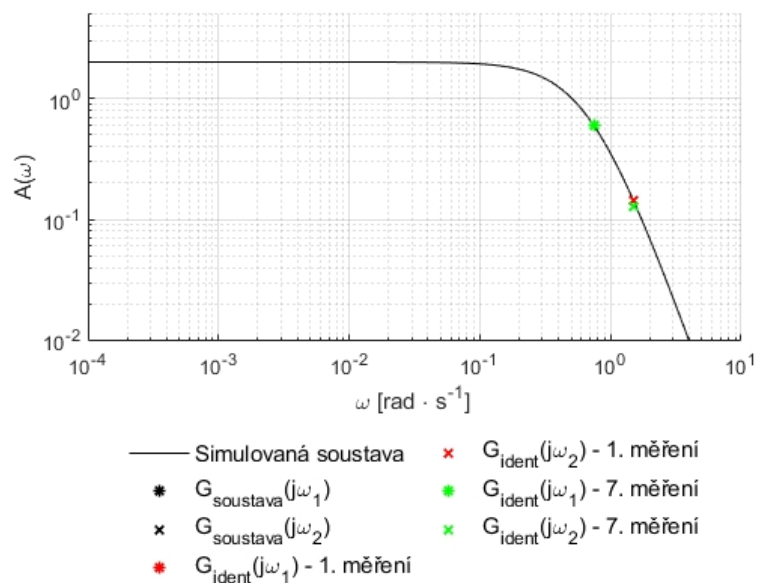
Právě výše uvedená skutečnost, že imaginární složka druhého bodu je malá, má za následek, že pro žádné měření nebyly správně určeny parametry modelu. Dopravní zpoždění totiž ve všech případech vyšlo záporné.

10.1.2 Správnost identifikace simulované soustavy



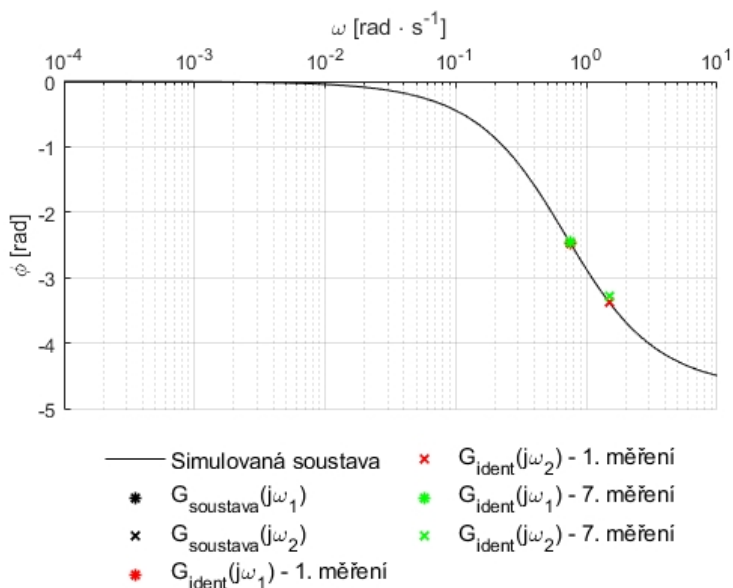
Obrázek 10.1: Nyquistovy frekvenční charakteristiky pro dva nejodlišnější výsledky měření, $\omega_1 = 0,7462 \text{ rad/s}$ a $\omega_2 = 1,4924 \text{ rad/s}$.

Na Nyquistových charakteristikách je vidět, že body určené identifikací jsou téměř totožné (obr. 10.1). Jen body $G(j\omega_2)$ se liší. Větší odchylka než u bodu $G(j\omega_1)$ je dána způsobem výpočtu ze vztahu (3.20).



Obrázek 10.2: Amplitudové frekvenční charakteristiky pro dva nejodlišnější výsledky měření, $\omega_1 = 0,7462 \text{ rad/s}$ a $\omega_2 = 1,4924 \text{ rad/s}$.

Podobná odchylka, jaká byla patrná u polohy bodu $G(j\omega_2)$ na Nyquistově frekvenční charakteristice, je i na amplitudové frekvenční charakteristice (obr. 10.2).



Obrázek 10.3: Fázové frekvenční charakteristiky pro dva nejodlišnější výsledky měření, $\omega_1 = 0,7462 \text{ rad/s}$ a $\omega_2 = 1,4924 \text{ rad/s}$.

Také na fázové frekvenční charakteristice je bod $G(j\omega_2)$ mírně odchýlen (obr. 10.3). Avšak i přes tuto odchylku by mohla být soustava správně identifikována. Statická

citlivost byla ve všech případech určena přesně. Bod $G(j\omega_1)$ z identifikace odpovídá bodu frekvenční charakteristiky soustavy se stejnou frekvencí. Bod $G(j\omega_2)$ z identifikace je oproti bodu frekvenční charakteristiky soustavy mírně posunut, má mírně větší fázi a menší amplitudu. Výraznější problém je však ve výpočtu parametrů modelu, který ve všech případech selhal.

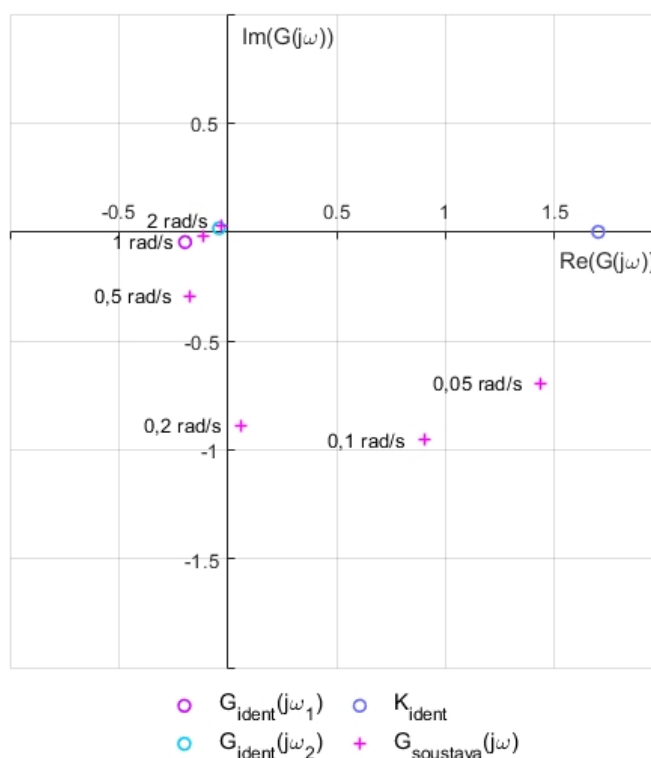
10.2 Testování na reálných soustavách

10.2.1 Identifikace soustavy „Teplovzdušný model“ – zapojení s ventilátorem

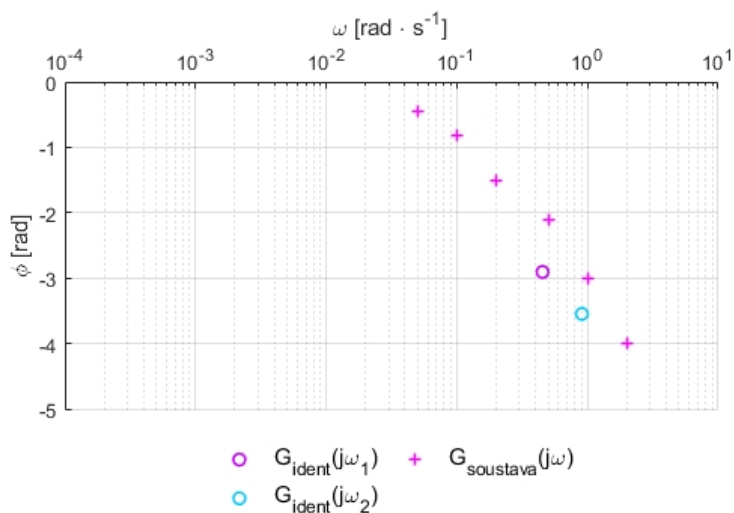
Pro porovnání určeného modelu a reálné soustavy byly naměřeny frekvenční charakteristiky v pracovním bodě $u_0 = 2,3 V$. Program pro reléovou identifikaci určil body uvedené v tabulce 10.3.

K	ω_1 [rad/s]	$G(j\omega_1)$	ω_2 [rad/s]	$G(j\omega_2)$
1.702	0,4527	-0,195681-0,0469211i	0,9054	-0,0394694+0,0169869i

Tabulka 10.3: Reléovou identifikací určené body frekvenčních charakteristik.

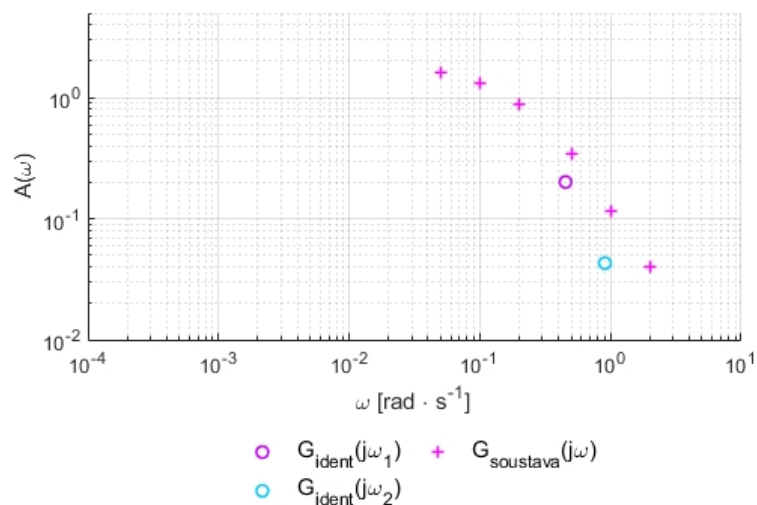


Obrázek 10.4: Porovnání bodů frekvenční charakteristiky určených identifikací s body Nyquistovy frekvenční charakteristikou soustavy.



Obrázek 10.5: Porovnání bodů frekvenční charakteristiky určených identifikací s body fázové frekvenční charakteristikou soustavy.

Naměřené body mají nižší fázi než jim odpovídající body naměřené frekvenční charakteristiky. Amplituda určených bodů je také nižší, než se očekává podle naměřených bodů frekvenční charakteristiky soustavy.



Obrázek 10.6: Porovnání bodů frekvenční charakteristiky určených identifikací s body amplitudové frekvenční charakteristikou soustavy.

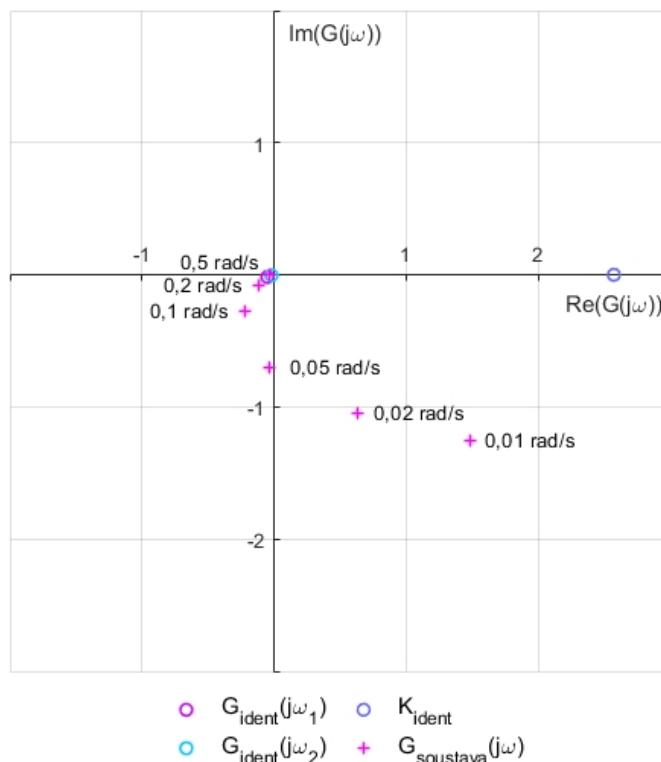
10.2.2 Identifikace soustavy „Teplovzdušný model“ – zapojení se žárovkou

Pro porovnání určeného modelu a reálné soustavy byly naměřeny frekvenční charakteristiky v pracovním bodě $u_0 = 3 \text{ V}$. Program pro reléovou identifikaci určil body

uvedené v tabulce 10.4.

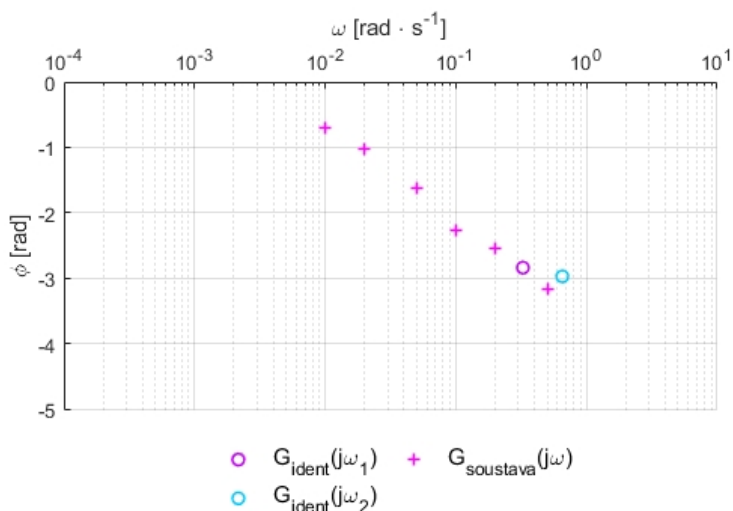
K	ω_1 [rad/s]	$G(j\omega_1)$	ω_2 [rad/s]	$G(j\omega_2)$
2,57231	0,3261	-0,0509567-0,0158128i	0,6522	-0,0193065-0,00327611i

Tabulka 10.4: Reléovou identifikací určené body frekvenčních charakteristik.

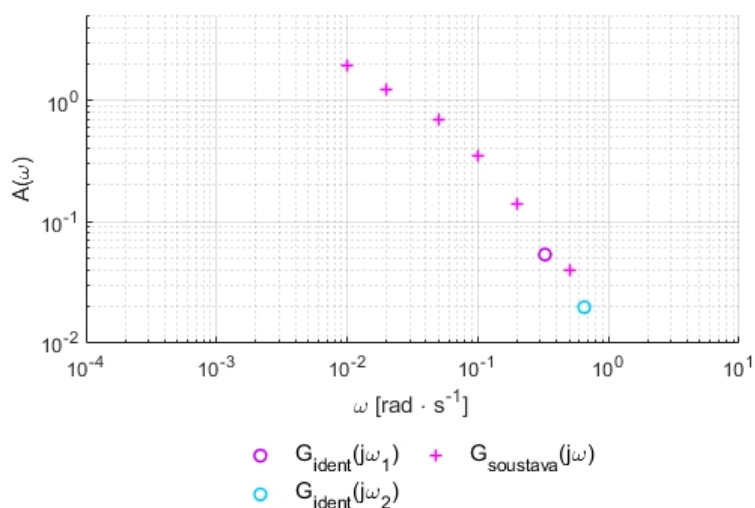


Obrázek 10.7: Porovnání bodů frekvenční charakteristiky určených identifikací s body Nyquistovy frekvenční charakteristiky soustavy.

Bod o frekvenci identifikace a o dvojnásobné frekvenci se na Nyquistově frekvenční charakteristice téměř překrývají (obr. 10.7). Z toho vyplývá, že určené body se nacházejí na části Nyquistovy frekvenční charakteristiky, kde frekvence narůstá rychle a amplituda spěje k nule.



Obrázek 10.8: Porovnání bodů frekvenční charakteristiky určených identifikací s body fázové frekvenční charakteristiky soustavy.



Obrázek 10.9: Porovnání bodů frekvenční charakteristiky určených identifikací s body amplitudové frekvenční charakteristiky soustavy.

Body fázové frekvenční charakteristiky z identifikace vyznačené u bodů frekvenční charakteristiky soustavy ukazují, že fáze druhého určeného bodu neodpovídá zcela očekávanému průběhu frekvenční charakteristiky (obr. 10.8).

Porovnání bodů z identifikace v amplitudové frekvenční charakteristice soustavy ukazuje na dobře určenou amplitudu bodů (obr. 10.9). Na přesnost určení bodů frekvenční charakteristiky má při vysokých frekvencích a malých amplitudách výrazný vliv šum. Bylo by tedy dobré provádět měření při nižších frekvencích přepínání relé.

Kapitola 11

Určení parametrů modelu ze tří bodů Nyquistovy frekvenční charakteristiky s přidaným dopravním zpožděním

11.1 Testování na simulované soustavě

11.1.1 Opakovatelnost měření

Pro kontrolu, zda je program správně napsán, bylo provedeno deset měření na simulované soustavě v pracovním bodě daném hodnotou akční veličiny $u_0 = 3$. Za stejných podmínek měření byla naměřena mírně odlišná data (tab. 11.1).

	T_p	ω_1	T_{vz}	$G(j\omega_1)$	$G(j\omega_2)$	K
1	13,380	0,469595	20	-0,249839-1,04990i	-0,352255-0,148070i	2
2	13,390	0,469245	20	-0,250929-1,04982i	-0,362494-0,142203i	2
3	13,380	0,469595	20	-0,249839-1,04990i	-0,352255-0,148070i	2
4	13,380	0,469595	20	-0,249839-1,04990i	-0,352255-0,148070i	2
5	13,390	0,469245	20	-0,253002-1,05006i	-0,360224-0,140610i	2
6	13,380	0,469595	20	-0,249839-1,04990i	-0,352255-0,148070i	2
7	13,390	0,469245	20	-0,253762-1,04924i	-0,363287-0,141333i	2
8	13,410	0,468545	20	-0,249080-1,05108i	-0,366488-0,144561i	2
9	13,380	0,469595	20	-0,251083-1,04865i	-0,371078-0,139313i	2
10	13,380	0,469595	20	-0,251376-1,049490	-0,352395-0,146854i	2

Tabulka 11.1: Určené body Nyquistovy frekvenční charakteristiky a parametry měření pro 10 různých měření. T_p je perioda kmitu v s , ω_1 je frekvence v rad/s a T_{vz} je vzorkovací perioda v ms . Tři určené body Nyquistovy frekvenční charakteristiky jsou K , $G(j\omega_1)$ a $G(j\omega_2)$.

Stejně jako u předchozí verze reléové identifikace ze tří bodů Nyquistovy frekvenční charakteristiky byly zaznamenány rozdíly v naměřené periodě kmitu. To je způsobeno

skutečností, že funkce *GetRTC*, která byla v průběhu celého programu používána, vrací hodnotu času v desítkách milisekund. Nejmenší možné vzorkování je nastaveno na 20 ms. Uvážíme-li se oba dva tyto aspekty, je zřejmé, že odchylky v hodnotách periody kmitu T_p nejsou dány chybou v programu, ale možnostmi PLC. Z periody kmitu se počítá frekvence ω_1 a ta pak poslouží v exponenciální funkci při výpočtu bodů Nyquistovy frekvenční charakteristiky pomocí vztahů (3.16) a (3.20). Rozdíl v určené periodě se tak přenáší až na nalezené body, a tedy i na parametry modelu (tab. 11.2).

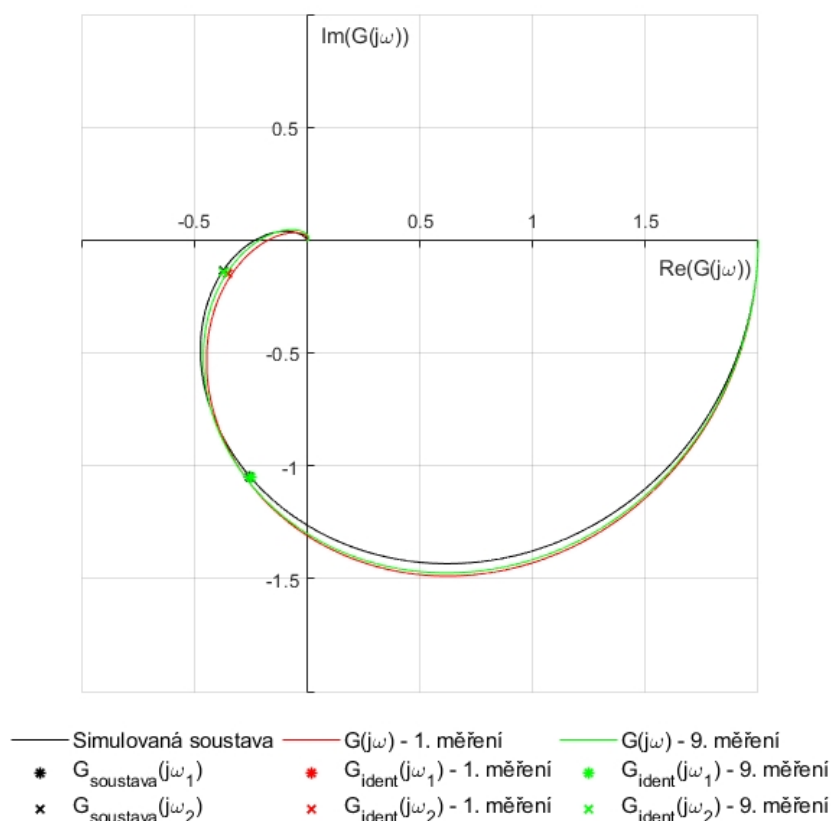
	a_1	a_2	T_d	K
1	3,92808	5,34293	0,350768	2
2	3,93708	5,18613	0,396884	2
3	3,92808	5,34293	0,350768	2
4	3,92808	5,34293	0,350768	2
5	3,93203	5,24988	0,387062	2
6	3,92762	5,35293	0,350768	2
7	3,93703	5,17707	0,402977	2
8	3,94331	5,10272	0,413492	2
9	3,94319	5,01895	0,436440	2
10	3,92644	5,35021	0,352630	2

Tabulka 11.2: Určené parametry modelu pro 10 různých měření.

11.1.2 Správnost identifikace simulované soustavy

Z různých výsledků měření zaznamenaných v tabulkách 11.1 a 11.2 byla vybrána dvě nejrozdílnější měření, konkrétně měření č.1 a měření č.9, a jejich výsledky byly zobrazeny ve frekvenčních charakteristikách.

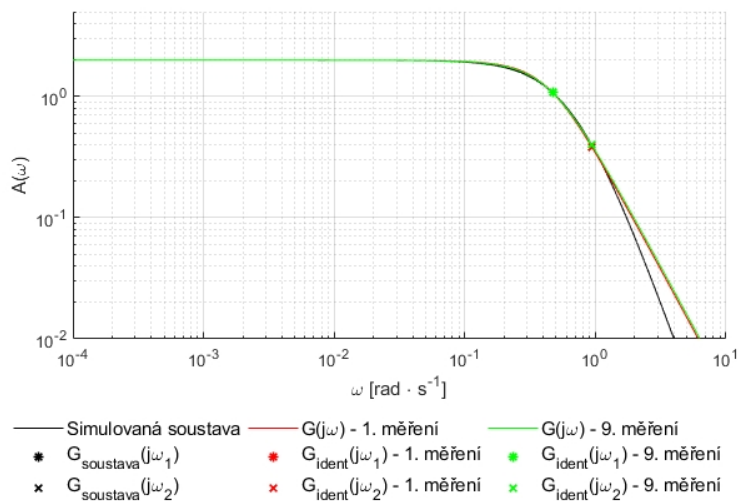
Nyquistovy frekvenční charakteristiky modelů jsou velmi podobné (obr. 11.1). Je však patrné, že ve třetím kvadrantu lépe odpovídá frekvenční charakteristika z měření č.9. Ani druhá frekvenční charakteristika se mnoho neodchyluje od frekvenční charakteristiky simulované soustavy. Vyznačené body o frekvenci identifikace se pro simulovanou soustavu i SOTD modely shodují. Body o frekvenci ω_2 se vzájemně mírně liší a bod z 9. měření byl určen lépe.



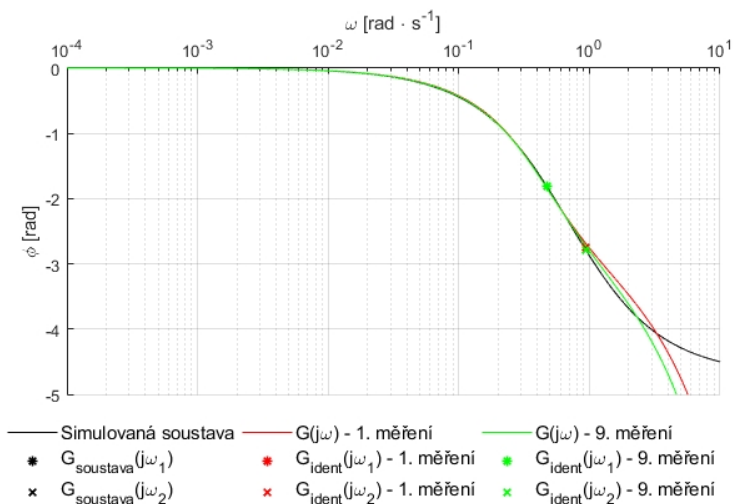
Obrázek 11.1: Nyquistovy frekvenční charakteristiky pro dva nejodlišnější výsledky měření, $\omega_1 = 0,469595 \text{ rad/s}$ a $\omega_2 = 0,93919 \text{ rad/s}$.

Amplitudové frekvenční charakteristiky obou modelů se blíží amplitudové charakteristice simulované soustavy (obr. 11.2). Amplitudové charakteristiky modelů jsou téměř totožné, avšak body vyznačené na frekvenční charakteristice z 1. měření se s body frekvenční charakteristiky simulované soustavy nepřekrývají tak dobře, jako je tomu u charakteristiky z 9. měření.

Na fázové frekvenční charakteristice je mezi těmito dvěma měřeními patrný rozdíl u frekvencí vyšších než $0,7 \text{ rad/s}$ (obr. 11.2). Frekvenční charakteristika modelu z 9. měření opět kopíruje frekvenční charakteristiku simulované soustavy lépe než model z 1. měření.



Obrázek 11.2: Amplitudové frekvenční charakteristiky pro dva nejodlišnější výsledky měření, $\omega_1 = 0,469595 \text{ rad/s}$ a $\omega_2 = 0,93919 \text{ rad/s}$.



Obrázek 11.3: Fázové frekvenční charakteristiky pro dva nejodlišnější výsledky měření, $\omega_1 = 0,469595 \text{ rad/s}$ a $\omega_2 = 0,93919 \text{ rad/s}$.

Pro oba modely, které se vzájemně příliš neliší, je možné říci, že soustava byla identifikována správně.

11.2 Testování na reálných soustavách

11.2.1 Identifikace soustavy „Teplovzdušný model“ – zapojení s ventilátorem

Program pro reléovou identifikaci byl použit k určení modelu laboratorní úlohy „Teplovzdušný model“ – zapojení s ventilátorem. Identifikace probíhala v pracovním bodě daném hodnotou akční veličiny $u_0 = 2,3 \text{ V}$. Body určené identifikací jsou v tabulce 11.3, parametry modelu pak v tabulce 11.4.

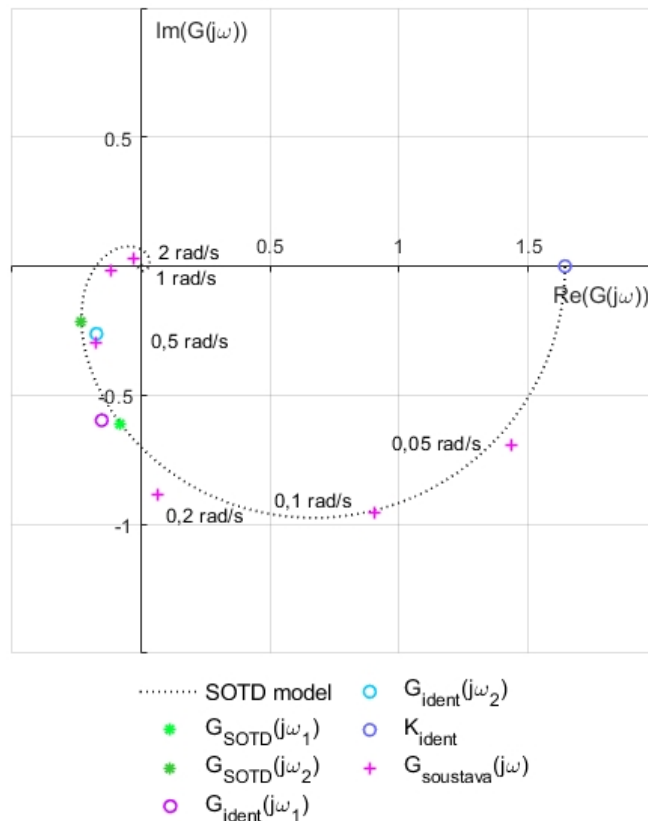
K	$\omega_1 [\text{rad/s}]$	$G(j\omega_1)$	$\omega_2 [\text{rad/s}]$	$G(j\omega_2)$
1,64209	0.2057	-0,151014-0,597077i	0,4114	-0,171728-0,262299i

Tabulka 11.3: Reléovou identifikací určené body frekvenčních charakteristik.

K	a_1	a_1	T_d
1,64209	12,6377	9,64180	1,70382

Tabulka 11.4: Určené parametry SOTD modelu.

Pro ověření správnosti modelu byly naměřeny body frekvenčních charakteristik soustavy a frekvenční charakteristiky modelu byly s těmito body porovnány.



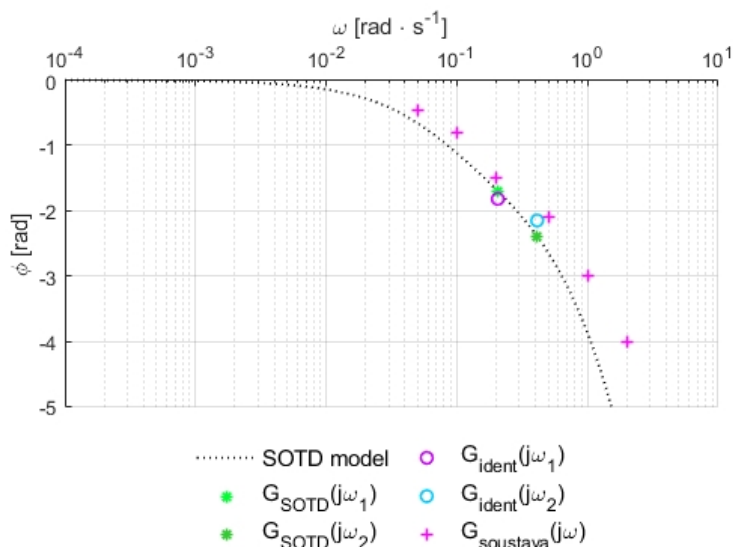
Obrázek 11.4: Porovnání Nyquistovy frekvenční charakteristiky určeného modelu s body frekvenční charakteristiky soustavy.

Nyquistova frekvenční charakteristika SOTD modelu (obr. 11.4) téměř kopíruje naměřené body frekvenční charakteristiky soustavy.

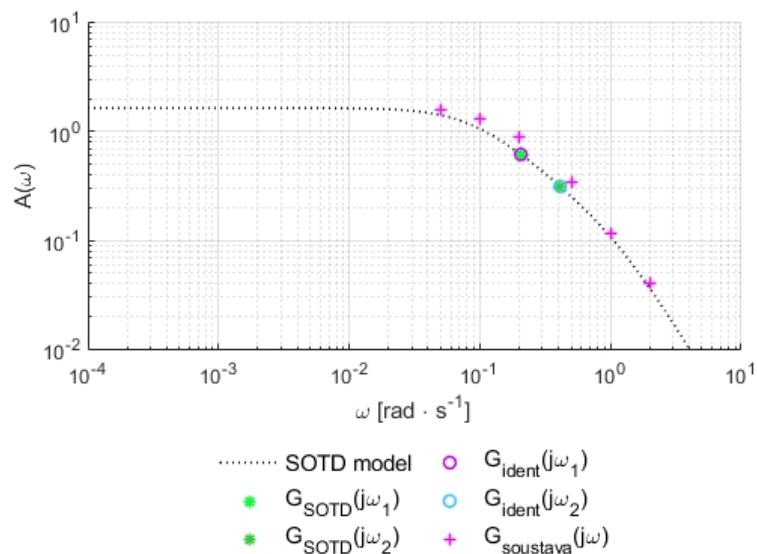
Fázová frekvenční charakteristika (obr. 11.5) ukazuje, že fáze začíná klesat o něco dříve než fáze soustavy. Nejedná se však o žádnou výraznou odchylku.

Amplitudová frekvenční charakteristika (obr. 11.6) má stejný průběh jako je ten, který naznačují body frekvenční charakteristiky soustavy.

Z frekvenčních charakteristik je možné soudit, že SOTD model byl určen s dostatečnou přesností pro frekvence nižší než $0,4 \text{ rad/s}$. Pak se již lehce odchyluje od chování reálné soustavy.



Obrázek 11.5: Porovnání fázové frekvenční charakteristiky určeného modelu s body frekvenční charakteristiky soustavy.



Obrázek 11.6: Porovnání amplitudové frekvenční charakteristiky určeného modelu s body frekvenční charakteristiky soustavy.

11.2.2 Identifikace soustavy „Teplovzdušný model“ – zapojení se žárovkou

Také pro soustavu „Teplovzdušný model“ – zapojení se žárovkou byl programem pro reléovou identifikaci určen SOTD model. Identifikace probíhala v pracovním bodě daném hodnotou akční veličiny $u_0 = 3 V$. Body určené identifikací jsou v tabulce

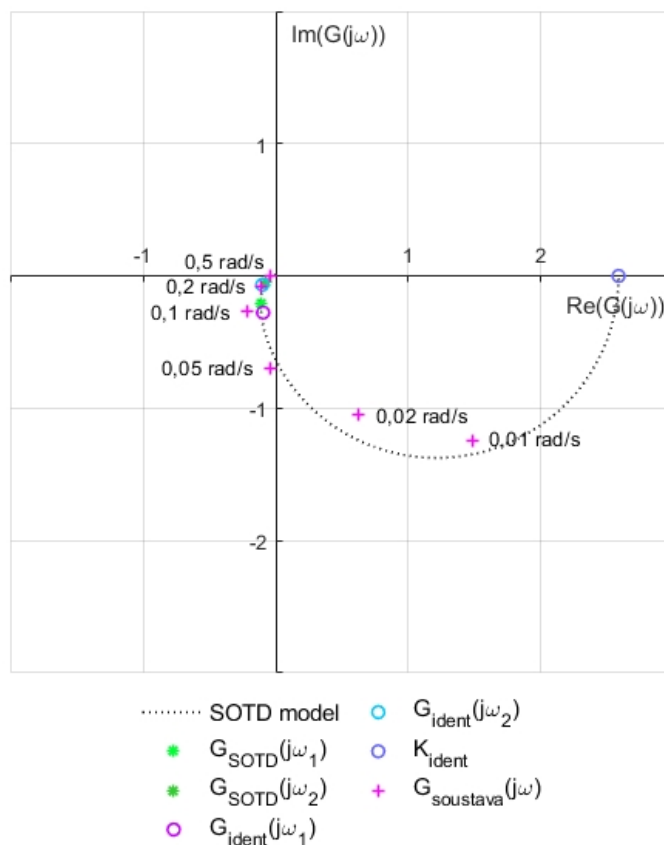
11.5, parametry modelu pak v tabulce 11.6.

K	ω_1 [rad/s]	$G(j\omega_1)$	ω_2 [rad/s]	$G(j\omega_2)$
2,586918	0,1277	-0,0964430-0,276906i	0,2554	-0,103205-0,0667331i

Tabulka 11.5: Reléovou identifikací určené body frekvenční charakteristiky.

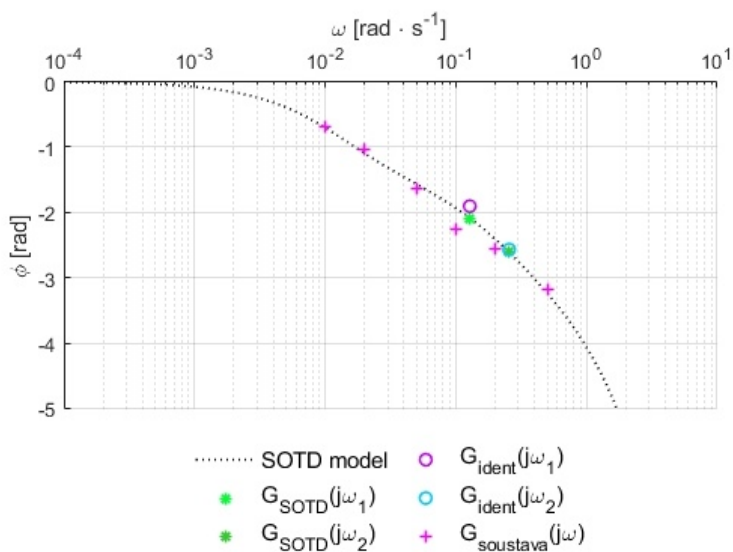
K	a_1	a_1	T_d
2,586918	80,8290	302,730	1,18257

Tabulka 11.6: Určené parametry SOTD modelu.



Obrázek 11.7: Porovnání Nyquistovy frekvenční charakteristiky určeného modelu s body frekvenční charakteristiky soustavy.

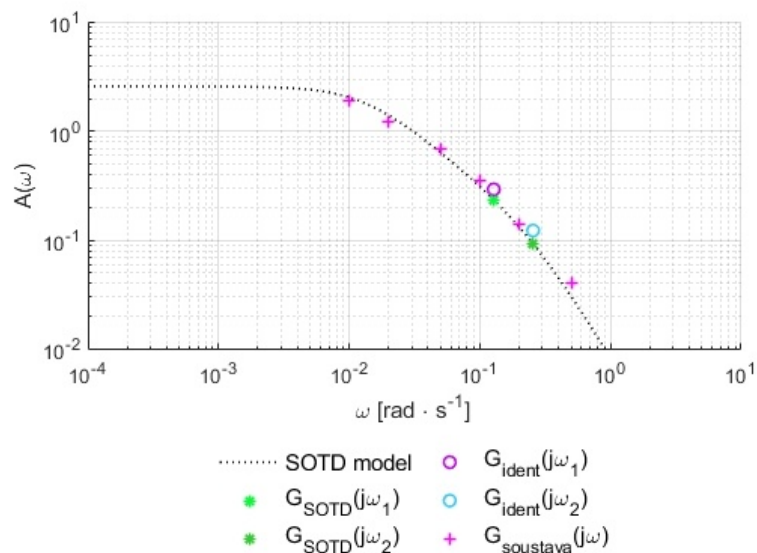
Porovnání Nyquistových frekvenčních charakteristik SOTD modelu a soustavy je na obrázku 11.7. Frekvenční charakteristika modelu svým tvarem dobře kopíruje polohu bodů Nyquistovy frekvenční charakteristiky soustavy.



Obrázek 11.8: Porovnání fázové frekvenční charakteristiky určeného modelu s body frekvenční charakteristiky soustavy.

Fázová frekvenční charakteristika modelu má velmi podobný průběh tomu, který je dán body frekvenční charakteristiky soustavy (obr. 11.8).

Amplitudová frekvenční charakteristika modelu odpovídá bodům amplitudové frekvenční charakteristiky soustavy (obr. 11.9). Z porovnání frekvenčních charakteristik SOTD modelu a bodů frekvenčních charakteristik soustavy lze tedy říci, že soustava byla dobře identifikována.



Obrázek 11.9: Porovnání amplitudové frekvenční charakteristiky určeného modelu s body frekvenční charakteristiky soustavy.

Kapitola 12

Určení modelu pro nastavení parametrů PI, PD a PID regulátorů

12.1 Testování na simulované soustavě

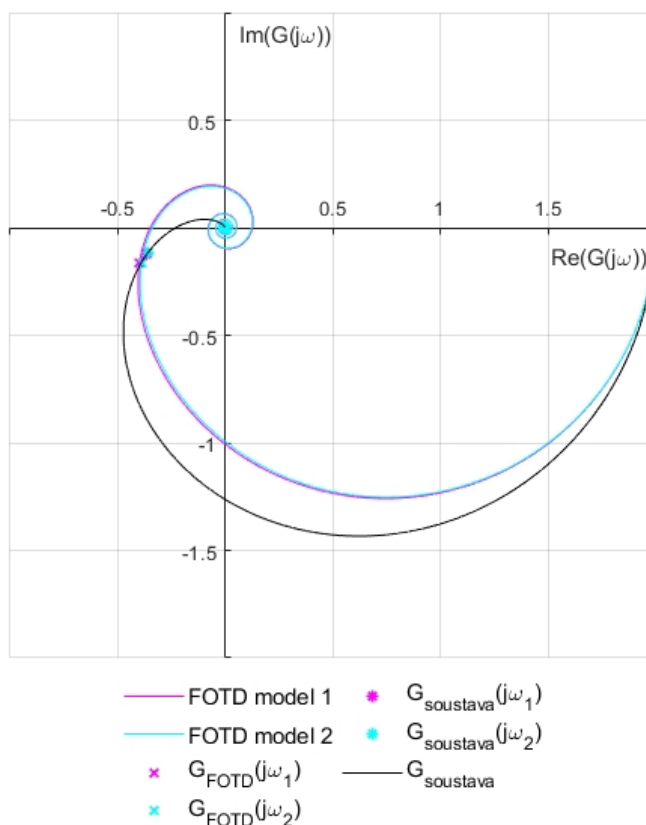
12.1.1 Opakovatelnost měření

Pro ověření správné funkce programu pro relovou identifikaci bylo desetkrát opakováno měření na simulované soustavě za stejných podmínek. Velikost akční veličiny v pracovním bodě byla $u_0 = 3$. Z měření vyšly dva různé výsledky v závislosti na určené periodě kmitu (tab. 12.1). Stejně jako u předchozích dvou metod je to způsobené použitím funkce *GetRTC*.

	T_p	$u_{HighValue}$	$u_{LowValue}$	T	T_d	K
1	6,540	10	0	4,72924	1,45050	2
2	6,530	10	0	4,82535	1,43574	2
3	6,540	10	0	4,72924	1,45050	2
5	6,540	10	0	4,72924	1,45050	2
6	6,530	10	0	4,82535	1,43574	2
7	6,540	10	0	4,72924	1,45050	2
8	6,530	10	0	4,82535	1,43574	2
9	6,530	10	0	4,82535	1,43574	2
10	6,540	10	0	4,72924	1,45050	2

Tabulka 12.1: Určené parametry modelu pro 10 různých měření a parametry identifikace. T_p je perioda kmitu v s , $u_{HighValue}$ je ve V , $u_{LowValue}$ je ve V , T je v s a T_d je v s .

Pro porovnání rozdílů mezi oběma variantami řešení byly vykresleny frekvenční charakteristiky.

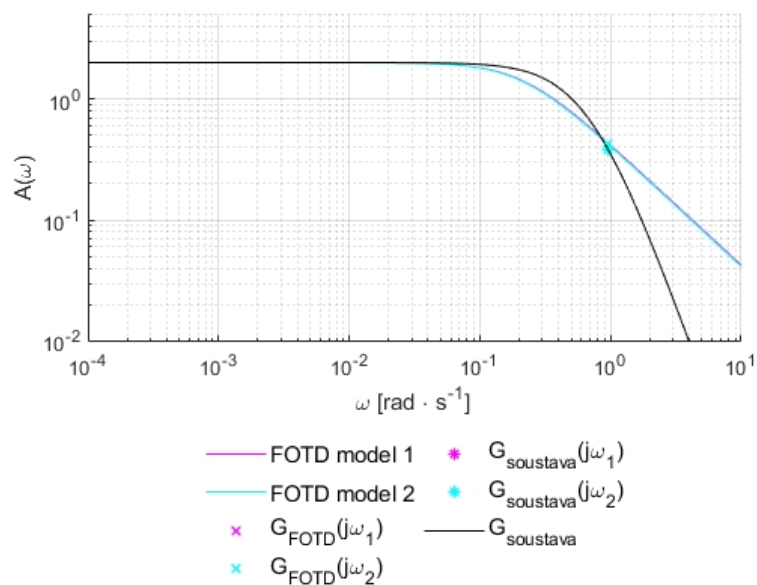


Obrázek 12.1: Porovnání Nyquistovy frekvenční charakteristiky simulované soustavy a frekvenčních charakteristik určených FOTD modelů.

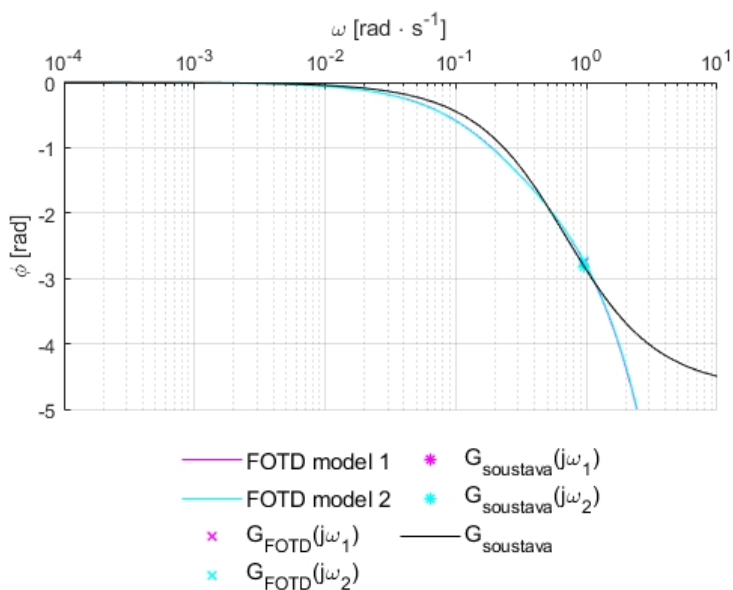
Nyquistovy frekvenční charakteristiky modelu 1 a modelu 2 jsou téměř stejné (12.1). I vzdálenost bodu modelu s frekvencí identifikace od příslušného bodu charakteristiky soustavy je srovnatelná. Frekvenční charakteristika soustavy je však odlišná od Nyquistových frekvenčních charakteristik modelů. Model popisuje frekvenční chování soustavy správně pouze při frekvencích blízkých frekvenci identifikace.

Amplitudové frekvenční charakteristiky modelů se téměř dokonale překrývají, avšak amplitudu soustavy určují správně jen při frekvencích blízkých frekvenci identifikace (obr. 12.2). Vzhledem k tomu, že model je prvního řádu a identifikovaná soustava třetího, jde o očekávaný výsledek.

Fázové frekvenční charakteristiky obou modelů se téměř dokonale překrývají (obr. 12.3). Také poměrně dobře sledují frekvenční charakteristiku soustavy až do frekvence, s jakou probíhala identifikace.



Obrázek 12.2: Porovnání amplitudové frekvenční charakteristiky simulované soustavy a frekvenčních charakteristik určených FOTD modelů.



Obrázek 12.3: Porovnání fázové frekvenční charakteristiky simulované soustavy a frekvenčních charakteristik určených FOTD modelů.

12.1.2 Správnost identifikace simulované soustavy

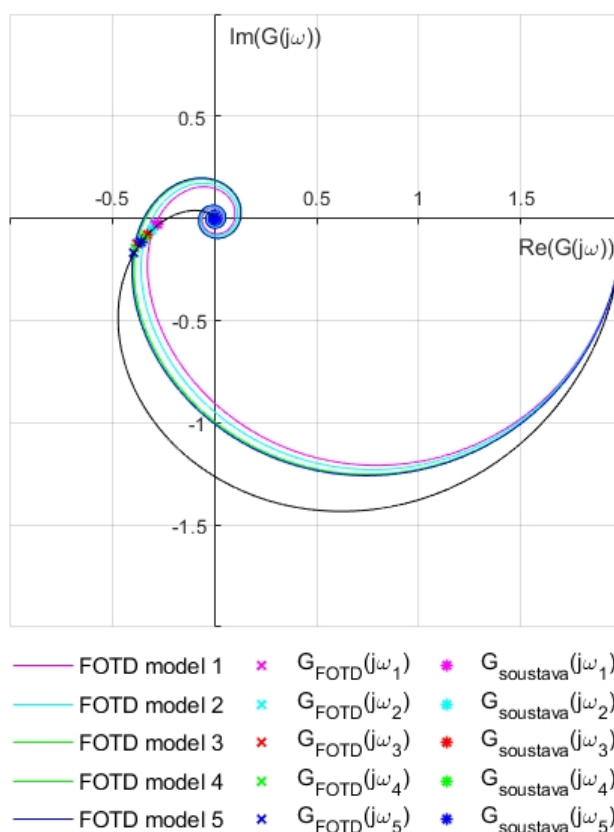
Protože přesnost identifikace může záviset na velikosti šumu – tedy na velikosti hystereze, byla provedena měření na simulované soustavě pro pět různých hodnot

velikosti šumu. V tabulce 12.2 lze vidět, že určené parametry FOTD modelu se liší jen mírně.

šum	T_p	$u_{HighValue}$	$u_{LowValue}$	T	T_d	K
0,01	5,590	7,29449	0	6,05548	1,43719	2
0,01	5,570	7,29449	0	5,83223	1,13752	2
0,02	5,940	9,97783	0	5,22254	1,38439	2
0,03	6,150	10	0	4,79856	1,42614	2
0,04	6,350	10	0	4,72848	1,44004	2
0,05	6,540	10	0	4,72924	1,45050	2

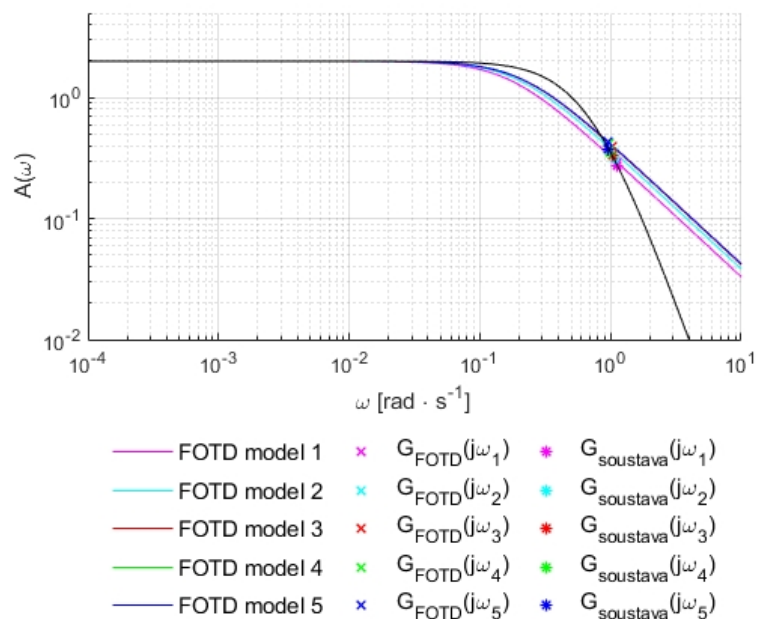
Tabulka 12.2: Porovnání parametrů modelu pro 5 různých hodnot šumu.

Pro lepší porovnání byly vykresleny frekvenční charakteristiky. Na nich jsou vyznačeny body s frekvencemi, které odpovídají frekvenci identifikace.

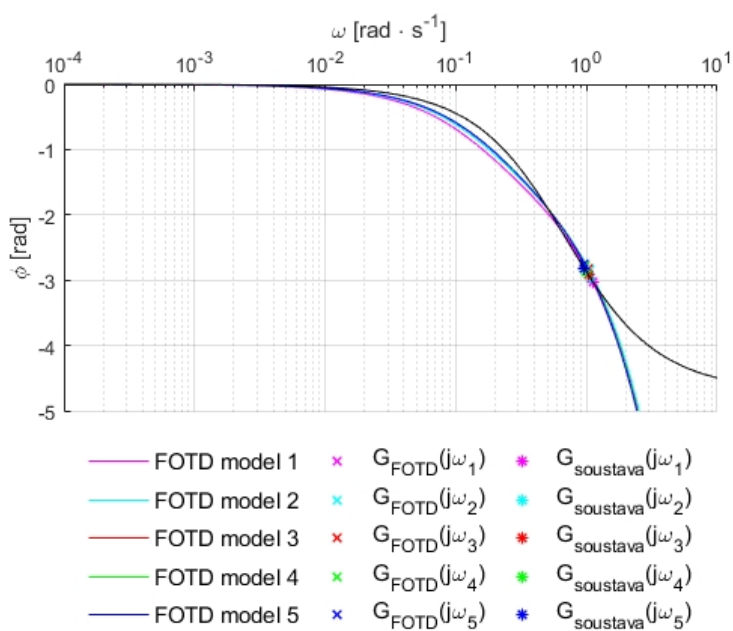


Obrázek 12.4: Porovnání Nyquistovy frekvenční charakteristiky simulované soustavy (černě) a frekvenčních charakteristik určených FOTD modelů.

Nyquistovy charakteristiky určených modelů si jsou velmi podobné, avšak od charakteristiky simulované soustavy se odlišují.



Obrázek 12.5: Porovnání amplitudové frekvenční charakteristiky simulované soustavy (černě) a frekvenčních charakteristik určených FOTD modelů.



Obrázek 12.6: Porovnání fázové frekvenční charakteristiky simulované soustavy (černě) a frekvenčních charakteristik určených FOTD modelů.

Amplitudové frekvenční charakteristiky určených modelů jsou téměř totožné. Mají však jiný sklon než frekvenční charakteristika simulované soustavy. Frekvenční

charakteristiky se protínají v bodě o frekvenci blízké frekvenci identifikace. V bodě identifikace je tedy amplituda určena dostatečně přesně.

Fázová frekvenční charakteristika simulované soustavy má nejprve mírný sklon. Sklon frekvenčních charakteristik určených modelů je výraznější. Později křivky klesají s podobným sklonem.

12.2 Testování na reálných soustavách

12.2.1 Identifikace soustavy „Teplovzdušný model“ – zapojení s ventilátorem

K soustavě „Teplovzdušný model“ bylo připojeno PLC v konfiguraci pro měření s ventilátorem. Velikost akční veličiny v pracovním bodě $u_0 = 2,3 V$. Parametry FOTD modelu určené programem pro reléovou identifikaci jsou uvedené v tabulce 12.3.

K	T	T_d	T_p	$\omega [rad/s]$
1,75561	6,741670	3,00000	9,890	0,635307

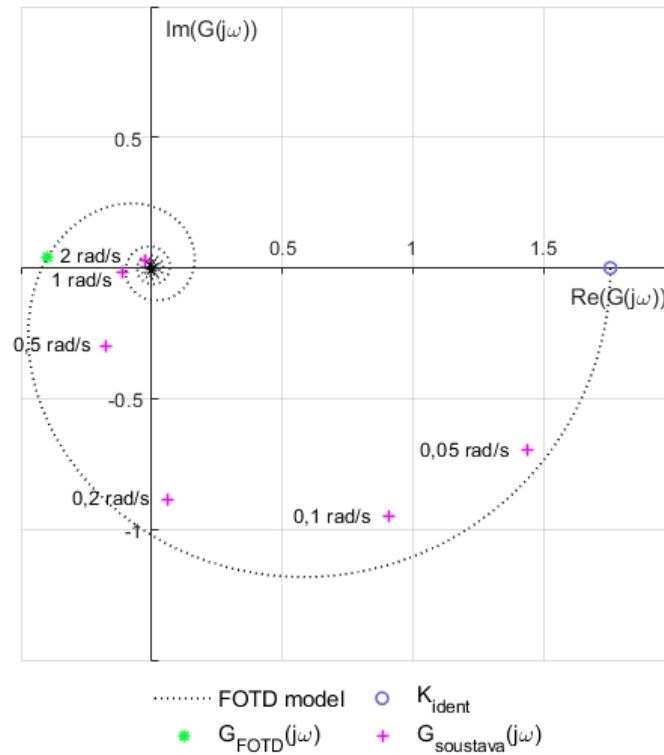
Tabulka 12.3: Parametry určeného FOTD modelu, perioda a frekvence identifikace.

Frekvenční charakteristiky určeného modelu byly porovnány s body frekvenční charakteristiky soustavy. Na nich jsou zobrazeny body s frekvencí odpovídající frekvenci identifikace.

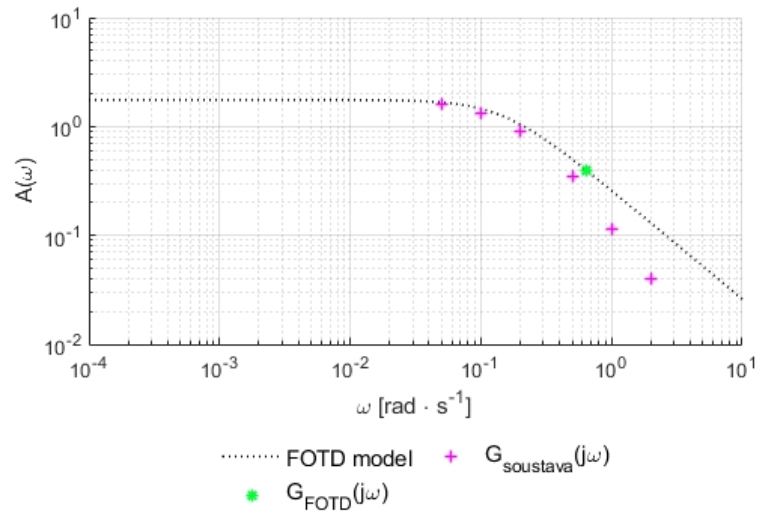
Nyquistova frekvenční charakteristika nalezeného modelu (obr. 12.7) je blízká frekvenční charakteristice soustavy pouze ve čtvrtém kvadrantu. Frekvenční chování modelu, jak je zobrazeno v Nyquistově frekvenční charakteristice, odpovídá soustavě s výraznějším dopravním zpožděním, než reálná soustava skutečně má. Jde však o jev, který se vyskytl i při identifikaci simulované soustavy. Zde je však patrnější.

Amplitudová frekvenční charakteristika modelu (obr. 12.8) má průběh, který napovídá, že statická citlivost soustavy byla určena správně. Sklon frekvenční charakteristiky modelu je pozvolnější, než na jaký je možné usuzovat z bodů frekvenční charakteristiky reálné soustavy.

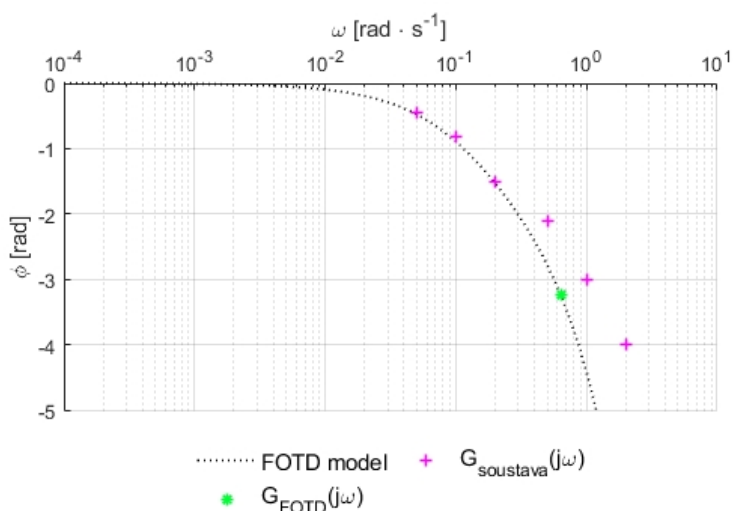
Fázová frekvenční charakteristika reálné soustavy (obr. 12.9) má mírnější sklon než frekvenční charakteristika určeného modelu.



Obrázek 12.7: Porovnání Nyquistovy frekvenční charakteristiky modelu s body Nyquistovy frekvenční charakteristiky soustavy.



Obrázek 12.8: Porovnání amplitudové frekvenční charakteristiky modelu s body amplitudové frekvenční charakteristiky soustavy.



Obrázek 12.9: Porovnání fázové frekvenční charakteristiky modelu s body fázové frekvenční charakteristiky soustavy.

12.2.2 Identifikace soustavy „Teplovzdušný model“ – zapojení se žárovkou

Soustava „Teplovzdušný tunel“ v zapojení se žárovkou byla identifikována v pracovním bodě daném hodnotou akční veličiny $u_0 = 3 \text{ V}$. Parametry určeného modelu jsou v tabulce 12.4.

K	T	T_d	T_p	ω [rad/s]
2,68891	7,67907	4,97777	16,480	0,381261

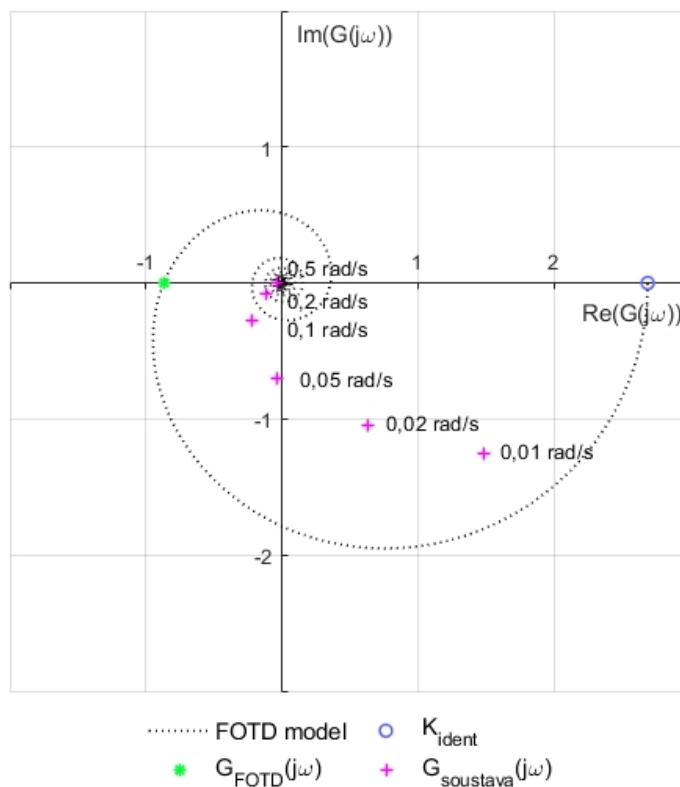
Tabulka 12.4: Parametry určeného FOTD modelu, perioda a frekvence identifikace.

Pro určený model byly vykresleny frekvenční charakteristiky pro porovnání s body frekvenční charakteristiky soustavy. Na frekvenčních charakteristikách jsou vyznačeny body odpovídající svou frekvencí frekvenci identifikace.

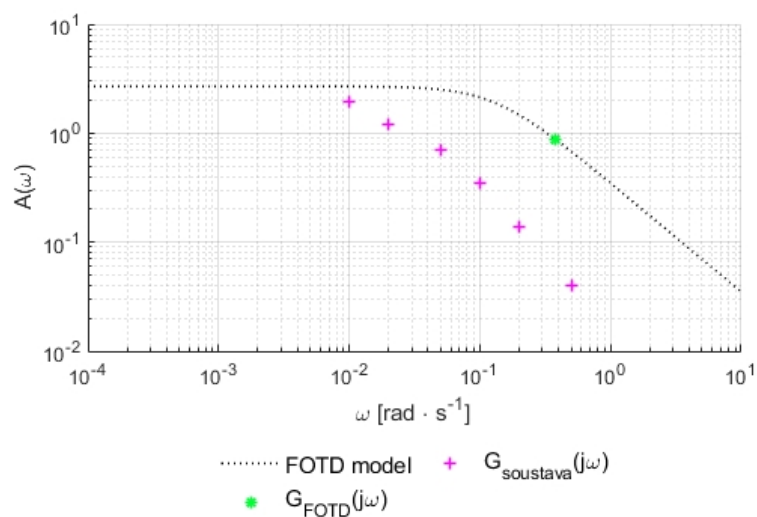
Průběh Nyquistovy frekvenční charakteristiky modelu ukazuje na větší dopravní zpoždění, než soustava skutečně vykazuje (obr. 12.10).

Amplitudová frekvenční charakteristika modelu má podobný sklon jaký pro soustavu naznačují body její amplitudové charakteristiky, avšak liší se hodnota časové konstanty, která je u soustavy zřejmě vyšší (obr. 12.11).

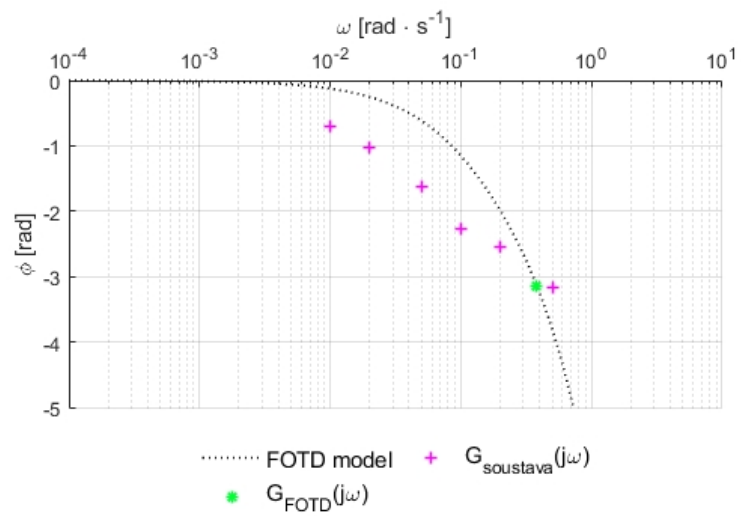
Fázová frekvenční charakteristika modelu je zcela jiná než by podle bodů frekvenční charakteristiky soustavy měla být, ale v okolí frekvence identifikace lze předpokládat, že se tyto frekvenční charakteristiky protínají (obr. 12.12).



Obrázek 12.10: Porovnání frekvenční charakteristiky modelu s body Nyquistovy frekvenční charakteristiky soustavy



Obrázek 12.11: Porovnání frekvenční charakteristiky modelu s body amplitudové frekvenční charakteristiky soustavy



Obrázek 12.12: Porovnání frekvenční charakteristiky modelu s body fázové frekvenční charakteristiky soustavy

Kapitola 13

Porovnání použitých metod

Z použitých metod se ukázaly prakticky použitelnými dvě – Určení parametrů modelu ze tří bodů Nyquistovy frekvenční charakteristiky s přidaným dopravním zpožděním a Určení modelu pro nastavení parametrů PI, PD a PID regulátorů. Proto budou porovnány výsledky těchto dvou metod.

13.1 Kritérium správné polohy bodů Nyquistovy frekvenční charakteristiky

Pro porovnání správnosti identifikace bylo zvoleno kritérium správné polohy bodů Nyquistovy frekvenční charakteristiky ve tvaru

$$x_c(G_{model}, G_{soustava}) = \frac{\sum_{i=1}^n x_i(G_{model}, G_{soustava})}{n}, \quad (13.1)$$

kde n je počet frekvencí, pro které kontrolujeme polohu bodů frekvenční charakteristiky, a x_i je

$$x_i(G_{model}, G_{soustava}) = \frac{|G_{model}(j\omega_i) - G_{soustava}(j\omega_i)|}{G_{soustava}(j\omega_i)}. \quad (13.2)$$

13.1.1 Simulovaná soustava

Relativní odchylky polohy bodů Nyquistovy frekvenční charakteristiky modelu od charakteristiky simulované soustavy jsou uvedené v tabulce 13.1. Průměrné relativní odchylky pak jsou v tabulce 13.2. Je zřejmé, že SOTD model kopíruje Nyquistovu frekvenční charakteristiku simulované soustavy lépe než FOTD model. V žádném z vypočtených případů není odchylka bodu SOTD modelu větší než odchylka FOTD modelu. S rostoucí frekvencí přesnost SOTD modelu klesá. Vývoj přesnosti FOTD modelu není monotónní, avšak u nejvyšší frekvence dosahuje v celkovém porovnání nejvyšší odchylky. Průměrná relativní odchylka bodů FOTD modelu 0,5438 je téměř šestkrát větší než relativní odchylka bodů SOTD modelu 0,0930.

ω [rad/s]	$x_i(G_{SOTD}, G_{soustava})$	$x_i(G_{FOTD}, G_{soustava})$
0,05	0,0060	0,0815
0,1	0,0117	0,1501
0,2	0,0216	0,2330
0,5	0,0256	0,2302
1	0,0747	0,1918
2	0,4184	2,3762

Tabulka 13.1: Relativní odchylky bodů Nyquistovy frekvenční charakteristiky modelů od bodů frekvenční charakteristiky simulované soustavy.

$x_c(G_{SOTD}, G_{soustava})$	$x_c(G_{FOTD}, G_{soustava})$
0,0930	0,5438

Tabulka 13.2: Celkové relativní odchylky bodů Nyquistovy frekvenční charakteristiky modelů od bodů frekvenční charakteristiky simulované soustavy.

13.1.2 Soustava „Teplovzdušný model“ – zapojení s ventilátorem

Pro soustavu „Teplovzdušný model“ – zapojení s ventilátorem byly určeny relativní odchylky bodů Nyquistovy frekvenční charakteristiky modelů od bodů soustavy (13.3) a jejich průměrná hodnota (13.4).

ω [rad/s]	$x_i(G_{SOTD}, G_{soustava})$	$x_i(G_{FOTD}, G_{soustava})$
0,05	0,2279	0,0761
0,1	0,3396	0,0296
0,2	0,3251	0,0932
0,5	0,5302	0,7288
1	0,8206	1,9724
2	1,5827	4,0584

Tabulka 13.3: Relativní odchylky bodů Nyquistovy frekvenční charakteristiky modelů od bodů frekvenční charakteristiky soustavy „Teplovzdušný model“ – zapojení s ventilátorem.

Při frekvencích menších než 0,5 rad/s vykazuje menší odchylky FOTD model. V ostatních frekvencích je přesnější SOTD model. Průměrná odchylka bodů FOTD modelu 1,1597 je téměř dvakrát větší než průměrná relativní odchylka bodů SOTD modelu 0,6377. Oproti simulované soustavě, kde jsou body Nyquistovy frekvenční charakteristiky soustavy určeny přesně, u reálné soustavy může být v důsledku chyby měření jejich poloha posunutá oproti skutečné. Uvažujme však, že tyto odchylky nejsou příliš velké.

$x_c(G_{SOTD}, G_{soustava})$	$x_c(G_{FOTD}, G_{soustava})$
0,6377	1,1597

Tabulka 13.4: Celkové relativní odchylky bodů Nyquistovy frekvenční charakteristiky modelů od bodů frekvenční charakteristiky soustavy „Teplovzdušný model“ – zapojení s ventilátorem.

13.1.3 Soustava „Teplovzdušný model“ – zapojení se žárovkou

Také pro identifikace soustavy „Teplovzdušný model“ v zapojení se žárovkou byly určeny relativní odchylky polohy bodů Nyquistovy frekvenční charakteristiky určených modelů od bodů frekvenční charakteristiky soustavy.

ω [rad/s]	$x_i(G_{SOTD}, G_{soustava})$	$x_i(G_{FOTD}, G_{soustava})$
0,01	0,0567	0,7670
0,02	0,1678	1,6265
0,05	0,1045	3,1737
0,1	0,3252	5,7167
0,2	0,1482	9,6478
0,5	0,2454	16,1486

Tabulka 13.5: Relativní odchylky bodů Nyquistovy frekvenční charakteristiky modelů od bodů frekvenční charakteristiky soustavy „Teplovzdušný tunel“ – zapojení s ventilátorem

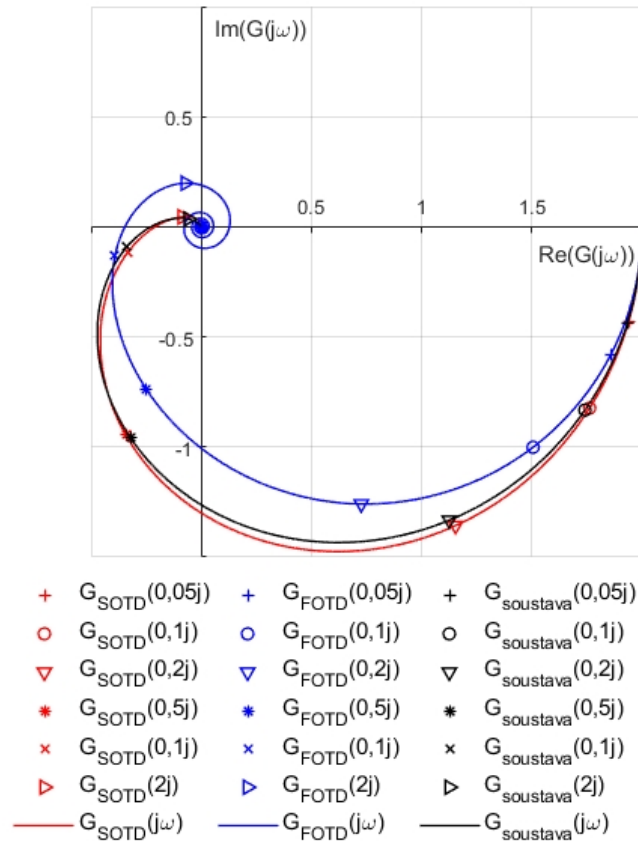
Vzhledem k nepřesně určenému FOTD modelu platí i v tomto případě, a zde je tento jev nejvýraznější, že relativní odchylky bodů frekvenční charakteristiky SOTD modelu jsou menší než odchylky FOTD modelu (tab. 13.5). V nejhorším případě je odchylka FOTD modelu téměř 95x větší než odchylka SOTD modelu. Logickým výstupem je, že průměrná relativní odchylka bodů SOTD modelu je více než 40x menší než průměrná relativní odchylka bodů FOTD modelu (tab. 13.6).

$x_c(G_{SOTD}, G_{soustava})$	$x_c(G_{FOTD}, G_{soustava})$
0,1746	6,1801

Tabulka 13.6: Celkové relativní odchylky bodů Nyquistovy frekvenční charakteristiky modelů od bodů frekvenční charakteristiky soustavy „Teplovzdušný tunel“ – zapojení se žárovkou

13.2 Porovnání frekvenčních charakteristik

13.2.1 Simulovaná soustava

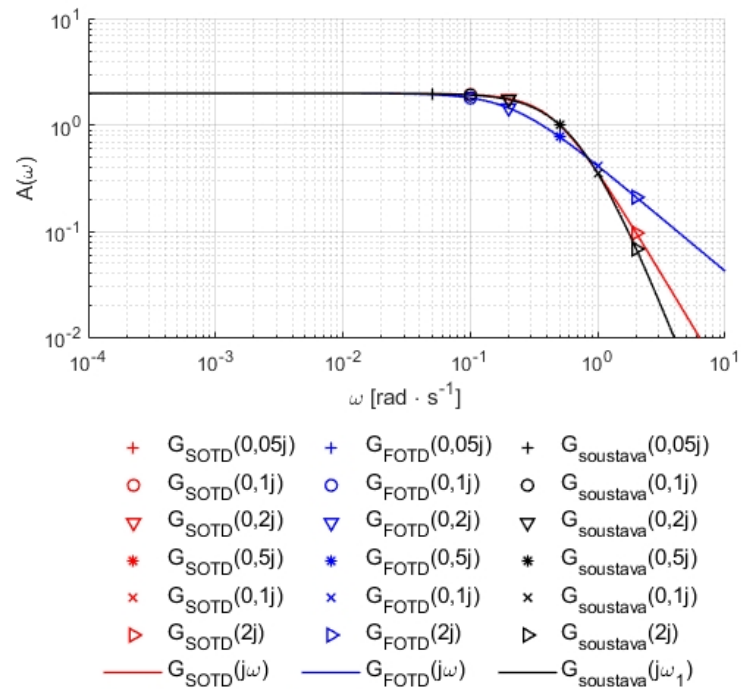


Obrázek 13.1: Porovnání Nyquistovy frekvenční charakteristiky simulované soustavy a frekvenčních charakteristik určených modelů.

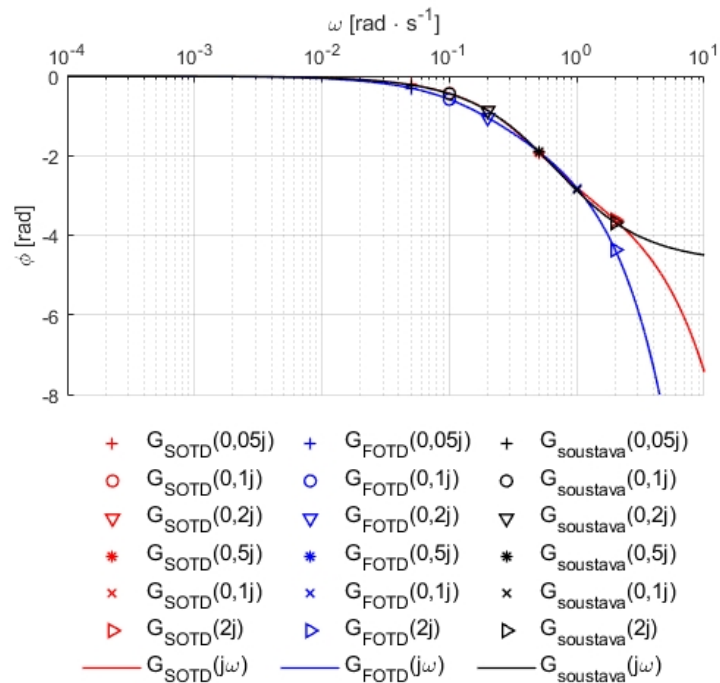
Na obrázku 13.1 jsou vykreslené Nyquistovy frekvenční charakteristiky modelů a soustavy. Na charakteristikách jsou vyznačené body, pro které byla v předchozí kapitole vyhodnocována přesnost polohy. SOTD model téměř odpovídá simulované soustavě. FOTD model je od soustavy odchýlený.

Amplitudová frekvenční charakteristika SOTD modelu odpovídá více charakteristice soustavy než FOTD model (obr. 13.2). Sklon amplitudových charakteristik je dán řádem soustavy. Amplitudová frekvenční charakteristika soustavy druhého řádu tedy logicky lépe aproximuje amplitudovou charakteristiku soustavy třetího řádu než soustava prvního řádu.

Fázová frekvenční charakteristika soustavy je dobře aproximována fázovými frekvenčními charakteristikami obou modelů asi do frekvence $\omega = 1 \text{ rad/s}$ (obr. 13.2). SOTD model pak kopíruje fázovou frekvenční charakteristiku soustavy až do frekvence $\omega = 2 \text{ rad/s}$.



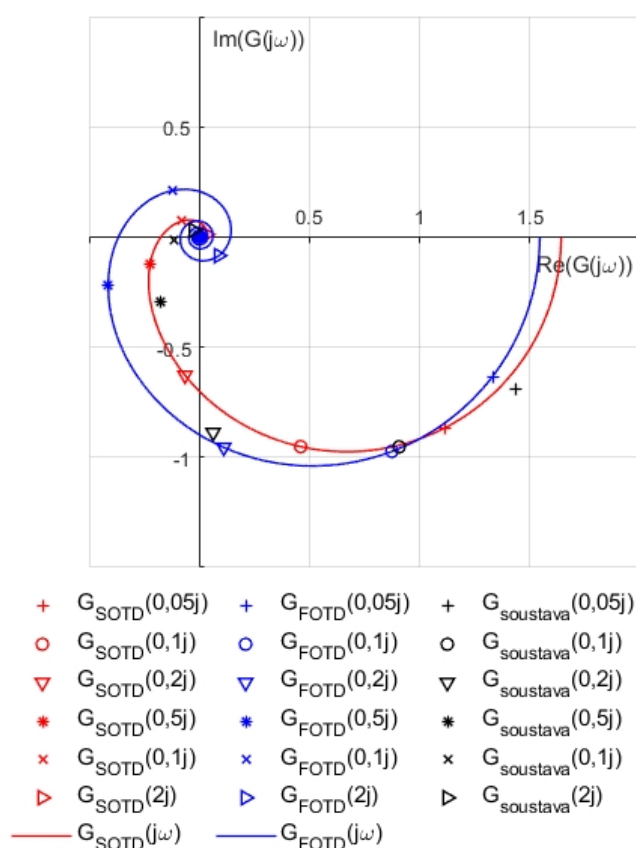
Obrázek 13.2: Porovnání amplitudové frekvenční charakteristiky simulované soustavy a frekvenčních charakteristik určených modelů.



Obrázek 13.3: Porovnání fázové frekvenční charakteristiky simulované soustavy a frekvenčních charakteristik určených modelů.

13.2.2 Soustava „Teplovzdušný model“ – zapojení s ventilátorem

Při porovnávání bodů frekvenčních charakteristik modelů a soustavy je třeba vzít v úvahu skutečnost, že body charakteristiky soustavy nemusí být určeny naprosto přesně. Navíc každá reálná soustava se může chovat odlišně v závislosti na stavu okolního prostředí, což je zde patrné na rozdílné hodnotě statické citlivosti (obr. 13.4). Ta by dle testů na simulované soustavě měla být určena přesně, avšak zde stejná metoda vedla ke dvěma rozdílným výsledkům. Rychlost růstu frekvence je u Nyquistovy frekvenční charakteristiky FOTD modelu bližší vývoji frekvence u charakteristiky soustavy než charakteristika SOTD modelu. Ta však má tvar bližší naměřeným bodům Nyquistovy frekvenční charakteristiky soustavy „Teplovzdušný model“ – zapojení s ventilátorem.

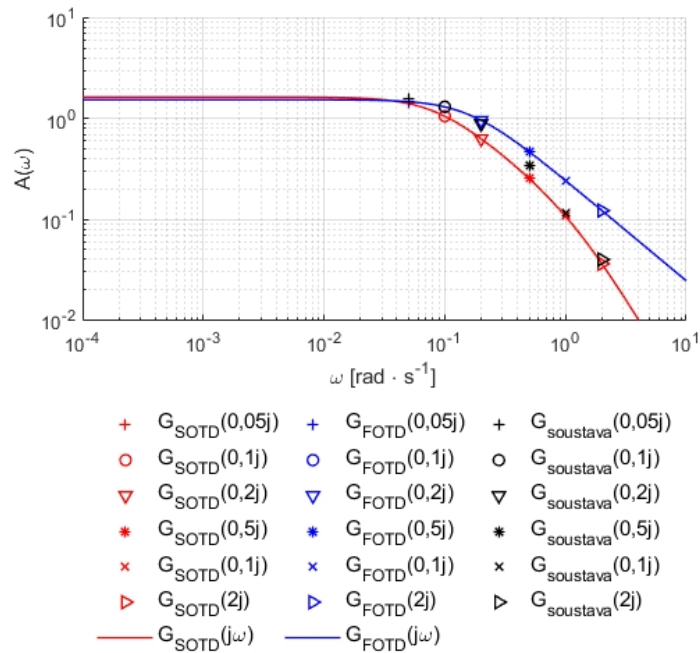


Obrázek 13.4: Porovnání Nyquistovy frekvenční charakteristiky soustavy „Teplovzdušný model“ – zapojení s ventilátorem a frekvenčních charakteristik určených modelů.

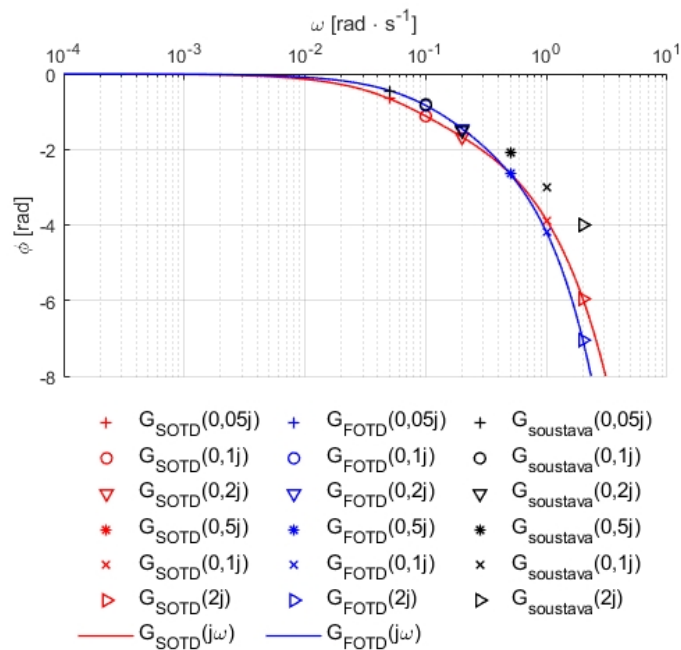
Amplitudová frekvenční charakteristika FOTD modelu kopíruje body frekvenční charakteristiky přibližně do frekvence $\omega = 0,4 \text{ rad/s}$ (obr. 13.5). Při růstu frekvence nad tuto hodnotu se od naměřených bodů frekvenční charakteristiky soustavy odchyluje a soustavu pak lépe aproximuje SOTD model.

Fázovou frekvenční charakteristiku soustavy kopíruje FOTD model do frekvence $\omega = 0,1 \text{ rad/s}$ a pak se se od ní odchyluje (obr. 13.6). Při vyšších frekvencích už je

bodům frekvenční charakteristiky soustavy bližší SOTD model.



Obrázek 13.5: Porovnání amplitudové frekvenční charakteristiky soustavy „Teplovzdušný model“ – zapojení s ventilátorem a frekvenčních charakteristik určených modelů.



Obrázek 13.6: Porovnání bodů fázové frekvenční charakteristiky soustavy „Teplovzdušný model“ – zapojení s ventilátorem a frekvenčních charakteristik určených modelů.

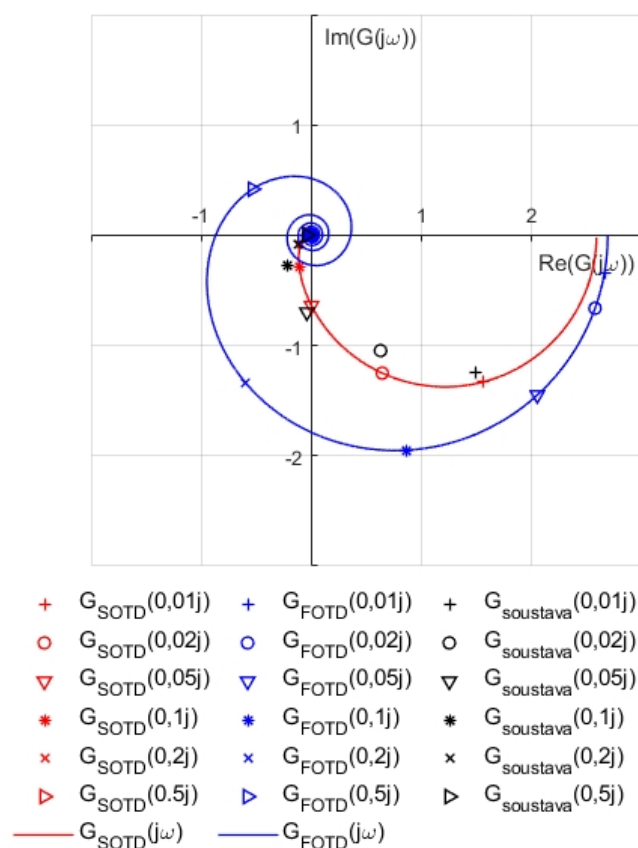
13.2.3 Soustava „Teplovzdušný model“ – zapojení se žárovkou

K porovnání přesnosti určených modelů byly vykresleny frekvenční charakteristiky obou modelů a vyznačeny body o stejných frekvencích, pro jaké byly naměřeny body frekvenčních charakteristik soustavy.

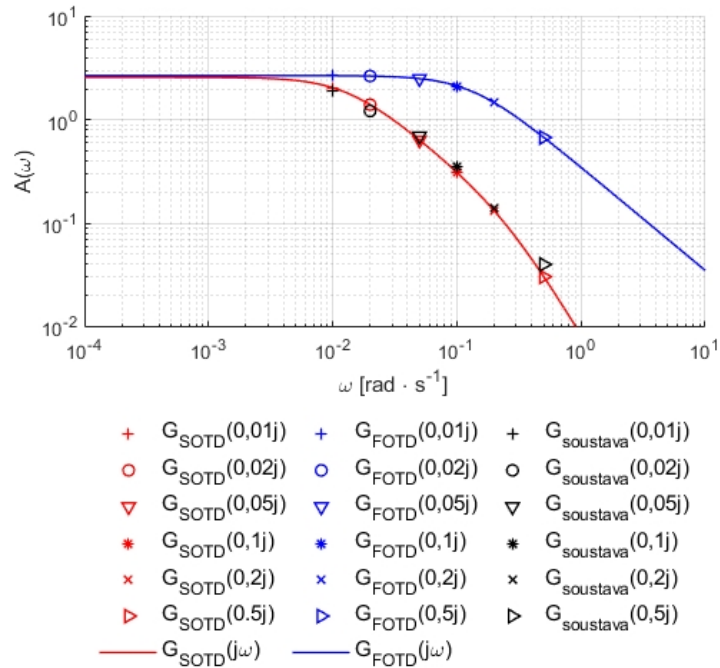
Nyquistova frekvenční charakteristika FOTD modelu se značně liší od bodů frekvenční charakteristiky soustavy (obr. 13.7). Zato určený SOTD model se velmi blíží naměřeným bodům frekvenční charakteristiky soustavy.

Z amplitudové frekvenční charakteristiky je patrné, že SOTD model popisuje závislost amplitudy kmitu soustavy na frekvenci (obr. 13.8). Z průběhů je možné usuzovat, že i časové konstanty SOTD modelu byly určeny dostatečně přesně. Oproti tomu je patrné, že časová konstanta FOTD modelu je nižší, než by podle bodů frekvenční charakteristiky soustavy měla být.

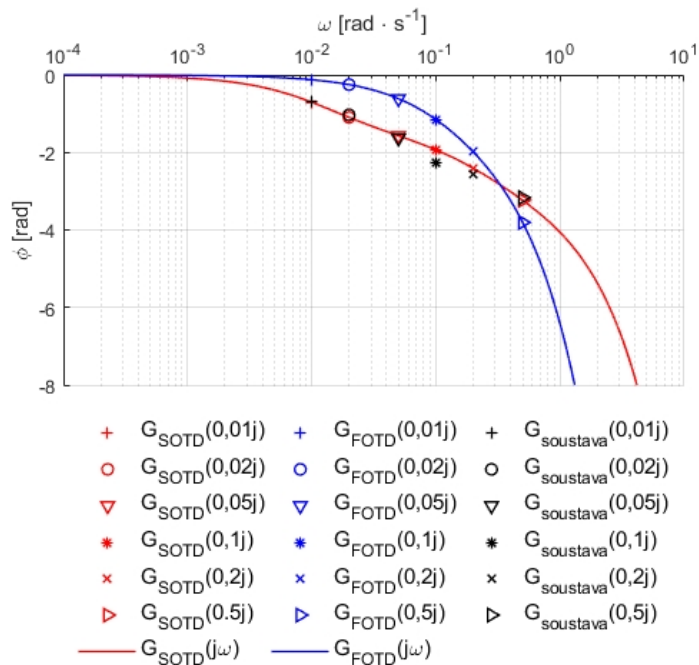
Fázová frekvenční charakteristika FOTD modelu popisuje soustavu dobře pouze v okolí frekvence $\omega = 0,3 \text{ rad/s}$ (obr. 13.9). SOTD model popisuje podle fázové frekvenční charakteristiky soustavu dobře.



Obrázek 13.7: Porovnání Nyquistovy frekvenční charakteristiky soustavy „Teplovzdušný model“ – zapojení se žárovkou a frekvenčních charakteristik určených modelů.



Obrázek 13.8: Porovnání amplitudové frekvenční charakteristiky soustavy „Teplo-vzdušný model“ – zapojení se žárovkou a frekvenčních charakteristik určených modelů.



Obrázek 13.9: Porovnání bodů fázové frekvenční charakteristiky soustavy „Teplovzdušný model“ – zapojení se žárovkou a frekvenčních charakteristik určených modelů.



Část V

Příprava funkčního bloku reléové identifikace do knihovny iControlLib

Funkční blok je jednou ze tří organizačních jednotek pro programování PLC. Dalšími organizačními jednotkami jsou funkce a programy.

13.3 Funkční blok dle standardu IEC EN 61 131–3

Pokud postupujeme podle standardu IEC EN 61 131–3, pak je funkčním blokem myšlena organizační jednotka programu, která po proběhnutí vrátí jednu nebo i více hodnot. Tím se odlišuje od funkce, která vrací pouze jednu hodnotu. Při použití funkčního bloku v programu se vytváří jeho instance. Tedy kopie, která má přiřazený identifikátor – jméno a také datovou strukturu. Ta obsahuje vstupní, vnitřní a výstupní proměnné, které mohou být i typu struktura. Všechny hodnoty proměnných funkčního bloku se v paměti zachovávají, dokud je nepřepíše další chod funkčního bloku. Instance funkčního bloku je třeba vytvořit deklarací ve třídě *VAR* nebo *VAR_GLOBAL*. Pokud funkční blok není deklarován jako globální, je dostupný pouze v té organizační jednotce (funkce, funkční blok, program), kde je deklarován. V rámci této jednotky může být používán opakovaně [11].

Při použití funkčního bloku vidíme hodnoty pouze vstupních a výstupních veličin. Hodnoty vnitřních veličin nejsou přístupné. Dále není povoleno přiřadit hodnotu výstupu funkčního bloku. To může provést jen funkční blok sám. Přiřazení hodnoty vstupu funkčního bloku je možné provést kdykoliv v nadřazené organizační jednotce a je typicky součástí volání funkčního bloku.

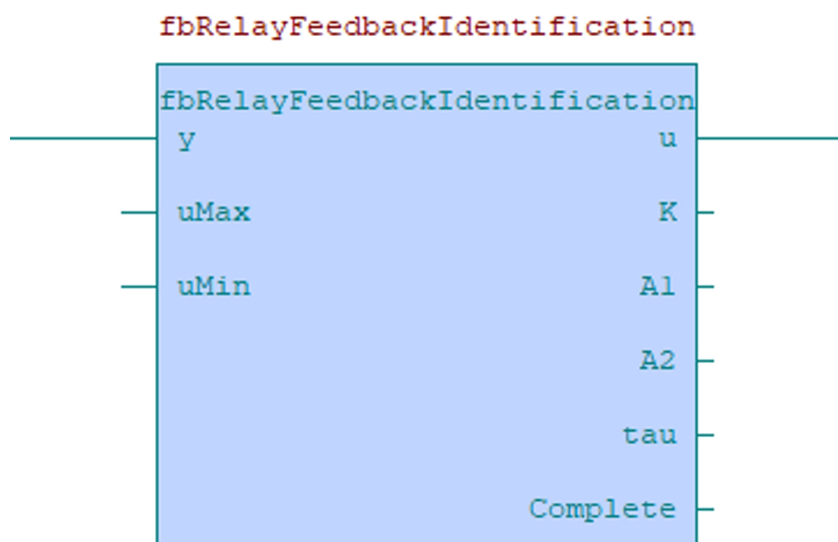
13.4 Deklarace funkčního bloku

Deklarace funkčního bloku začíná klíčovým slovem *FUNCTION_BLOCK* a končí klíčovým slovem *END_FUNCTION_BLOCK*. Funkční blok může mít více výstupních parametrů. Ty se deklarují ve třídě *VAR_OUTPUT*. Proměnné předávané funkčnímu bloku deklarované ve třídě *VAR_INPUT* není možné uvnitř funkčního bloku měnit. K tomu slouží proměnné deklarované jako *VAR_IN_OUT* nebo *VAR_EXTERNAL*. Hodnoty takových proměnných mohou být uvnitř funkčního bloku měněny. K deklaraci vstupních proměnných je také možné použít kvantifikátory *R_EDGE* a *F_EDGE*. Ty označují funkci pro detekci hran a jsou určeny pro vstupy typu *BOOL*. Pro deklaraci hodnot vstupů funkčního bloku se používá stejná konstrukce jako pro inicializaci funkcí [11].

13.5 Funkční blok reléové identifikace

Z programu reléové identifikace se funkční blok vytvoří předeklarováním proměnných a změnou klíčových slov programu na klíčová slova funkčního bloku. Proměnné, které se zadávaly pomocí webového rozhraní, je třeba uložit jako prvky třídy *VAR_INPUT* stejně jako hodnotu regulované veličiny *y*. Výstupy, tedy prvky třídy *VAR_OUTPUT*, budou parametry modelu a akční veličina *u*. Dále je třeba mezi výstupy funkčního bloku přidat proměnnou typu *BOOL* ukazující na ukončení identifikace. Takto vytvořený funkční blok je možné vložit do knihovny Mosaicu. Je

však třeba zajistit, aby měl dostupné funkční bloky a funkce, které sám používá. To je možné řešit přidáním funkčních bloků *fbstabilization*, *fbWebInputControl* a *fbvypocetparametru* do jiné knihovny, která bude vázána ke knihovně *iControlLib*, nebo přidáním funkčních bloků přímo do knihovny. Vytvořený funkční blok reléové identifikace ze tří bodů Nyquistovy frekvenční charakteristiky se jmenuje *fbRelayFeedbackIdentification* a po vložení do knihovny *iControlLib* [19] spolu s ostatními funkčními bloky, je připravený k používání v dalších programech.



Obrázek 13.10: Zobrazení vytvořeného funkčního bloku *fbRelayFeedbackIdentification* v jazyce FBD.



Část VI

Závěr

V rámci této práce byly vybrány tři metody reléové identifikace k naprogramování pro PLC Tecomat Foxtrot. Jedná se o určení parametrů modelu ze tří bodů Nyquistovy frekvenční charakteristiky [7], určení parametrů modelu ze tří bodů Nyquistovy frekvenční charakteristiky s přidaným dopravním zpožděním [8] a určení modelu pro nastavení parametrů PI, PD a PID regulátorů [9]. Zvolené metody jsou vhodné pro identifikaci SISO systémů. Pro komunikaci mezi PLC a soustavou tedy slouží jeden analogový vstup a jeden analogový výstup se shodným napětovým rozsahem 0 – 10 V.

Podle zvolených metod byly napsány programy reléové identifikace v jazyce structured text, který podléhá standardu IEC EN 61 131–3. Jejich výstupem je u metody identifikace ze tří bodů frekvenční charakteristiky s dopravním zpožděním i bez dopravního zpoždění SOTD model. U identifikace k určení modelu pro výpočet parametrů PI, PD nebo PID regulátorů pak FOTD model. Jde o modely s dopravním zpožděním. Přidání dopravního zpoždění k modelu nižšího řádu při identifikaci soustavy vyššího řádu je běžným postupem.

Napsané programy byly testovány na simulované soustavě třetího řádu a na laboratorní soustavě Teplovzdušný model ve dvou variantách zapojení – v zapojení s ventilátorem a se žárovkou. Při použití určení parametrů modelu ze tří bodů frekvenční charakteristiky byly určeny body Nyquistovy frekvenční charakteristiky. Jejich poloha však byla taková, že výpočet parametrů modelu selhal a bylo by třeba hledat jinou cestu pro určení parametrů modelu. Nejspíše by bylo nutné použít některou numerickou metodu výpočtu. Tím bychom ale přišli o jednoduchost metody, která je jedním ze základních požadavků pro práci s PLC. Při použití vylepšené metody určení parametrů modelu ze tří bodů Nyquistovy frekvenční charakteristiky s přidaným dopravním zpožděním byl model určen ve všech případech. Také metoda určení modelu pro výpočet parametrů PI, PD a PID regulátorů identifikovala soustavu ve všech případech.

Pro určené modely byla vykreslena porovnání jejich frekvenčních charakteristik a charakteristik soustavy, respektive frekvenčních charakteristik modelů a bodů frekvenčních charakteristik soustavy. Přesnost identifikace soustav byla posouzena pomocí kritéria pro správnost polohy bodů Nyquistovy frekvenční charakteristiky. Z těchto porovnání vychází jako lepší metoda určení parametrů modelu ze tří bodů Nyquistovy frekvenční charakteristiky s přidaným dopravním zpožděním. Skutečnost, že určení modelu pro výpočet parametrů PI, PD a PID regulátorů nenachází tak přesné modely, může být dána použitím FOTD modelu, který není schopný sledovat průběh amplitudy soustavy vyššího řádu tak dobře, jako SOTD model. K použití složitějšího modelu nebylo přikročeno proto, že pak by bylo nutné k výpočtu jeho parametrů použít některou z numerických metod výpočtu. Fázové frekvenční charakteristiky určených FOTD modelů odpovídaly charakteristikám soustav srovnatelným způsobem s fázovými frekvenčními charakteristikami SOTD modelů. Proto je možné usuzovat, ale nutné otestovat, zda by tato metoda neidentifikovala výrazně úspěšněji soustavy s chováním blízkým systémům prvního řádu.

Program určení parametrů modelu ze tří bodů frekvenční charakteristiky byl přepracován ve funkční blok pro vložení do knihovny iControlLib programovacího prostředí Mosaic.



Přílohy

Příloha A

Literatura

- [1] ZIEGLER, John G., NICHOLS, Nathaniel B. *Optimum settings for automatic controllers*. Trans. ASME. 1943, Volume 65, str. 433–444.
- [2] TSYPKIN, Yakov Zalmanovich. *Releinye avtomaticheskie sistemy*. Vydavatelství Nauka, Moskva, 1974.
- [3] ÄSTRÖM, Karl J., HÄGGLUND, Tore. *Advanced PID Control*. ISA - The Instrumentation, Systems and Automation Society, 2006.
- [4] BERNER, Josefin, HÄGGLUND, Tore, ÄSTRÖM Karl J. *Improved relay autotuning using normalized time delay*. In *American Control Conference (ACC)*. Boston, 2016, str. 1869–1875.
- [5] HOFREITER, Milan. *Shifting Method for Relay Feedback Identification*. In *IFAC Conference on Manufacturing Modelling, Management and Control*, 28.–30. červen, Troyes, 2016.
- [6] CHIDAMBARAM M., Sathe V. *Relay Autotuning for Identification and Control*. Cambridge University Press, Cambridge, 2014.
- [7] HOFREITER, Milan. *Biased-Relay Feedback Identification for Time Delay Systems*. IFAC-PapersOnLine, Elsevier. 2017, Volume 50, Issue 1, str. 15185–15190.
- [8] HOFREITER, Milan. *Alternative Identification Method using Biased Relay Feedback*, přijato na The 2018 IFAC Symposium on Information Control Problems in Manufacturing (INCOM 2018), Bergamo, 2018.
- [9] BERNER, Josefin. *Automatic Tuning of PID Controllers based on Asymmetric Relay Feedback*. Lund, 2015. Disertační práce. Lund university, Lund Institute of Technology, Department of Automatic Control, 2015.
- [10] *PLC Tecomat Foxtrot – základní moduly. CP-1005, CP-1015.* [online]. [cit.8.6.2018]. Dostupné z: <https://www.tecomat.cz/modules/DownloadManager/download.php?alias=foxtrot-cz-cp-1005>.
- [11] *Návoděda programu Mosaic*. Verze 2017.2. [cit.8.6.2018]

- [12] *Automa – časopis pro automatizační techniku: Esperanto programátorů PLC: programování podle normy IEC/EN 61131-3*. ISSN 1210-9592.
- [13] HORNYCHOVÁ, Alžběta. *Odhad parametru anisochronního modelu ze zadaných bodů frekvenční charakteristiky*. Praha. Bakalářská práce. ČVUT v Praze, Fakulta strojní. Vedoucí práce Milan Hofreiter, 2016.
- [14] HORNYCHOVÁ, Alžběta. *Určení parametrů anisochronního modelu soustavy pomocí relové identifikace a diferenciální evoluce*. In *Studentská tvůrčí činnost*. Praha, 2017. ISBN 978-80-01-06421-4.
- [15] HORNYCHOVÁ, Alžběta. *Reléová identifikace v uzavřené regulační smyčce pomocí programovatelného automatu Tecomat Foxtrot*. In *Studentská tvůrčí činnost*. Praha, 2018. ISBN 978-80-01-06421-4.
- [16] *OSCAT BASIC:LIBRARY Documentation In English, Version 3.33*. [online]. [cit.15.4.2018]. Dostupné z: https://www.tecomat.cz/uploads/files/sw/Mosaic/OSCAT/oscat_basic333_en.pdf.
- [17] *Knihovna pro modelování procesů*. [online]. [cit.12.4.2018]. Dostupné z: https://www.tecomat.cz/modules/DownloadManager/download.php?alias=txv00344_01_mosaic_modellib_cz.
- [18] *Teplovzdušný model. Návodů na laboratorní cvičení z automatického řízení*. [online]. [cit.19.3.2018]. Dostupné z: <http://vlab.fs.cvut.cz/navody/files/tvm.pdf>.
- [19] *Knihovna iControlLib*. [online]. [cit.12.4.2018]. Dostupné z: https://www.tecomat.cz/uploads/files/DOCS/cze/TXV00359_01_Mosaic_iControlLib.pdf.

Příloha B

Seznam použitých zkratk a symbolů

A

a_1 – časová konstanta SOTD modelu
 a_2 – časová konstanta SOTD modelu

B

$button_{IsPresed}$ – proměnná ukazující na stisknutí tlačítka start

C

CFC – jazyk plovoucích schémat (Continuous flow chart)
CIB – sběrnice Common installation bus
 $currentTime$ – aktuální čas

D

d_1 – odchylka akční veličiny v horní polovině relé od pracovního bodu
 d_2 – odchylka akční veličiny ve spodní polovině relé od pracovního bodu
 $divisionT_dT$ – podíl dopravního zpoždění a časové konstanty

E

e – regulační odchylka
 $exponentialTimeSpan$ – čas od počátku exponenciálního růstu akční veličiny

F

FBD – jazyk funkčního blokového schématu (Function block diagram)
fbFirstOrder – funkční blok ro simulaci soustavy prvního řádu

fbstabilization – funkční blok pro kontrolu ustálení soustavy
 fbWebInputControl – funkční blok pro kontrolu správnosti zadaných parametrů regulace
 FOTD – model prvního řádu s dopravním zpožděním (First order time delayed model)

G

G – statická citlivost simulované soustavy
 G_1 – bod Nyquistovy frekvenční charakteristiky s frekvencí ω_1
 G_2 – bod Nyquistovy frekvenční charakteristiky s frekvencí ω_2
 $G(j\omega_1)$ – bod Nyquistovy frekvenční charakteristiky s frekvencí ω_1
 $G(j\omega_2)$ – bod Nyquistovy frekvenční charakteristiky s frekvencí ω_2
 $G(j\omega_u)$ – bod Nyquistovy frekvenční charakteristiky s frekvencí ω_u
 $G(j\omega_{u2})$ – bod Nyquistovy frekvenční charakteristiky s frekvencí ω_{u2}
 $G(s)$ – Laplaceův přenos modelu soustavy

H

h – mez hystereze relé
 H – rozsah hodnot výstupu relé
 h_1 – horní mez hystereze relé
 h_2 – dolní mez hystereze relé
 $hysteresis_{HighValue}$ – mez hystereze relé nad pracovním bodem
 $hysteresis_{LowValue}$ – mez hystereze relé pod pracovním bodem

I

IFOTD – model prvního řádu s integrací s dopravním zpožděním (Integrating plus first order time delayed model)
 IL – jazyk seznamu instrukcí (Instruction list)
 $\text{Im}(G(j\omega))$ – imaginární souřadnice bodu Nyquistovy frekvenční charakteristiky
 $indexIntegral$ – index pole při integraci
 $indexShiftIntegral$ – index pole při integraci posunutý o půl periody
 $integralExponent1$ – exponent v integraci při výpočtu bodu s frekvencí identifikace
 $integralExponent2$ – exponent v integraci při výpočtu bodu s dvojnásobnou frekvencí vzhledem k frekvenci identifikace
 $integral_{U1}$ – výsledek integrálu z akční veličiny při frekvenci integrace
 $integral_{U2}$ – výsledek integrálu z akční veličiny při dvojnásobku frekvence integrace
 $integral_{Y1}$ – výsledek integrálu z akční veličiny při frekvenci integrace
 $integral_{Y2}$ – výsledek integrálu z akční veličiny při dvojnásobku frekvence integrace
 ITD – integrační model s dopravním zpožděním (Integrating time delayed model)
 I_u – integrál z akční veličiny přes jednu periodu kmitu
 I_y – integrál z regulované veličiny přes jednu periodu kmitu

K

K – statická citlivost soustavy

L

LCD – displej z tekutých krystalů (Liquid crystal display)

LD – jazyk příčkového diagramu (Ladder diagram)

leadingEdgeCounter – čítač náběžných hran

leadingEdgeRTC – čas náběžné hrany

leadingEdgeRtcTemp – pomocný čas náběžné hrany

M

MMC – označení pro typ paměťové karty (Multimedia card)

N

noiseMax – maximální absolutní hodnota šumu

P

PD – proporcionálně derivační (regulátor)

PI – proporcionálně integrační (regulátor)

PID – proporcionálně integračně derivační (regulátor)

PLC – programovatelný automat (Programmable logic controller)

R

RISC – architektura procesorů s omezenou instrukční sadou (Reduced instruction set computer)

RTC – hodiny reálného času (Real time clock)

$\text{Re}(G(j\omega))$ – reálná souřadnice bodu Nyquistovy frekvenční charakteristiky

S

s – Laplaceův operátor

samplingArrayColumnIndex – index sloupce, kam se mají ukládat data z aktuální periody

samplingArrayColumnNeighbour1Index – index sloupce, kam se ukládala data v jedné ze dvou předcházejících period

samplingArrayColumnNeighbour2Index – index sloupce, kam se ukládala data

v jedné ze dvou předcházejících period
samplingArrayIndex – index řádku ve sloupci pole, kam se má uložit vzorek
samplingArrayLastIndex – index řádku ve sloupci pole, kam se uložil poslední vzorek
samplingArrayLastIndexes – počet uložených vzorků
samplingPeriodTimeSpan – vzořkovací perioda
SD – označení pro typ paměťových karet (Secure Digital)
SFC – jazyk sekvenčního přechodového diagramu (Sequential function chart)
SISO – systém typu jeden vstup – jeden výstup (Single input single output)
SOTD – model druhého řádu s dopravním zpožděním (Second order time delayed model)
SOTD_{A1} – časová konstanta SOTD modelu
SOTD_{A2} – časová konstanta SOTD modelu
SOTD_K – statická citlivost SOTD modelu
SOTD_τ – dopravní zpoždění SOTD modelu
ST – jazyk strukturovaného textu (Structured text)
Start – tlačítko pro spuštění identifikace
StartExponentialTime – čas počátku exponenciálního růstu akční veličiny

T

T časová konstanta modelu prvního řádu s dopravním zpožděním, jinde vzorkování simulované soustavy
tauIndexIntegral – čas při integraci
t₁ – čas, po který je relé v horní poloze
t₂ – čas, po který je relé ve spodní poloze
T₁ – čas, po který je relé v horní poloze
T_{1Temp} – pomocný čas, po který je relé v horní poloze
T₂ – čas, po který je relé ve spodní poloze
T_{2Temp} – pomocný čas, po který je relé ve spodní poloze
tempBool – dočasná hodnota typu BOOL
tempBool2 – dočasná hodnota typu BOOL
tempCounter – dočasný čítač
tempDataTime – dočasná hodnota typu DATE AND TIME
tempReal – dočasná hodnota typu REAL
tempSum – suma pro výpočet průměrné hodnoty regulované veličiny
T_d – dopravní zpoždění
TimerForDelay – časovač pro zpoždění spádové a náběžné hrany
t_{off} – čas po který je relé ve spodní poloze
t_{on} – čas po který je relé v dolní poloze
t_p – perioda kmitu
T_{period} – perioda kmitu
trafficDelay – zpoždění spádové a náběžné hrany
trailingEdgeCounter – čítač spádových hran
trailingEdgeRTC – čas spádové hrany
trailingEdgeRtcTemp – pomocný čas spádové hrany

T_u – dopravní zpoždění vypočtené z bodu $G(j\omega_u)$
 T_{u2} – dopravní zpoždění vypočtené z bodu $G(j\omega_{u2})$
 t_{uy} – časový posuv mezi akční a regulovanou veličinou

U

u – akční veličina
 u_0 – hodnota akční veličiny v pracovním bodě
 u_1 – hodnota akční veličiny při horní poloze relé
 u_2 – hodnota akční veličiny při spodní poloze relé
 $u_a(t)$ – průběh akční veličiny při dvojnásobné frekvenci identifikace
 u_{K1} – hodnota akční veličiny v bodě blízkém pracovnímu bodu
 u_{K2} – hodnota akční veličiny v bodě blízkém pracovnímu bodu potažmo v pracovním bodě
 $u_{MaxValue}$ – horní mezní hodnota akční veličiny
 $u_{MinValue}$ – spodní mezní hodnota akční veličiny
 u_{off} – hodnota akční veličiny při spodní poloze relé
 u_{on} – hodnota akční veličiny při horní poloze relé
 $u_{sampleComplex1}$ – vzorek akční veličiny ve formátu komplexního čísla pro výpočet bodu frekvenční charakteristiky s frekvencí identifikace
 $u_{sampleComplex2}$ – vzorek akční veličiny ve formátu komplexního čísla pro výpočet bodu frekvenční charakteristiky s frekvencí dvojnásobnou k frekvenci identifikace
 $u_{samplingArray}$ – pole pro ukládání vzorků akční veličiny ve třech po sobě následujících periodách
 $u(t)$ – hodnota akční veličiny v čase
 $u(t^{-1})$ – hodnota akční veličiny v předchozím čase
 $u_{ValueTemp}$ – dočasná hodnota akční veličiny při určování parametrů relé
 $u_{ValueTemp2}$ – dočasná hodnota akční veličiny při určování parametrů relé

W

w – žádaná veličina

x

x – koeficient pro výpočet velikosti zpoždění spádové a náběžné hrany

Y

y – regulovaná veličina
 y_0 – hodnota regulované veličiny v pracovním bodě
 y_A – amplituda kmitů regulované veličiny
 $y_a(t)$ – průběh regulované veličiny při dvojnásobné frekvenci identifikace

y_{K1} – hodnota akční veličiny v bodě blízkém pracovnímu bodu

y_{K2} – hodnota akční veličiny v bodě blízkém pracovnímu bodu potažmo v pracovním bodě

$y_{MaxHighDeviation}$ – maximální výchylka regulované veličiny nad pracovní bod

$y_{MaxLowDeviation}$ – maximální výchylka regulované veličiny pod pracovní bod

$y_{sampleComplex1}$ – vzorek regulované veličiny ve formátu komplexního čísla pro výpočet bodu frekvenční charakteristiky s frekvencí identifikace

$y_{sampleComplex2}$ – vzorek regulované veličiny ve formátu komplexního čísla pro výpočet bodu frekvenční charakteristiky s frekvencí dvojnásobnou k frekvenci identifikace

$y_{samplingArray}$ – pole pro ukládání vzorků regulované veličiny ve třech po sobě následujících periodách

$y_{samplingArrayDiffA}$ – rozdíl mezi vzorky regulované veličiny ve dvou periodách

$y_{samplingArrayDiffB}$ – rozdíl mezi vzorky regulované veličiny ve dvou periodách

$y_{samplingArrayDiff01}$ – rozdíl mezi vzorky regulované veličiny ve dvou periodách

$y_{samplingArrayDiff02}$ – rozdíl mezi vzorky regulované veličiny ve dvou periodách

$y_{samplingArrayDiff12}$ – rozdíl mezi vzorky regulované veličiny ve dvou periodách

$y(t)$ – hodnota regulované veličiny v čase

■ γ

γ – stupeň asymetrie relé

■ φ

φ – fázový posuv [rad]

■ ρ

ρ – index poloviny periody

ρ_{Temp} – pomocný index poloviny periody

ρ_{uy} – fázový posuv mezi akční a regulovanou veličinou [rad]

■ τ

τ – normalizované dopravní zpoždění

τ_1 – časová konstanta anisochronního modelu [s]

τ_2 – časová konstanta anisochronního modelu [s]

τ_y – zpoždění hlavní zpětné vazby anisochronního modelu [s]

■ ω

ω – úhlová frekvence [rad]

ω_0 – nulová frekvence [rad/s]

ω_1 – frekvence identifikace [rad/s]

ω_2 – dvojnásobek frekvence identifikace [rad/s]

ω_u – frekvence identifikace [rad/s]

ω_{u2} – dvojnásobek frekvence identifikace [rad/s]



Příloha C

Skripty reléové identifikace a funkční bloky

Skripty reléové identifikace a funkční bloky jsou přiloženy v tomto pořadí:

Určení parametrů modelu ze tří bodů Nyquistovy frekvenční charakteristiky

Určení parametrů modelu ze tří bodů Nyquistovy frekvenční charakteristiky s přidaným dopravním zpožděním

Určení modelu pro nastavení parametrů PI, PD a PID regulátorů

fbwebInputValidation

fbstabilization

fbparametersOTD

fbRelayFeedbackIdentification

```

// Urceni parametru modelu ze tri bodu Nyquistovy frekvencni charakteristiky

VAR_GLOBAL RETAIN
  ySamplingArray : ARRAY [0..2, 0..1300] OF REAL; // vzorkovani prubehu
  regulovane veliciny
  uSamplingArray : ARRAY [0..2, 0..1300] OF REAL; //vzorkovani prubehu akcni
  veliciny
  samplingArrayLastIndexes : ARRAY [0..2] OF UINT; //pocety vzorku
  samplingArrayColumnIndex : USINT := 2; //index pouzivaného sloupce
  yK1 : REAL; // regulovana veličina v bode blizkem pracovnému bodu
  yK2 : REAL; // regulovana veličina v bode blizkem pracovnému bodu
  uK1 : REAL; // akcni veličina v bode blizkem pracovnému bodu
  uK2 : REAL; // akcni veličina v bode blizkem pracovnému bodu
  trailingEdgeIndex : ARRAY [0..2] OF UINT; //index na kterem doslo k prepnuti
  rele (u)
  currentLastIndex : UINT; // minuly index
END_VAR

VAR_GLOBAL CONSTANT
  BufferArrayLength : UINT := 1200;
END_VAR
VAR_GLOBAL
  //větrák + prutokomer
  (*
    prutokomer AT r0_p3_AI1.ENG : REAL; //vstup do PLC
    ventilator AT r0_p3_AO1.ENG : REAL; //vystup z PLC
    u AT ventilator : REAL; //akcni zasah
    y_puvodni AT prutokomer; //vystup soustavy
  *)
  //u : REAL :=0;
  //y : REAL;
  //zarovka + termistor
  //(
    termistor AT r0_p3_AI2.ENG : REAL; //vstup do PLC
    zarovka AT r0_p3_AO0.ENG : REAL; //vystup z PLC
    u AT zarovka : REAL; //akcni zasah
    y AT termistor; //vystup soustavy
  //*)
  //levitace
  (*
    prutokomer AT r0_p3_AI1.ENG : REAL; //vstup do PLC
    ventilator AT r0_p3_AO1.ENG : REAL; //vystup z PLC
    u AT ventilator : REAL; //akcni zasah
    y_puvodni AT prutokomer; //vystup soustavy
    y:REAL;
  *)
END_VAR

PROGRAM prgMain
  VAR_INPUT
  END_VAR
  VAR_OUTPUT
  END_VAR
  VAR
    leadingEdgeCounter : INT; // pocet nabeznych hran
    runningBlockCase : INT :=0; // aktualni blok kodu
    tempCounter : INT :=0; // pocet vzorku po detekci ustaleni (yk1, yk2)
    tempCounter2 : INT :=0; // citac
    trailingEdgeCounter : INT; // pocet sestupnych hran
    indexIntegral : UINT; // index pri integraci
    indexShiftIntegral : UINT; // posunuty index pri integraci (posuv = Tperiod/2)
    samplingArrayColumnNeighbour1Index : UINT; // index sousedního sloupce pole
    samplingArrayColumnNeighbour2Index : UINT; // index sousedního sloupce pole
    samplingArrayIndex : UINT; // index pri vzorkovani
    samplingArrayIndexOld : UINT; // puvodni index pri vzorkovani z predchoziho
    pruchodu
    buttonIsPressed : BOOL :=1; // input z buttonu
    tempBool : BOOL := false; // docasna bool hodnota
  
```

```

tempBool2 : BOOL := false; // docasna bool hodnota
samplingExit : bool := false; // priznak, zda opustit vzorkovani
hysteresisHighValue : REAL; // horni mez hystereze
hysteresisLowValue : REAL; // dolni mez hystereze
integralExponent1 : REAL; // exponent ve vzorci s integralem (realny)
integralExponent2 : REAL; // exponent ve druhem vzorci s integralem (realny)
K : REAL; // staticka citlivost
noiseMax : REAL; // maximalni sum
omega1 : REAL; // uhlova rychlost ve vzorci s integralem
omega2 : REAL; // uhlova rychlost ve druhem vzorci s integralem
samplingDelayMax : REAL; // maximalni zpozdeni pri vzorkovani pole (0;
samplingPeriodTimeSpan)
samplingDelaySum : REAL; // suma vseh zpozdeni pri vzorkovani pole
samplingDelaySumMax : REAL; // maximalni suma vseh zpozdeni pri samplovani
poli
samplingPeriodTimeSpan : REAL; // vzorkovaci perioda integratoru
sotdA1 : REAL; // casova konstanta modelu SOTD
sotdA2 : REAL; // druha casova konstanta modelu SOTD
sotdK : REAL; // staticka citlivost v modelu SOTD
sotdTau : REAL; // dopravní zpozdeni v modelu SOTD
tauIndexIntegral : REAL; // cas pri integraci
tempReal : REAL; // docasna promenna pro real
tempReal4 : REAL; // docasna promenna pro real
tempSum : REAL; // pomocna promenna pro vypocet prumeru vystupu
timeDiff : REAL; // pomocna promenna pro urcovani rozdilu casu
trafficDelay : REAL; // dopravní zpozdeni
T1 : REAL; // cas pro rele v horni poloze
T2 : REAL; // cas pro rele ve spodni poloze
Tperiod : REAL; // delka periody [ms]
u0 : REAL := 3; // vstup v pracovnim bode
uHighValue : REAL; // hodnota vstupu pri horni poloze rele
uLowValue : REAL; // hodnota vstupu pri spodni poloze rele
uMaxValue : REAL := 10; // maximalni hodnota vstupu
uMinValue : REAL := 0; // minimalni hodnota vstupu
y0 : REAL; // vystup v pracovnim bode
ySamplingArrayDiffSum : REAL; // suma rozdilu mezi namerenymi hodnotami Y v
poslednich trech pruchodech
ySamplingArraySum : REAL; // suma namerenych hodnot v poli Y
G1 : COMPLEX; // prvni bod Nyquistovy frekvencni charakteristiky v komplexni
rovine
G2 : COMPLEX; // druhy bod Nyquistovy frekvencni charakteristiky v komplexni
rovine
integralComplexExponent1 : COMPLEX; // komplexni exponent v prvni integralu
integralComplexExponent2 : COMPLEX; // komplexni exponent ve druhem integralu
integralU1 : COMPLEX; // vysledek celemo integralu ve jmenovateli 1. vzorce
integralU2 : COMPLEX; // vysledek celemo integralu ve jmenovateli 2. vzorce
integralY1 : COMPLEX; // vysledek celemo integralu v citateli 1. vzorce
integralY2 : COMPLEX; // vysledek celemo integralu v citateli 2. vzorce
uSampleComplex1 : COMPLEX; // vzorek v komplexni rovine ve jmenovateli 1.
vzorce
uSampleComplex2 : COMPLEX; // vzorek v komplexni rovine ve jmenovateli 2.
vzorce
ySampleComplex1 : COMPLEX; // vzorek v komplexni rovine v citateli 1. vzorce
ySampleComplex2 : COMPLEX; // vzorek v komplexni rovine v citateli 2. vzorce
leadingEdgeRtc : DATE_AND_TIME; // cas nabezne hrany
trailingEdgeRtc : DATE_AND_TIME; // cas sestupne hrany
tempDateTime : DATE_AND_TIME; // docasna promenna pro datetime
T0 : DATE_AND_TIME; // pocatek vzorkovaci periody
timer : TON; // casovac
timerForDelay : TON; //casovac pro zpozdeni nabezne a spadove hrany
webOutputString : STRING; // vystup na web
fb_webInputValidation : webInputValidation; //funkci blok pro kontrolu
zadanych udaju
fb_stabilization : fbstabilization; //funkcni blok pro kontrolu ustaleni
fb_parametrySOTD : fbparametrySOTD; //funkcni blok vypoctu parametru modelu
END_VAR
VAR_TEMP
END_VAR

```

```

CASE runningBlockCase OF

////////////////////////////////////
//////// nastaveni parametru a cekani na buttonIsDisabled //////////
////////////////////////////////////

00: // Init
    runningBlockCase := 01; // prechod do dalsiho CASE

01: // Main
    IF buttonIsPressed = TRUE THEN // kontrola stisknuti tlacitka
        fb_webInputValidation(minValue:= uMinValue, minOffset := -0.5, maxValue:=
uMaxValue, value:=u0, isValid => tempBool, message => webOutputString);
//volání podprogramu pro kontrolu zadaných parametru
        IF tempBool = FALSE THEN // kdyz jsou spatne zadane udaje
            buttonIsPressed := FALSE; //uvolnění tlacitka
        ELSE
            runningBlockCase := 10; // prechod do dalsiho CASE
        END_IF;
    END_IF;

////////////////////////////////////
//////// cekani na ustaleni //////////
////////////////////////////////////

10: // Init
    u:=u0-0.5; // nastavení vstupního napití pod pracovní bod, kvuli ureení
statické citlivosti
    runningBlockCase := 11; // prechod do dalsiho CASE

11: // Main
    fb_stabilization(vstup:=y, cas_mereni:= T#10s, ustaleno => tempBool); //
cekani na ustaleni vystupu
    IF tempBool = TRUE THEN // kdyz je vystup ustaleny
        runningBlockCase := 20; // prechod do dalsiho CASE
    END_IF;

////////////////////////////////////
//////// urceni u1 a y1 //////////
////////////////////////////////////

20: // Init
    tempCounter := 0; //vynulovani citace
    tempSum := 0; //vynulovani promenne
    runningBlockCase := 21; // prechod do dalsiho CASE

21: // Main
    timer(IN:=TRUE, PT:=T#1s); // casovac pro urceni prumerne hodnoty vystupu v
bode 1 pro urceni staticke citlivosti
    tempSum := tempSum+y; // suma vystupu po dobu behu casovace
    tempCounter := tempCounter+1; // pocet sectenych vystupu po dobu casovace
    IF timer.Q THEN // po uplynutí easovae
        timer(IN:=FALSE); // vynulování casovace
        yK1 := tempSum/INT_TO_REAL(tempCounter); // vypocet prumerne hodnoty
vystupu
        uK1 := u0 - 0.5; // hodnota akcni veliciny
        runningBlockCase := 30; // prechod do dalsiho CASE
    END_IF;

////////////////////////////////////
//////// cekani na ustaleni //////////
////////////////////////////////////

30: // Init
    u:=u0; //nastavení akcni veliciny na zadanou hodnotu, tj. pracovni bod
    runningBlockCase := 31; // prechod do dalsiho CASE

```



```

31: // Main
    fb_stabilization(vstup:=y, cas_mereni:= T#10s, ustaleno => tempBool); //
cekani na ustaleni vystupu
    IF tempBool = TRUE THEN // kdyz je ustaleny vystup
        runningBlockCase := 40; // prechod do dalsi faze programu
    END_IF;

////////////////////////////////////
//////////////////////////////////// urceni u2 a y2 //////////////////////////////////
////////////////////////////////////

40: // Init
    tempSum := 0; // vynulovani promenne
    tempCounter := 0; // vynulovani citace
    runningBlockCase := 41; // prechod do dalsiho CASE

41: // Main
    timer(IN:=TRUE, PT:=T#1s); // casovac pro vypocetni prumerne hodnoty vystupu
    tempSum := tempSum+y; // suma vzorku vystupu
    tempCounter := tempCounter+1; // pocet sectenych vystupu
    IF timer.Q THEN // kdyz casovac dobehne
        timer(IN:=FALSE); // nulovani casovace
        yK2 := tempSum/INT_TO_REAL(tempCounter); // vypocet prumerneho vystupu v
bode pro urceni staticke citlivosti
        uK2 := u0; // akcni velicina v bode pro urceni staticke citlivosti
        y0:=yK2; // regulovana velicina v pracovnim bode
        K:=(yK2-yK1)/(uK2-uK1); // vypocet hodnoty staticke citlivosti
        runningBlockCase:=50; // prechod do dalsiho CASE
    END_IF;

////////////////////////////////////
//////////////////////////////////// mereni sumu //////////////////////////////////
////////////////////////////////////

50: // Init
    noiseMax := 0; // vynulovani nejvyssi hodnoty vystupu
    runningBlockCase:=51; // prechod do dalsiho CASE

51: // Main
    timer(IN:=TRUE, PT:=T#10s); // casovac po ktery se meri sum
    IF timer.Q = FALSE THEN // kdyz casovac nedobehl
        IF ABS(y0-y)>noiseMax THEN // kdyz absolutni hodnota sumu je vetsi nez
nejvetsi ulozena
            noiseMax:=ABS(y0-y); // ulozeni velikosti sumu z aktualni absolutni
hodnoty sumu
        END_IF;
    ELSE
        timer(IN:=FALSE); // vynulovani casovace
        hysteresisHighValue:=noiseMax*8; // urceni mezi hystereze rele z velikosti
sumu
        hysteresisLowValue:=noiseMax*10; // urceni mezi hystereze rele z velikosti
sumu
        runningBlockCase:=70; // prechod do dalsiho CASE
    END_IF;

(* // uprava pro pouziti simulace soustavy
    noiseMax:=0.2;
    hysteresisHighValue:=noiseMax*6;
    hysteresisLowValue:=noiseMax*10;
    runningBlockCase :=70;
*)

////////////////////////////////////
//////////////////////////////////// urceni periody //////////////////////////////////
////////////////////////////////////

70: // Init

```

```

    uHighValue := u0 + 5; // urceni horni polohy rele
    IF uHighValue > uMaxValue THEN // pokud horni poloha rele je vyssi nez
maximalni
        uHighValue:= uMaxValue; // uprava horni hodnoty rele
    END_IF; // horni mez rele

    uLowValue:= u0 - 3; // dolni poloha rele
    IF uLowValue < uMinValue THEN // kdyz je spodni poloha relé mensi nez
minimalni
        uLowValue:= uMinValue; // uprava spodni polohy rele
    END_IF;
    u:= uHighValue; // nastaveni akcni veliciny na horni mez rele
    trailingEdgeCounter:=0; // citac spadovych hran
    leadingEdgeCounter:=1; // citac nabeznych hran
    tempBool := FALSE; // ukazatel stejne delky casu T1
    tempBool2 := FALSE; // ukazatel stejne delky casu T2
    T1 := 1; // nastaveni casu T1 na nenulovou hodnotu
    T2 := 1; // nastaveni casu T2 na nenulovou hodnotu
    leadingEdgeRtc := getRTC(); // cas nabezne hrany
    trailingEdgeRtc := getRTC(); // cas spadove hrany
    runningBlockCase := 71; // prechod do dalsiho CASE

71: // Main
    IF y>y0+hysteresisHighValue AND u=uHighValue THEN // kdyz je cas na sestupnou
hranu a jeste k ni nedoslo
        u:= uLowValue; // dolni mez rale
        tempDateTime:= getRTC(); // ulozeni aktualniho casu
        trailingEdgeCounter := trailingEdgeCounter + 1; // citac spadovych hran
        trailingEdgeRtc := tempDateTime; // cas spadove hrany
        tempReal := (TIME_TO_REAL(SUB_DT_DT(tempDateTime,leadingEdgeRtc))); //
aktualni cas T1
        IF abs(1.0 - tempReal/T1) < 0.03 THEN // kdyz je rozdil mezi soucasnym a
minulym T1 rozdil mensi nez 3 procenta
            tempBool := TRUE; // ukazatel splneni podminky
        ELSE
            tempBool := FALSE; // ukazatel na nesplneni podminky
        END_IF;
        T1 := tempReal; // prepsani casu T1
    END_IF;
    IF y<y0-hysteresisLowValue AND u=uLowValue THEN // kdyz ma byt nabezna hrana
a jeste k ni nedoslo
        u:= uHighValue; // nastavi se nabezna hrana
        tempDateTime:= getRTC(); // cas nabezne hrany
        leadingEdgeCounter := leadingEdgeCounter + 1; // citac nabeznych hran
        leadingEdgeRtc := tempDateTime; // cas nabezne hrany
        tempReal := (TIME_TO_REAL(SUB_DT_DT(tempDateTime,trailingEdgeRtc))); //
vypocet casu T2
        IF abs(1.0 - tempReal/T2) < 0.03 THEN // kdyz je rozdil mezi soucasnym a
minulym T2 rozdil mensi nez 3 procenta
            tempBool2 := TRUE; // ukazatel splneni podminky
        ELSE
            tempBool2 := FALSE; // ukazatel nesplneni podminky
        END_IF;
        T2 := tempReal; // cas T2
    END_IF;
    IF tempBool AND tempBool2 AND u=uHighValue THEN // kdyz jsou splneny podminky
a rele je nahore
        Tperiod := T1+T2; // vypocet periody
        runningBlockCase :=80; // prechod do dalsiho CASE
    END_IF;

////////////////////////////////////
//////////////////////////////////// vzorkovani //////////////////////////////////
////////////////////////////////////

80: // Init
    IF T1 > T2 THEN // kontrola splneni podminky

```

```

    webOutputString := 'T1 je vetsi nez T2, sprav si to'; // hlaseni o
nesplneni podminky
    runningBlockCase := 1000; // prechod do dalsiho CASE
END_IF;
samplingArrayIndexOld := 1000; // nastaveni indexu na nesmyslny
samplingArrayColumnIndex := 0; // nastaveni sloupce pole
samplingArrayColumnNeighbour1Index := 1; // nastaveni sousedniho sloupce
samplingArrayColumnNeighbour2Index := 2; // nastaveni druhého sousedního
sloupce
ySamplingArrayDiffSum := 0; // nulovani souctu rozdilu mezi sloupci
ySamplingArraySum := 0; // soucet ulozenych prvku
samplingArrayLastIndexes[0] := 1000; // nastaveni indexu na nesmyslny
samplingArrayLastIndexes[1] := 1000; // nastaveni indexu na nesmyslny
samplingArrayLastIndexes[2] := 1000; // nastaveni indexu na nesmyslny
tempCounter := 0; // citac
tempCounter2 := 0; // citac
samplingDelayMax := 0; // nulovani maximalniho zpozdeni
samplingDelaySum := 0; // nulovani souctu zpozdeni
samplingDelaySumMax := 0; // nulovani maximalniho celkoveho souctu zpozdeni
samplingPeriodTimeSpan := Tperiod / 900.0; // vzorkovaci perioda [ms], ale
opravdu! [ms]!!
samplingPeriodTimeSpan := 10*CEIL(samplingPeriodTimeSpan/10); // uprava
vzorkovaci periody
IF (samplingPeriodTimeSpan < 20) THEN // kdyz je vzorkovaci perioda mensi
nez 20ms
    samplingPeriodTimeSpan := 20; // vzorkovaci perioda 20ms
END_IF;
T0:=GetRTC(); // aktualni cas
runningBlockCase := 81; // prechod do dalsiho CASE

81: // Main
IF y>y0+hysteresisHighValue AND u=uHighValue THEN // kdyz je cas na sestupnou
hranu
    timerForDelay(IN := TRUE, PT := T#0s); // zpozdeni sestupne hrany
IF timerForDelay.Q = TRUE THEN // kdyz casovac dobehne
    u:= uLowValue; // sestupna hrana
    tempCounter2 := tempCounter2+1; //citac
    timerForDelay(IN := FALSE); // vynulovani casovace
    tempDateTime:= getRTC(); // aktualni cas
    trailingEdgeRtc := tempDateTime; // cas spadove hrany
    tempReal := (TIME_TO_REAL(SUB_DT_DT(tempDateTime,leadingEdgeRtc))); //
T1
    T1 := tempReal; // T1
END_IF;
END_IF;
IF y<y0-hysteresisLowValue AND u=uLowValue THEN // cas na nabeznou hranu
    timerForDelay(IN := TRUE, PT := T#0s ); // zpozdeni nabezne hrany
IF timerForDelay.Q = TRUE THEN // dobehl casovac
    u:= uHighValue; // nabezna hrana
    timerForDelay(IN := FALSE); // vynulovani casovace
    tempDateTime:= getRTC(); // aktualni cas
    leadingEdgeRtc := tempDateTime; //cas nabezne hrany
    tempReal := (TIME_TO_REAL(SUB_DT_DT(tempDateTime,trailingEdgeRtc))); //
T2
    T2 := tempReal; // T2
T0:= getRTC(); // aktualni cas
IF (samplingDelaySum > samplingDelaySumMax) THEN // kontrola hodnoty
sumy zpozdeni
    samplingDelaySumMax := samplingDelaySum; // prepsani hodnoty sumy
zpozdeni
END_IF;
samplingDelaySum := 0; // vynulovani sumy zpozdeni
IF tempCounter2 > 3 AND ySamplingArrayDiffSum/ySamplingArraySum < 0.06
THEN // kontrola opousteci podminky
    samplingExit := TRUE; // ukazatel ukonceni vzorovani
    runningBlockCase := 90; // prechod do dalsiho CASE
ELSE

```

```

        samplingArrayColumnIndex := samplingArrayColumnIndex + 1; // prechod
do dalsiho sloupce
    IF samplingArrayColumnIndex > 2 THEN // kontrola cisla sloupce
        samplingArrayColumnIndex := 0; // uprava cisla sloupce
    END_IF;
    samplingArrayLastIndexes[samplingArrayColumnIndex] := 0; // vynulovani
cisla posledniho vzorku
    CASE samplingArrayColumnIndex OF // upravy sloupcu sousedu
    0 :
        samplingArrayColumnNeighbour1Index := 1;
        samplingArrayColumnNeighbour2Index := 2;
    1 :
        samplingArrayColumnNeighbour1Index := 0;
        samplingArrayColumnNeighbour2Index := 2;
    2:
        samplingArrayColumnNeighbour1Index := 0;
        samplingArrayColumnNeighbour2Index := 1;
    END_CASE;
    ySamplingArraySum := 0; // vynulovani souctu vzorku
    ySamplingArrayDiffSum := 0; // vynulovani souctu rozdilu vzorku
    END_IF;
    END_IF;
    END_IF;
    IF samplingExit = FALSE THEN // kdyz neni ukonceno vzorkovani
        timeDiff := TIME_TO_REAL(SUB_DT_DT(GetRTC(),T0)); // cas od pocatku
periody
        samplingArrayIndex := REAL_TO_UINT(FLOOR(timeDiff /
samplingPeriodTimeSpan)); // index vzorku
        IF (samplingArrayIndex <> samplingArrayIndexOld) THEN // kdyz mame novy
index vzorku
            ySamplingArray[samplingArrayColumnIndex,samplingArrayIndex] := y; //
ulozeni vzorku regulovane veliciny
            uSamplingArray[samplingArrayColumnIndex,samplingArrayIndex] := u; //
ulozeni vzorku akcni veliciny
            samplingArrayLastIndexes[samplingArrayColumnIndex]:=
samplingArrayIndex; // prepsani posledniho indexu
            IF samplingArrayLastIndexes[samplingArrayColumnNeighbour1Index] >=
samplingArrayIndex THEN // pokud nebyl presazen pocet vzorku v susednim sloupci
                ySamplingArrayDiffSum := ySamplingArrayDiffSum + abs(y-
ySamplingArray[samplingArrayColumnNeighbour1Index ,samplingArrayIndex]); //
prepocet sumy rozdilu
            END_IF;
            IF samplingArrayLastIndexes[samplingArrayColumnNeighbour2Index] >=
samplingArrayIndex THEN // pokud nebyl presazen pocet vzorku v susednim sloupci
                ySamplingArrayDiffSum := ySamplingArrayDiffSum + abs(y-
ySamplingArray[samplingArrayColumnNeighbour2Index ,samplingArrayIndex]); //
prepocet sumy rozdilu
            END_IF;
            ySamplingArraySum := ySamplingArraySum + abs(y); // suma ulozenych prvku
            IF samplingArrayIndex = 0 THEN // kdyz je pocatek periody
                tempReal4 := timeDiff; // rozdil casu
            ELSE
                tempReal4 := timeDiff - (UINT_TO_REAL(samplingArrayIndexOld + 1) *
samplingPeriodTimeSpan); // rozdil casu
            END_IF;
            IF (tempReal4 > samplingDelayMax) THEN // kontrola maximalniho zpozdeni
                samplingDelayMax := tempReal4; // maximalni zpozdeni
            END_IF;
            samplingDelaySum := samplingDelaySum + tempReal4; // suma zpozdeni
vzorkovani
            IF (samplingArrayIndex <> 0 AND samplingArrayIndex <>
samplingArrayIndexOld + 1) THEN
                tempCounter := tempCounter + 1; // citac vzorku
            END_IF;
            samplingArrayIndexOld := samplingArrayIndex; // minuly index
        END_IF;
    END_IF;

```

```

/////////////////////////////////////////////////////////////////
///////////////////////////////////////////////////////////////// vycpet integralu ///////////////////////////////////////////////////////////////////
/////////////////////////////////////////////////////////////////

90: // Init
  Tperiod := T1+ T2; // vycpet perody
  omega1 := MATH.PI*2 / (Tperiod * 0.001); // frekvence identifikace
  omega2 := 2.0*omega1; // dvojnásobek frekvence identifikace
  indexIntegral:=0; // index prvku pro integraci
  indexShiftIntegral:=
(samplingArrayLastIndexes[samplingArrayColumnIndex]/2); // posunutý index prvku
pro integraci
  currentLastIndex:= samplingArrayLastIndexes[samplingArrayColumnIndex]; //
poslední index vzorku
  u :=uMinValue; // minimalizováni hodnoty akční velicíny
  runningBlockCase := 91; // přechod do dalšího CASE

91: // Main
  IF indexShiftIntegral > currentLastIndex THEN // kontrola posunutého
indexu v integralu
    indexShiftIntegral := indexShiftIntegral - currentLastIndex; // úprava
posunutého indexu v integralu
  END_IF;
  tauIndexIntegral := UINT_TO_REAL(indexIntegral)*samplingPeriodTimeSpan
/ 1000; // čas v integralu jako desetinné číslo v sekundách
  integralExponent1:= omega1*tauIndexIntegral; // exponent integralu
  integralExponent2:= omega2*tauIndexIntegral; // exponent integralu
  integralComplexExponent1.re := 0; // reálná složka exponentu v integralu
  integralComplexExponent1.im := -integralExponent1; // imaginární složka
exponentu v integralu
  uSampleComplex1.im:=0; // imaginární složka vzorku akční velicíny
  uSampleComplex1.re:=
(uSamplingArray[samplingArrayColumnIndex,indexIntegral]); // reálná složka
vzorku akční velicíny
  ySampleComplex1.im:=0; // imaginární složka vzorku regulované velicíny
  ySampleComplex1.re:=
(ySamplingArray[samplingArrayColumnIndex,indexIntegral]); // reálná složka
vzorku regulované velicíny
  integralComplexExponent2.re := 0; // reálná složka exponentu v integralu
  integralComplexExponent2.im := -integralExponent2; // imaginární složka
exponentu v integralu
  uSampleComplex2.im:=0; // imaginární složka vzorku akční velicíny
  uSampleComplex2.re:=
(uSamplingArray[samplingArrayColumnIndex,indexIntegral])+(uSamplingArray[sampl
ingArrayColumnIndex,indexShiftIntegral]); // reálná složka vzorku akční velicíny
  ySampleComplex2.im:=0; // imaginární složka vzorku regulované velicíny
  ySampleComplex2.re:=
(ySamplingArray[samplingArrayColumnIndex,indexIntegral])+(ySamplingArray[sampl
ingArrayColumnIndex,indexShiftIntegral]); // reálná složka vzorku regulované
velicíny
  integralU1 := CADD(X := integralU1, Y :=(CMUL(X:=uSampleComplex1, Y:=
CEXP(X :=integralComplexExponent1)))); // jmenovatel zlomku pro výpočet druhého
bodu
  integralY1 := CADD(X := integralY1, Y :=(CMUL(X:=ySampleComplex1, Y:=
CEXP(X :=integralComplexExponent1)))); // čitatel zlomku pro výpočet druhého
bodu
  integralU2 := CADD(X := integralU2, Y :=(CMUL(X:=uSampleComplex2, Y:=
CEXP(X :=integralComplexExponent2)))); // jmenovatel zlomku pro výpočet třetího
bodu
  integralY2 := CADD(X := integralY2, Y :=(CMUL(X:=ySampleComplex2, Y:=
CEXP(X :=integralComplexExponent2)))); // čitatel zlomku pro výpočet třetího
bodu
  indexIntegral := indexIntegral + 1; // navýšení indexu v integralu
  indexShiftIntegral := indexShiftIntegral +1; // navýšení posunutého indexu
v integralu
  IF indexIntegral = currentLastIndex THEN //konec intervalu
    runningBlockCase := 100; // přechod do dalšího CASE
  END_IF;

```

```
//////////////////////////////////////////////////////////////////////////////////////////////////
////////////////////////////////////////////////////////////////////////////////////////////////// vypočet G1 a G2  //////////////////////////////////
//////////////////////////////////////////////////////////////////////////////////////////////////

100: // Init
    runningBlockCase := 101; // prechod do dalsiho CASE

101: // Main
    G1 := CDIV(X := integralY1, Y := integralU1); // druhy bod
    G2 := CDIV(X := integralY2, Y := integralU2); // treti bod
    runningBlockCase := 110; // prechod do dalsiho CASE

//////////////////////////////////////////////////////////////////////////////////////////////////
////////////////////////////////////////////////////////////////////////////////////////////////// urceni parametru modelu  //////////////////////////////////
//////////////////////////////////////////////////////////////////////////////////////////////////

110: // Init
    runningBlockCase := 111; // prechod do dalsiho CASE

111: // Main
    fb_parametrySOTD(omega_1 := omega1, omega_2 := omega2, K_s := K, bod_1.re
:= G1.re, bod_1.im := G1.im, bod_2.re := G2.re, bod_2.im := G2.im, a_2=>sotdA2,
a_1=>sotdA1, T_d=>sotdTau, K_p=>sotdK); // vypočet parametru modelu
    runningBlockCase := 120; // prechod do dalsiho CASE

//////////////////////////////////////////////////////////////////////////////////////////////////
////////////////////////////////////////////////////////////////////////////////////////////////// priprava na dalsi identifikaci //////////////////////////////////
//////////////////////////////////////////////////////////////////////////////////////////////////

120: // Init
    runningBlockCase := 121; // prechod do dalsiho CASE

121: // Main
    webOutputString := 'Identifikace soustavy byla dokončena'; // hlaseni
uzivateli
    runningBlockCase := 00; // prechod do dalsiho CASE
    buttonIsPressed := FALSE; // uvolneni tlacitka

END_CASE;
END_PROGRAM
```

```
// Urceni parametru modelu ze tri bodu Nyquistovy frekvencni charakteristiky  
s pridanym dopravnim zpozdenim
```

```
VAR_GLOBAL RETAIN  
  ySamplingArray : ARRAY [0..2, 0..1300] OF REAL; // vzorkovani prubehu  
regulovane veliciny  
  uSamplingArray : ARRAY [0..2, 0..1300] OF REAL; //vzorkovani prubehu akcni  
veliciny  
  samplingArrayLastIndexes : ARRAY [0..2] OF UINT; //pocety vzorku  
  samplingArrayColumnIndex : USINT := 2; //index pouzivaného sloupce  
  yK1 : REAL; // regulovana veličina v bode blizkem pracovnímu bodu  
  yK2 : REAL; // regulovana veličina v bode blizkem pracovnímu bodu  
  uK1 : REAL; // akcni veličina v bode blizkem pracovnímu bodu  
  uK2 : REAL; // akcni veličina v bode blizkem pracovnímu bodu  
  trailingEdgeIndex : ARRAY [0..2] OF UINT; //index na kterém došlo k přepnutí  
relé (u)  
  currentLastIndex : UINT; // minuly index  
END_VAR
```

```
VAR_GLOBAL CONSTANT  
  BufferArrayLength : UINT := 1200;  
END_VAR
```

```
VAR_GLOBAL  
//vetrak + prutokomer  
(*  
  prutokomer AT r0_p3_AI1.ENG : REAL; //vstup do PLC  
  ventilator AT r0_p3_AO1.ENG : REAL; //vystup z PLC  
  u AT ventilator : REAL; //akcni zasah  
  y_puvodni AT prutokomer; //vystup soustavy  
*)  
//u : REAL :=0;  
//y : REAL;  
//zarovka + termistor  
//(*  
  termistor AT r0_p3_AI2.ENG : REAL; //vstup do PLC  
  zarovka AT r0_p3_AO0.ENG : REAL; //vystup z PLC  
  u AT zarovka : REAL; //akcni zasah  
  y AT termistor; //vystup soustavy  
//*)  
//levitace  
(*  
  prutokomer AT r0_p3_AI1.ENG : REAL; //vstup do PLC  
  ventilator AT r0_p3_AO1.ENG : REAL; //vystup z PLC  
  u AT ventilator : REAL; //akcni zasah  
  y_puvodni AT prutokomer; //vystup soustavy  
  y:REAL;  
*)  
END_VAR
```

```
PROGRAM prgMain  
  VAR_INPUT  
  END_VAR  
  VAR_OUTPUT  
  END_VAR  
  VAR  
  leadingEdgeCounter : INT; // pocet nabeznych hran  
  runningBlockCase : INT :=0; // aktualni blok kodu  
  tempCounter : INT :=0; // pocet vzorku po detekci ustaleni (yk1, yk2)  
  tempCounter2 : INT :=0; // citac  
  trailingEdgeCounter : INT; // pocet sestupnych hran  
  indexIntegral : UINT; // index pri integraci  
  indexShiftIntegral : UINT; // posunuty index pri integraci (posuv = Tperiod/2)  
  samplingArrayColumnNeighbour1Index : UINT; // index sousedního sloupce pole  
  samplingArrayColumnNeighbour2Index : UINT; // index sousedního sloupce pole  
  samplingArrayIndex : UINT; // index pri vzorkovani  
  samplingArrayIndexOld : UINT; // puvodni index pri vzorkovani z predchoziho  
pruchodu
```

```

buttonIsPressed : BOOL :=1; // input z buttonu
tempBool : BOOL := false; // docasna bool hodnota
tempBool2 : BOOL := false; // docasna bool hodnota
samplingExit : bool := false; // priznak, zda opustit vzorkovani
hysteresisHighValue : REAL; // horni mez hystereze
hysteresisLowValue : REAL; // dolni mez hystereze
integralExponent1 : REAL; // exponent ve vzorci s integrelem (realny)
integralExponent2 : REAL; // exponent ve druhem vzorci s integrelem (realny)
K :REAL; // staticka citlivost
noiseMax : REAL; // maximalni sum
omega1 : REAL; // uhlova rychlost ve vzorci s integrelem
omega2 : REAL; // uhlova rychlost ve druhem vzorci s integrelem
samplingDelayMax : REAL; // maximalni zpozdeni pri vzorkovani pole (0;
samplingPeriodTimeSpan)
samplingDelaySum : REAL; // suma vseh zpozdeni pri vzorkovani pole
samplingDelaySumMax : REAL; // maximalni suma vseh zpozdeni pri samplovani
poli
samplingPeriodTimeSpan : REAL; // vzorkovaci perioda integratoru
sotdA1 : REAL; // casova konstanta modelu SOTD
sotdA2 : REAL; // druha casova konstanta modelu SOTD
sotdK : REAL; // staticka citlivost v modelu SOTD
sotdTau :REAL; // dopravní zpozdeni v modelu SOTD
tauIndexIntegral : REAL; // cas pri integraci
tempReal : REAL; // docasna promenna pro real
tempReal4 : REAL; // docasna promenna pro real
tempSum : REAL; // pomocna promenna pro vypocet prumeru vystupu
timeDiff : REAL; // pomocna promenna pro urcovani rozdilu casu
trafficDelay : REAL; // dopravní zpozdeni
T1 : REAL; // cas pro rele v horni poloze
T2 : REAL; // cas pro rele ve spodni poloze
Tperiod : REAL; // delka periody [ms]
u0 : REAL := 3; // vstup v pracovnim bode
uHighValue : REAL; // hodnota vstupu pri horni poloze rele
uLowValue : REAL; // hodnota vstupu pri spodni poloze rele
uMaxValue : REAL := 10; // maximalni hodnota vstupu
uMinValue : REAL := 0; // minimalni hodnota vstupu
y0 : REAL; // vystup v pracovnim bode
ySamplingArrayDiffSum : REAL; // suma rozdilu mezi namerenymi hodnotami Y v
poslednich trech pruchodech
ySamplingArraySum : REAL; // suma namerenych hodnot v poli Y
G1 : COMPLEX; // prvni bod Nyquistovy frekvencni charakteristiky v komplexni
rovine
G2 : COMPLEX; // druhy bod Nyquistovy frekvencni charakteristiky v komplexni
rovine
integralComplexExponent1 : COMPLEX; // komplexni exponent v prvni integralu
integralComplexExponent2 : COMPLEX; // komplexni exponent ve druhem integralu
integralU1 : COMPLEX; // vysledek celemo integralu ve jmenovateli 1. vzorce
integralU2 : COMPLEX; // vysledek celemo integralu ve jmenovateli 2. vzorce
integralY1 : COMPLEX; // vysledek celemo integralu v citateli 1. vzorce
integralY2 : COMPLEX; // vysledek celemo integralu v citateli 2. vzorce
uSampleComplex1 : COMPLEX; // vzorek v komplexni rovine ve jmenovateli 1.
vzorce
uSampleComplex2 : COMPLEX; // vzorek v komplexni rovine ve jmenovateli 2.
vzorce
ySampleComplex1 : COMPLEX; // vzorek v komplexni rovine v citateli 1. vzorce
ySampleComplex2 : COMPLEX; // vzorek v komplexni rovine v citateli 2. vzorce
leadingEdgeRtc : DATE_AND_TIME; // cas nabezne hrany
trailingEdgeRtc : DATE_AND_TIME; // cas sestupne hrany
tempDateTime : DATE_AND_TIME; // docasna promenna pro datetime
T0 : DATE_AND_TIME; // pocatek vzorkovaci periody
timer : TON; // casovac
timerForDelay : TON; //casovac pro zpozdeni nabezne a spadove hrany
webOutputString : STRING; // vystup na web
fb_webInputValidation : webInputValidation; //funkci blok pro kontrolu
zadanych udaju
fb_stabilization : fbstabilization; //funkcni blok pro kontrolu ustaleni
fb_parametrySOTD : fbparametrySOTD; //funkcni blok vypoctu parametru modelu
END_VAR

```



```

VAR_TEMP
END_VAR

CASE runningBlockCase OF

////////////////////////////////////
//////////////////////////////////// nastaveni parametru a cekani na buttonIsDisabled //////////////////////////////////
////////////////////////////////////

00: // Init
    runningBlockCase := 01; // prechod do dalsiho CASE

01: // Main
    IF buttonIsPressed = TRUE THEN // kontrola stisknuti tlacitka
        fb_webInputValidation(minValue:= uMinValue, minOffset := -0.5, maxValue:=
uMaxValue, value:=u0, isValid => tempBool, message => webOutputString);
//volání podprogramu pro kontrolu zadaných parametru
        IF tempBool = FALSE THEN // když jsou špatně zadane udaje
            buttonIsPressed := FALSE; //uvolnění tlacitka
        ELSE
            runningBlockCase := 10; // prechod do dalsiho CASE
        END_IF;
    END_IF;

////////////////////////////////////
//////////////////////////////////// cekani na ustaleni //////////////////////////////////
////////////////////////////////////

10: // Init
    u:=u0-0.5; // nastavení vstupního napití pod pracovní bod, kvůli ureení
statické citlivosti
    runningBlockCase := 11; // prechod do dalsiho CASE

11: // Main
    fb_stabilization(vstup:=y, cas_mereni:= T#10s, ustaleno => tempBool); //
cekani na ustaleni vystupu
    IF tempBool = TRUE THEN // když je vystup ustaleny
        runningBlockCase := 20; // prechod do dalsiho CASE
    END_IF;

////////////////////////////////////
//////////////////////////////////// urceni u1 a y1 //////////////////////////////////
////////////////////////////////////

20: // Init
    tempCounter := 0; //vynulovani citace
    tempSum := 0; //vynulovani promenne
    runningBlockCase := 21; // prechod do dalsiho CASE

21: // Main
    timer(IN:=TRUE, PT:=T#1s); // casovac pro urceni prumerne hodnoty vystupu v
bode 1 pro urceni staticke citlivosti
    tempSum := tempSum+y; // suma vystupu po dobu behu casovace
    tempCounter := tempCounter+1; // pocet sectenych vystupu po dobu casovace
    IF timer.Q THEN // po uplynutí easovae
        timer(IN:=FALSE); // vynulování casovace
        yK1 := tempSum/INT_TO_REAL(tempCounter); // vypocet prumerne hodnoty
vystupu
        uK1 := u0 - 0.5; // hodnota akcni veliciny
        runningBlockCase := 30; // prechod do dalsiho CASE
    END_IF;

////////////////////////////////////
//////////////////////////////////// cekani na ustaleni //////////////////////////////////
////////////////////////////////////

30: // Init
    u:=u0; //nastavení akcni veliciny na zadanou hodnotu, tj. pracovní bod

```

```

        runningBlockCase := 31; // prechod do dalsiho CASE

31: // Main
    fb_stabilization(vstup:=y, cas_mereni:= T#10s, ustaleno => tempBool); //
cekani na ustaleni vystupu
    IF tempBool = TRUE THEN // kdyz je ustaleny vystup
        runningBlockCase := 40; // prechod do dalsi faze programu
    END_IF;

////////////////////////////////////
//////////////////////////////////// urceni u2 a y2 //////////////////////////////////
////////////////////////////////////

40: // Init

    tempSum := 0; // vynulovani promenne
    tempCounter := 0; // vynulovani citace
    runningBlockCase := 41; // prechod do dalsiho CASE

41: // Main
    timer(IN:=TRUE, PT:=T#1s); // casovac pro vypocetni prumerne hodnoty vystupu
    tempSum := tempSum+y; // suma vzorku vystupu
    tempCounter := tempCounter+1; //pocet sectenych vystupu
    IF timer.Q THEN // když casovac dobehne
        timer(IN:=FALSE); // nulovani casovace
        yK2 := tempSum/INT_TO_REAL(tempCounter); // vypocet prumerneho vystupu v
bode pro urceni staticke citlivosti
        uK2 := u0; //akcni velicina v bode pro urceni staticke citlivosti
        y0:=yK2; //regulovana velicina v pracovnim bode
        K:=(yK2-yK1)/(uK2-uK1); //vypocet hodnoty statické citlivosti
        runningBlockCase:=50; // prechod do dalsiho CASE
    END_IF;

////////////////////////////////////
//////////////////////////////////// mereni sumu //////////////////////////////////
////////////////////////////////////

50: // Init
    noiseMax := 0; //vynulování nejvyšší hodnoty výstupu
    runningBlockCase:=51; // prechod do dalsiho CASE

51: // Main
    timer(IN:=TRUE, PT:=T#10s); // casovac po který se meri sum
    IF timer.Q = FALSE THEN // kdyz casovac nedobehl
        IF ABS(y0-y)>noiseMax THEN // kdyz absolutní hodnota sumu je vetsi nez
nejvetsi ulozena
            noiseMax:=ABS(y0-y); // ulozeni velikosti sumu z aktualni absoulutni
hodnoty sumu
        END_IF;
    ELSE
        timer(IN:=FALSE); // vynulovani casovace
        hysteresisHighValue:=noiseMax*8; // urceni mezi hystereze rele z velikosti
sumu
        hysteresisLowValue:=noiseMax*10; // urceni mezi hystereze rele z velikosti
sumu
        runningBlockCase:=70; // prechod do dalsiho CASE
    END_IF;

(* // uprava pro pouziti simulace soustavy
    noiseMax:=0.2;
    hysteresisHighValue:=noiseMax*6;
    hysteresisLowValue:=noiseMax*10;
    runningBlockCase :=70;
*)

////////////////////////////////////
//////////////////////////////////// urceni periody //////////////////////////////////
////////////////////////////////////

```

```

70: // Init
  uHighValue := u0 + 5; // urceni horni polohy rele
  IF uHighValue > uMaxValue THEN // pokud horni poloha rele je vyssi nez
maximalni
    uHighValue:= uMaxValue; // uprava horni hodnoty rele
    END_IF; // horni mez rele

    uLowValue:= u0 - 3; // dolni poloha rele
  IF uLowValue < uMinValue THEN // kdyz je spodni poloha relé mensi nez
minimalni
    uLowValue:= uMinValue; // uprava spodni polohy rele
    END_IF;
  u:= uHighValue; // nastaveni akcni veliciny na horni mez rele
  trailingEdgeCounter:=0; // citac spadovych hran
  leadingEdgeCounter:=1; // citac nabeznych hran
  tempBool := FALSE; // ukazatel stejne delky casu T1
  tempBool2 := FALSE; // ukazatel stejne delky casu T2
  T1 := 1; // nastaveni casu T1 na nenulovou hodnotu
  T2 := 1; // nastaveni casu T2 na nenulovou hodnotu
  leadingEdgeRtc := getRTC(); // cas nabezne hrany
  trailingEdgeRtc := getRTC(); // cas spadove hrany
  runningBlockCase := 71; // prechod do dalsiho CASE

71: // Main
  IF y>y0+hysteresisHighValue AND u=uHighValue THEN // kdyz je cas na sestupnou
hranu a jeste k ni nedoslo
    u:= uLowValue; // dolni mez rale
    tempDateTime:= getRTC(); // ulozeni aktualniho casu
    trailingEdgeCounter := trailingEdgeCounter + 1; // citac spadovych hran
    trailingEdgeRtc := tempDateTime; // cas spadove hrany
    tempReal := (TIME_TO_REAL(SUB_DT_DT(tempDateTime,leadingEdgeRtc))); //
aktualni cas T1
    IF abs(1.0 - tempReal/T1) < 0.03 THEN // kdyz je rozdil mezi soucasnym a
minulym T1 rozdil mensi nez 3 procenta
      tempBool := TRUE; // ukazatel splneni podminky
    ELSE
      tempBool := FALSE; // ukazatel na nesplneni podminky
    END_IF;
    T1 := tempReal; // prepsani casu T1
  END_IF;
  IF y<y0-hysteresisLowValue AND u=uLowValue THEN // kdyz ma byt nabezna hrana
a jeste k ni nedoslo
    u:= uHighValue; // nastavi se nabezna hrana
    tempDateTime:= getRTC(); // cas nabezne hrany
    leadingEdgeCounter := leadingEdgeCounter + 1; // citac nabeznych hran
    leadingEdgeRtc := tempDateTime; // cas nabezne hrany
    tempReal := (TIME_TO_REAL(SUB_DT_DT(tempDateTime,trailingEdgeRtc))); //
vypocet casu T2
    IF abs(1.0 - tempReal/T2) < 0.03 THEN // kdyz je rozdil mezi soucasnym a
minulym T2 rozdil mensi nez 3 procenta
      tempBool2 := TRUE; // ukazatel splneni podminky
    ELSE
      tempBool2 := FALSE; // ukazatel nesplneni podminky
    END_IF;
    T2 := tempReal; // cas T2
  END_IF;
  IF tempBool AND tempBool2 AND u=uHighValue THEN // kdyz jsou splneny podminky
a rele je nahore
    Tperiod := T1+T2; // vypocet periody
    TrafficDelay := Tperiod/2;
    runningBlockCase :=80; // prechod do dalsiho CASE
  END_IF;

////////////////////////////////////
//////////////////////////////////// vzorkovani //////////////////////////////////
////////////////////////////////////

80: // Init

```

```

    IF T1 > T2 THEN // kontrola splneni podminky
        webOutputString := 'T1 je vetsi nez T2, sprav si to'; // hlaseni o
nesplneni podminky
        runningBlockCase := 1000; // prechod do dalsiho CASE
    END_IF;
    samplingArrayIndexOld := 1000; // nastaveni indexu na nesmyslny
samplingArrayColumnIndex := 0; // nastaveni sloupce pole
samplingArrayColumnNeighbour1Index := 1; // nastaveni sousedniho sloupce
samplingArrayColumnNeighbour2Index := 2; // nastaveni druhého sousedniho
sloupce
ySamplingArrayDiffSum := 0; // nulovani souctu rozdilu mezi sloupci
ySamplingArraySum := 0; // soucet ulozenych prvku
samplingArrayLastIndexes[0] := 1000; // nastaveni indexu na nesmyslny
samplingArrayLastIndexes[1] := 1000; // nastaveni indexu na nesmyslny
samplingArrayLastIndexes[2] := 1000; // nastaveni indexu na nesmyslny
tempCounter := 0; // citac
tempCounter2 := 0; // citac
samplingDelayMax := 0; // nulovani maximalniho zpozdeni
samplingDelaySum := 0; // nulovani souctu zpozdeni
samplingDelaySumMax := 0; // nulovani maximalniho celkoveho souctu zpozdeni
samplingPeriodTimeSpan := Tperiod / 900.0; // vzorkovaci perioda [ms], ale
opravdu! [ms]!!
samplingPeriodTimeSpan := 10*CEIL(samplingPeriodTimeSpan/10); // uprava
vzorkovaci periody
    IF (samplingPeriodTimeSpan < 20) THEN // kdyz je vzorkovaci perioda mensi
nez 20ms
        samplingPeriodTimeSpan := 20; // vzorkovaci perioda 20ms
    END_IF;
    T0:=GetRTC(); // aktualni cas
    runningBlockCase := 81; // prechod do dalsiho CASE

81: // Main
    IF y>y0+hysteresisHighValue AND u=uHighValue THEN // kdyz je cas na sestupnou
hranu
        timerForDelay(IN := TRUE, PT := REAL_TO_TIME(trafficDelay)); // zpozdeni
sestupne hrany
        IF timerForDelay.Q = TRUE THEN // kdyz casovac dobehne
            u:= uLowValue; // sestupna hrana
            tempCounter2 := tempCounter2+1; //citac
            timerForDelay(IN := FALSE); // vynulovani casovace
            tempDateTime:= getRTC(); // aktualni cas
            trailingEdgeRtc := tempDateTime; // cas spadove hrany
            tempReal := (TIME_TO_REAL(SUB_DT_DT(tempDateTime,leadingEdgeRtc))); //
T1
                T1 := tempReal; // T1
            END_IF;
        END_IF;
        IF y<y0-hysteresisLowValue AND u=uLowValue THEN // cas na nabeznou hranu
            timerForDelay(IN := TRUE, PT := REAL_TO_TIME(trafficDelay)); // zpozdeni
nabezne hrany
            IF timerForDelay.Q = TRUE THEN // dobehl casovac
                u:= uHighValue; // nabezna hrana
                timerForDelay(IN := FALSE); // vynulovani casovace
                tempDateTime:= getRTC(); // aktualni cas
                leadingEdgeRtc := tempDateTime; //cas nabezne hrany
                tempReal := (TIME_TO_REAL(SUB_DT_DT(tempDateTime,trailingEdgeRtc))); //
T2
                    T2 := tempReal; // T2
                    T0:= getRTC(); // aktualni cas
                    IF (samplingDelaySum > samplingDelaySumMax) THEN // kontrola hodnoty
sumy zpozdeni
                        samplingDelaySumMax := samplingDelaySum; // prepsani hodnoty sumy
zpozdeni
                    END_IF;
                    samplingDelaySum := 0; // vynulovani sumy zpozdeni
                    IF tempCounter2 > 3 AND ySamplingArrayDiffSum/ySamplingArraySum < 0.06
THEN // kontrola opousteci podminky
                        samplingExit := TRUE; // ukazatel ukonceni vzorovani

```

```

        runningBlockCase := 90; // prechod do dalsiho CASE
    ELSE
        samplingArrayColumnIndex := samplingArrayColumnIndex + 1; // prechod
do dalsiho sloupce
        IF samplingArrayColumnIndex > 2 THEN // kontrola cisla sloupce
            samplingArrayColumnIndex := 0; // uprava cisla sloupce
        END_IF;
        samplingArrayLastIndexes[samplingArrayColumnIndex] := 0; // vynulovani
cisla posledniho vzorku
        CASE samplingArrayColumnIndex OF // upravy sloupcu sousedu
            0 :
                samplingArrayColumnNeighbour1Index := 1;
                samplingArrayColumnNeighbour2Index := 2;
            1 :
                samplingArrayColumnNeighbour1Index := 0;
                samplingArrayColumnNeighbour2Index := 2;
            2:
                samplingArrayColumnNeighbour1Index := 0;
                samplingArrayColumnNeighbour2Index := 1;
        END_CASE;
        ySamplingArraySum := 0; // vynulovani souctu vzorku
        ySamplingArrayDiffSum := 0; // vynulovani souctu rozdilu vzorku
    END_IF;
END_IF;
END_IF;
IF samplingExit = FALSE THEN // kdyz neni ukonceno vzorkovani
    timeDiff := TIME_TO_REAL(SUB_DT_DT(GetRTC(),T0)); // cas od pocatku
periody
    samplingArrayIndex:=                REAL_TO_UINT(FLOOR(timeDiff                /
samplingPeriodTimeSpan)); // index vzorku
    IF (samplingArrayIndex <> samplingArrayIndexOld) THEN // kdyz mame novy
index vzorku
        ySamplingArray[samplingArrayColumnIndex,samplingArrayIndex] := y; //
ulozeni vzorku regulovane veliciny
        uSamplingArray[samplingArrayColumnIndex,samplingArrayIndex] := u; //
ulozeni vzorku akcni veliciny
        samplingArrayLastIndexes[samplingArrayColumnIndex]:=
samplingArrayIndex; // prepsani posledniho indexu
        IF samplingArrayLastIndexes[samplingArrayColumnNeighbour1Index] >=
samplingArrayIndex THEN // pokud nebyl presazen pocet vzorku v susednim sloupci
            ySamplingArrayDiffSum := ySamplingArrayDiffSum + abs(y-
ySamplingArray[samplingArrayColumnNeighbour1Index ,samplingArrayIndex]); //
prepocet sumy rozdilu
        END_IF;
        IF samplingArrayLastIndexes[samplingArrayColumnNeighbour2Index] >=
samplingArrayIndex THEN // pokud nebyl presazen pocet vzorku v susednim sloupci
            ySamplingArrayDiffSum := ySamplingArrayDiffSum + abs(y-
ySamplingArray[samplingArrayColumnNeighbour2Index ,samplingArrayIndex]); //
prepocet sumy rozdilu
        END_IF;
        ySamplingArraySum := ySamplingArraySum + abs(y); // suma ulozenych prvku
        IF samplingArrayIndex = 0 THEN // kdyz je pocatek periody
            tempReal4 := timeDiff; // rozdil casu
        ELSE
            tempReal4 := timeDiff - (UINT_TO_REAL(samplingArrayIndexOld + 1) *
samplingPeriodTimeSpan); // rozdil casu
        END_IF;
        IF (tempReal4 > samplingDelayMax) THEN // kontrola maximalniho zpozdeni
            samplingDelayMax := tempReal4; // maximalni zpozdeni
        END_IF;
        samplingDelaySum := samplingDelaySum + tempReal4; // suma zpozdeni
vzorkovani
        IF (samplingArrayIndex <> 0 AND samplingArrayIndex <>
samplingArrayIndexOld + 1) THEN
            tempCounter := tempCounter + 1; // citac vzorku
        END_IF;
        samplingArrayIndexOld := samplingArrayIndex; // minuly index
    END_IF;

```

```

END_IF;

////////////////////////////////////
//////////////////////////////////// vypočet integrálu //////////////////////////////////
////////////////////////////////////

90: // Init
Tperiod := T1+ T2; // vypočet periody
omega1 := MATH.PI*2 / (Tperiod * 0.001); // frekvence identifikace
omega2 := 2.0*omega1; // dvojnásobek frekvence identifikace
indexIntegral:=0; // index prvku pro integraci
indexShiftIntegral:=
(samplingArrayLastIndexes[samplingArrayColumnIndex]/2); // posunutý index prvku
pro integraci
currentLastIndex:= samplingArrayLastIndexes[samplingArrayColumnIndex]; //
poslední index vzorku
u :=uMinValue; // minimalizování hodnoty akční veličiny
runningBlockCase := 91; // přechod do dalšího CASE

91: // Main
IF indexShiftIntegral > currentLastIndex THEN // kontrola posunutého
indexu v integrálu
indexShiftIntegral := indexShiftIntegral - currentLastIndex; // úprava
posunutého indexu v integrálu
END_IF;
tauIndexIntegral := UINT_TO_REAL(indexIntegral)*samplingPeriodTimeSpan
/ 1000; // čas v integrálu jako desetinné číslo v sekundách
integralExponent1:= omega1*tauIndexIntegral; // exponent integrálu
integralExponent2:= omega2*tauIndexIntegral; // exponent integrálu
integralComplexExponent1.re := 0; // reálná složka exponentu v integrálu
integralComplexExponent1.im := -integralExponent1; // imaginární složka
exponentu v integrálu
uSampleComplex1.im:=0; // imaginární složka vzorku akční veličiny
uSampleComplex1.re:=
(uSamplingArray[samplingArrayColumnIndex,indexIntegral]); // reálná složka
vzorku akční veličiny
ySampleComplex1.im:=0; // imaginární složka vzorku regulované veličiny
ySampleComplex1.re:=
(ySamplingArray[samplingArrayColumnIndex,indexIntegral]); // reálná složka
vzorku regulované veličiny
integralComplexExponent2.re := 0; // reálná složka exponentu v integrálu
integralComplexExponent2.im := -integralExponent2; // imaginární složka
exponentu v integrálu
uSampleComplex2.im:=0; // imaginární složka vzorku akční veličiny
uSampleComplex2.re:=
(uSamplingArray[samplingArrayColumnIndex,indexIntegral])+(uSamplingArray[sampl
ingArrayColumnIndex,indexShiftIntegral]); // reálná složka vzorku akční veličiny
ySampleComplex2.im:=0; // imaginární složka vzorku regulované veličiny
ySampleComplex2.re:=
(ySamplingArray[samplingArrayColumnIndex,indexIntegral])+(ySamplingArray[sampl
ingArrayColumnIndex,indexShiftIntegral]); // reálná složka vzorku regulované
veličiny
integralU1 := CADD(X := integralU1, Y :=(CMUL(X:=uSampleComplex1, Y:=
CEXP(X :=integralComplexExponent1)))); // jmenovatel zlomku pro vypočet druhého
bodu
integralY1 := CADD(X := integralY1, Y :=(CMUL(X:=ySampleComplex1, Y:=
CEXP(X :=integralComplexExponent1)))); // čitatel zlomku pro vypočet druhého
bodu
integralU2 := CADD(X := integralU2, Y :=(CMUL(X:=uSampleComplex2, Y:=
CEXP(X :=integralComplexExponent2)))); // jmenovatel zlomku pro vypočet třetího
bodu
integralY2 := CADD(X := integralY2, Y :=(CMUL(X:=ySampleComplex2, Y:=
CEXP(X :=integralComplexExponent2)))); // čitatel zlomku pro vypočet třetího
bodu
indexIntegral := indexIntegral + 1; // navýšení indexu v integrálu
indexShiftIntegral := indexShiftIntegral +1; // navýšení posunutého indexu
v integrálu
IF indexIntegral = currentLastIndex THEN //konec intervalu

```

```

        runningBlockCase := 100; // prechod do dalsiho CASE
    END_IF;

////////////////////////////////////
//////////////////////////////////// vypočet G1 a G2 ///////////////////////////////////
////////////////////////////////////

100: // Init
    runningBlockCase := 101; // prechod do dalsiho CASE

101: // Main
    G1 := CDIV(X := integralY1, Y := integralU1); // druhy bod
    G2 := CDIV(X := integralY2, Y := integralU2); // treti bod
    runningBlockCase := 110; // prechod do dalsiho CASE

////////////////////////////////////
//////////////////////////////////// urceni parametru modelu ///////////////////////////////////
////////////////////////////////////

110: // Init
    runningBlockCase := 111; // prechod do dalsiho CASE

111: // Main
    fb_parametrySOTD(omega_1 := omegal, omega_2 := omega2, K_s := K, bod_1.re
:= G1.re, bod_1.im := G1.im, bod_2.re := G2.re, bod_2.im := G2.im, a_2=>sotdA2,
a_1=>sotdA1, T_d=>sotdTau, K_p=>sotdK); // vypočet parametru modelu
    runningBlockCase := 120; // prechod do dalsiho CASE

////////////////////////////////////
//////////////////////////////////// priprava na dalsi identifikaci ///////////////////////////////////
////////////////////////////////////

120: // Init
    runningBlockCase := 121; // prechod do dalsiho CASE

121: // Main
    webOutputString := 'Identifikace soustavy byla dokončena'; // hlaseni
uzivateli
    runningBlockCase := 00; // prechod do dalsiho CASE
    buttonIsPressed := FALSE; // uvolneni tlacitka

    END_CASE;
END_PROGRAM

```

```

// Urceni modelu pro nastaveni parametru PI, PD a PID regulatoru

VAR_GLOBAL
//vetrak + prtokomer
(*)
prtokomer AT r0_p3_AI1.ENG : REAL; //vstup do PLC
ventilator AT r0_p3_AO1.ENG : REAL; //výstup z PLC
  u AT ventilator : REAL; //akční zásah
  y AT prtokomer; //výstup soustavy
*)
//u: REAL;
//y: REAL;

//zarovka + termistor
termistor AT r0_p3_AI2.ENG : REAL; //vstup do PLC
zarovka AT r0_p3_AO0.ENG : REAL; //výstup z PLC
  u AT zarovka : REAL; //akční zásah
  y AT termistor; //výstup soustavy

END_VAR

PROGRAM prgMain
  VAR_INPUT
    END_VAR
  VAR_OUTPUT
    END_VAR
  VAR

  buttonIsPressed : BOOL:=TRUE; // startovací tlacitko
  tempBool : BOOL; // docana promenna typu BOOL
  tempCounter : INT; // pomocny citac
  leadingEdgeCounter : UINT :=0; // citac nabeznych hran
  runningBlockCase : UINT :=00; // ukazatel na CASE
  samplingArrayColumnIndex :UINT := 2; // index pouzivaneho bufferu
  samplingArrayIndex :UINT; // index v bufferu
  samplingArrayIndexOld : UINT; // index predchoziho vzorku v bufferu
  trailingEdgeCounter : UINT :=0; // citac spadovych hran
  yConditions : INT := 0; // ukazatel na CASE
  coefRelay : REAL; // koeficient pro přepoččet poloh relé
  deviation : REAL := 0.1; // povolené rozdíly naměřených průběhů při 1 periodě
  divisionTdT :REAL; // pomer (tau)/(1-tau)
  exponentialCorrectionCoefficient : REAL := 1; // koeficient pro úpravu doby
  náběhu exponenciely
  gama : REAL; // stupen asymetrie rele
  hysteresisHighValue : REAL; // horní odchylka od žádané hodnoty y
  hysteresisLowValue : REAL; // dolní odchylka od žádané hodnoty y
  K : REAL; // staticka citlivost
  Td : REAL; // dopravní zpoždění
  noiseMax : REAL; // maximalni sum
  ny : REAL := 5.0; // koeficient pro vypocet yMaxLowDeviation
  ro : REAL; // pomer casu, po který je rele v horni respektive dolni poloze
  roTemp : REAL; // pomer casu, po který je rele v horni respektive dolni poloze
- pomocný
  samplingPeriodTimeSpan : REAL :=0.01; // vzorkovací perioda numerické
  integrace
  T : REAL; // časová konstanta
  tau : REAL; // nomralizovane dopravní zpozdeni
  tauTemp : REAL; // nomralizovane dopravní zpozdeni - pomocné
  tempReal : REAL := 0; // docasna promenna typu REAL
  tempReal2 : REAL := 0; // docasna promenna typu REAL
  tempSum : REAL; // docasna Suma regulovane veliciny
  u0 : REAL:=3; // akcni velicina v pracovnim bode
  uHighValue : REAL; // zadaná velikost akčního zásahu při horní poloze relé
  uLowValue : REAL; // zadaná velikost akčního zásahu při dolní poloze relé
  uK1 : REAL; // akcni velicina v bode blizkem pracovniho bodu
  uK2 : REAL; // akcni velicina v pracovnim bode
  uMaxValue : REAL :=6.0; // maximální dovolená hodnota vstupu
  uMinValue : REAL := 1.5; // minimalní dovolená hodnota vstupu

```



```

uValueTemp : REAL; // pomocna hodnota akcni veliciny
uValueTemp2 : REAL; // pomocna hodnota akcni veliciny
y0 : REAL; // regulovana velicina v pracovnim bode
yDeflectionHigh : REAL := 0.0; // maximalni vychylka nad zadanou hodnotou
yDeflectionHighLast : REAL; // predchozi hodnota yDeflectionHigh
yDeflectionLow : REAL := 0.0; // maximalni vychylka pod zadanou hodnotou
yDeflectionLowLast : REAL; // predchozi hodnota yDeflectionLow
yK1 : REAL; // regulovana velicina v bode blizkem pracovnimu bodu
yK2 : REAL; // regulovana velicina v pracovnim bode
yMaxHighDeviation : REAL; // horni hranice pasma pro vystup soustavy pri
zapojeni rele
yMaxLowDeviation : REAL; // dolni hranice pasma pro vystup soustavy pri
zapojeni rele
ySamplingArrayDiff01 : REAL; // prumerne rozdily mezi buffery 0 a 1
ySamplingArrayDiff02 : REAL; // prumerne rozdily mezi buffery 0 a 2
ySamplingArrayDiff12 : REAL; // prumerne rozdily mezi buffery 1 a 2
ySamplingArrayDiffA : REAL; // suma rozdilu
ySamplingArrayDiffB : REAL; // suma rozdilu
exponentialTimeSpan : TIME; // exponent
T1 : TIME; // doba horni polohy rele
T1Temp : TIME; // doba horni polohy rele - pomocna
T2 : TIME; // doba dolni polohy rele
T2Temp : TIME; // doba dolni polohy rele - pomocna
timeInPeriod : TIME; // cas od pocatku periody
Tperiod : TIME; // doba trvani jedné periody
currentTime : DT; // aktualni cas
leadingEdgeRtc : DT; // casová značka prepnutí na uHighValue
trailingEdgeRtc : DT; // casová značka prepnutí na uLowValue
leadingEdgeRtcTemp : DT; // casová značka prepnutí na uHighValue - pomocna
startExponentialTime : DT; // cas začátku rustu exponenciely
trailingEdgeRtcTemp : DT; // casova znacka prepnutí na uLowValue - pomocna
timer : TON; // casovac
fb_stabilization : fbstabilization ; // funkčni blok ustaleni
fb_webInputValidation : fbwebInputControl; // funkčni blok kontroly zadaných
parametru
samplingArrayLastIndexes : ARRAY [0..2] OF UINT; // pocet ulozených vzorku
trailingEdgeIndex : ARRAY [0..2] OF UINT; // index na kterém doslo k prepnutí
rele
ySamplingArray : ARRAY [0..2,0..2999] OF REAL; // pole pro ukládání vzorku
regulované veliciny
webOutputString : STRING; // textové pole pro výpis informací pro uživatele

END_VAR
VAR_TEMP
END_VAR

CASE runningBlockCase OF

////////////////////////////////////
//////////////////////////////////// nastavení parametru a čekání na buttonIsDisabled ///////////////////////////////////
////////////////////////////////////

00: // Init
    runningBlockCase := 01; // přechod do dalšího CASE

01: // Main
    IF buttonIsPressed = TRUE THEN // když je tlačítko stisknuto
        fb_webInputValidation(minValue:= uMinValue, minOffset := -0.5,
maxValue:= uMaxValue, value:=u0, isValid => tempBool, message =>
webOutputString); //volání podprogramu pro kontrolu zadaných parametru
        IF tempBool = false then // když nejsou správně zadány parametry
            buttonIsPressed := false; // tlačítko není stisknuto
        ELSE
            runningBlockCase := 10; // přechod do dalšího CASE
        END_IF;
    END_IF;
END_IF;

```

```

////////////////////
//////////////////// cekani na ustaleny //////////////////////
////////////////////

10: // Init
    u:=u0-0.5; // nastavení vstupního napětí pod pracovní bod, kvůli určení
statické citlivosti
    runningBlockCase := 11; // prechod do dalšího CASE

11: // Main
    fb_stabilization(vstup:=y, cas_mereni:= T#10s, ustaleno => tempBool); //
cekani na ustaleni vystupu
    IF tempBool = TRUE THEN // když je vystup ustaleny
        runningBlockCase := 20; //prechod do dalšího CASE
    END_IF;

////////////////////
//////////////////// urceni u1 a y1 //////////////////////
////////////////////

20: // Init
    tempCounter := 0; // vynulovani citace
    tempSum := 0; // vynulovani sumy regulovane veliciny
    runningBlockCase := 21; // prechod do dalšího CASE

21: // Main
    timer(IN:=TRUE, PT:=T#1s); // casovac pro urceni prumerne hodnoty vystupu v
bode 1 pro urceni statické citlivosti
    tempSum := tempSum+y; // sumy vystupu po dobu behu casovace
    tempCounter := tempCounter+1; //citac pruchodu programem po dobu casovace
    IF timer.Q THEN // po uplynutí casovace
        timer(IN:=FALSE); // vynulovani casovace
        yK1 := tempSum/INT_TO_REAL(tempCounter); // vycet prumerne hodnoty
vystupu
        uK1 := u0 - 0.5; // hodnota akení velieiny
        runningBlockCase := 30; //predem do dalšího CASE
    END_IF;

////////////////////
//////////////////// cekani na ustaleni //////////////////////
////////////////////

30: // Init
    u:=u0; // nastaveni akcni veliciny na zadanou hodnotu, tj. pracovní bod
    runningBlockCase := 31; // prechod do dalšího CASE

31: // Main
    fb_stabilization(vstup:=y, cas_mereni:= T#10s, ustaleno => tempBool); //
cekani na ustaleni soustavy
    IF tempBool = TRUE THEN // když je ustaleny vystup
        runningBlockCase := 40; // prechod dod dalšího CASE
    END_IF;

////////////////////
//////////////////// urceni u2 a y2 //////////////////////
////////////////////

40: // Init
    tempSum := 0; // vynulovani sumy vzorku regulovane veliciny
    tempCounter := 0; // vynulovani citace
    runningBlockCase := 41; // prechod do dalšího CASE

41: // Main
    timer(IN:=TRUE, PT:=T#1s); // casovac pro namereni hodnoty sumu
    tempSum := tempSum+y; // suma vzorku regulovane veliciny
    tempCounter := tempCounter+1; // citac sectenych vzorku
    IF timer.Q THEN // když dobehne casovac

```

```

        timer(IN:=FALSE); // nulovani casovace
        yK2 := tempSum/INT_TO_REAL(tempCounter); // vypocet prumerne hodnoty akcni
veliciny v pracovnim bode
        uK2 := u0; // hodnota akcni veliciny v pracovnim bode
        y0:=yK2; // regulovana velicina v pracovnim bode
        K:=(yK2-yK1)/(uK2-uK1); // staticka citlivost
        runningBlockCase:=50; // prechod do dalsiho CASE
    END_IF;

////////////////////////////////////
//////////////////////////////////// mereni sumu //////////////////////////////////
////////////////////////////////////

50: // Init
    noiseMax := 0; // vynulovani nejvyssi hodnoty vystupu
    runningBlockCase:=51; // prechod do dalsiho CASE

51: // Main
    timer(IN:=TRUE, PT:=T#10s); // casovac po který se meri sum

    IF timer.Q = FALSE THEN // kdyz casovac jeste nedobehl
        IF ABS(y0-y)>noiseMax THEN //kdyz absolutni hodnota sumu je mensi nez
aktualni
            noiseMax:=ABS(y0-y); // prepsani hodnoty sumu
        END_IF;
    END_IF;
    IF timer.Q = TRUE THEN // kdyz casovac dobehl
        timer(IN:=FALSE); // vynulovani casovace
        hysteresisHighValue:=noiseMax*10; // mez hystereze rele
        hysteresisLowValue:=hysteresisHighValue; // mez hystereze rele
        runningBlockCase:=60; // prechod do dalsiho CASE
    END_IF;

    (*///simulace // prepsani na mereni simulace
    noiseMax:=0.01;
    hysteresisHighValue:=noiseMax*10;
    hysteresisLowValue:=noiseMax*10;
    runningBlockCase:=60;
    /// *)

    yMaxLowDeviation := ny * hysteresisLowValue; // urceni maximalni horni
hodnoty regulovane veliciny
    yMaxHighDeviation := 3.0*yMaxLowDeviation; // urceni maximalni spodni
hodnoty regulovane veliciny
    uHighValue:= uMaxValue; // horni poloha rele
    uLowValue:= uMinValue; // spodni poloha rele
    gama := MAX(ABS(uHighValue-u0), ABS(u0-uLowValue))/MIN(ABS(uHighValue-
u0),ABS(u0-uLowValue)); // vypocet gamy

////////////////////////////////////
//////////////////////////////////// expomencialni prubeh vstupu //////////////////////////////////
////////////////////////////////////

60: // Init
    webOutputString:= 'Nastavuji se hodnoty pro polohy rele'; // hlaseni pro
uzivatele
    startExponentialTime := GetRTC(); // nacteni casu pocatku eponencialy
    runningBlockCase := 61; // prechod do dalsiho CASE

61: // Main
    currentTime := GetRTC(); //nacteni aktualniho casu
    exponentialTimeSpan := SUB_DT_DT(currentTime,startExponentialTime); // cas
od pocatku exponencialy
    exponentialCorrectionCoefficient:=1/3; // koeficient pro zpomaleni
exponencialniho rustu
    IF u < uMaxValue THEN //kontrola, ze akcni velicina není vetsi nez povolena
        IF y>=(yMaxHighDeviation+y0) THEN //kontrola, ze vystupni velicina není
vetsi nez zadana velicina s maximalni dovolenou vychylkou

```

```

        runningBlockCase :=70; // prechod do dalsiho CASE
        uValueTemp :=u; // ulozeni aktualni hodnoty akcni veliciny
        uValueTemp2:=u0-((uValueTemp-u0)*0.7); // prepocet hodnoty akcni
veliciny
        IF uMinValue < uValueTemp2 THEN // kontrola pripravene hodnoty spodni
polohy rele
            uLowValue:= uValueTemp2; // nastaveni spodni polohy rele
            END_IF;
            u:=uLowValue; // nastaveni akcni hodnoty na spodni polohu rele
            uHighValue := uValueTemp; // nastaveni horni hodnoty rele
            gama:= MAX(ABS(uHighValue-u0), ABS(u0-uLowValue))/MIN(ABS(uHighValue-
u0),ABS(u0-uLowValue)); // vypocet gamy
        ELSE
            u:=
EXP(exponentialCorrectionCoefficient*TIME_TO_REAL(exponentialTimeSpan)/1000.0)-
1.0+u0; //exponencielni narust akcni veliciny
        END_IF;
        ELSE
            uValueTemp2:=u0-((uHighValue-u0)*0.7); // vypocet pomocne hodnoty akcni
veliciny
            IF uMinValue < uValueTemp2 THEN // kontrola potencialni hodnoty spodni
polohy rele
                uLowValue:= uValueTemp2; // spodni poloha rele
                END_IF;
                runningBlockCase :=70; // prechod do dalsiho CASE
            END_IF;

////////////////////////////////////
//////////////////////////////////// uprava hodnot rele //////////////////////////////////
////////////////////////////////////

70: // Init
    u:=uLowValue; // nastaveni akcni veliciny do spodni polohy rele
    trailingEdgeCounter := 0; // vynulovani citace spadovych hran
    trailingEdgeRtcTemp:=GetRTC(); // cas spadove hrany
    leadingEdgeRtcTemp:=GetRTC(); // cas nabezne hrany
    gama := MAX(ABS(uHighValue-u0), ABS(u0-uLowValue))/MIN(ABS(uHighValue-
u0),ABS(u0-uLowValue)); // gama
    runningBlockCase :=71; // prechod do dalsiho CASE

71: // Main
    IF leadingEdgeCounter < 2 THEN // kdyz nebyly dve nabezne hrany
    IF u <> uLowValue THEN // nebyla spadova
        IF y >= y0+hysteresisHighValue THEN // ma byt spadova
            u:= uLowValue; // spadova
            T1Temp := SUB_DT_DT(trailingEdgeRtcTemp,leadingEdgeRtcTemp); // T1
docasny
            trailingEdgeRtcTemp := GetRTC(); // cas spadove
            trailingEdgeCounter := trailingEdgeCounter +1; // citac spadove
        END_IF;
    END_IF;
    IF u <> uHighValue THEN // nebyla nabezna
        IF y <= y0-hysteresisLowValue THEN // mela by byt nabezna
            u:= uHighValue; // nabezna
            T2Temp := SUB_DT_DT(leadingEdgeRtcTemp,trailingEdgeRtcTemp); //T2
docasny
            leadingEdgeRtcTemp := GetRTC(); // cas nabezne
            leadingEdgeCounter := leadingEdgeCounter +1; // citac nabeznych
hran
        END_IF;
    END_IF;
    IF trailingEdgeCounter = 1 AND leadingEdgeCounter = 1 THEN // kdyz je 1
nabezna a 1 spadova
        yDeflectionHigh:= MAX(yDeflectionHigh,ABS(y-y0)); // urceni maximalni
vychylky vystupu nad zadanou velicinu
    END_IF;
    IF trailingEdgeCounter = 0 AND leadingEdgeCounter = 1 THEN // kdyz je 0
spadovych a 1 nabezna

```

```

        yDeflectionLow := MAX(yDeflectionLow,ABS(y0-y)); // urceni maximalni
vychylky vystupu pod zadanou velicinu
    END_IF;
    END_IF;
    IF leadingEdgeCounter = 2 AND trailingEdgeCounter = 1 THEN // 2 nabezne a
1 spadova
        leadingEdgeCounter := 1; // citac nabeznych
        trailingEdgeCounter := 0; // citac spadovych
        roTemp:=
MAX(TIME_TO_REAL(T1Temp),TIME_TO_REAL(T2Temp))/MIN(TIME_TO_REAL(T1Temp),TIME_T
O_REAL(T2Temp)); // vypocet pomocneho ro
        tauTemp := (gama - roTemp)/((gama-1.0)*((0.35*roTemp)+0.65)); // vypocet
pomocneho tau
        IF tauTemp < 0.05 THEN // uprava parametru rele
            CASE yConditions OF
                0:
                    IF yDeflectionHigh -hysteresisHighValue > 1.0 AND yDeflectionLow -
hysteresisLowValue > 1.0 THEN // kdyz vychylka na obe starany je vetsi nez 1
//////////////////////////////////ZMENA//////////////////////////////////
                        uHighValue:= u0 +(uHighValue - u0)* 0.8; // uprava horni polohy
rele
                            uLowValue:= u0 +(uLowValue - u0)* 0.8; // uprava spodni polohy rele
                            IF uHighValue > uMaxValue THEN // uprava horni polohy podle
maximalni mozne hodnoty akcni veliciny
                                uHighValue:= uMaxValue;
                            END_IF;
                            IF uLowValue < uMinValue THEN // uprava dolni polohy podle minimalni
mozne hodnoty akcni veliciny
                                uLowValue:= uMinValue;
                            END_IF;
                        END_IF;
                    IF yDeflectionHigh -hysteresisHighValue < 0.1 AND yDeflectionLow -
hysteresisLowValue < 0.1 THEN // kdyz je vychylka mensi nez 0.1
                        IF uHighValue = uValueTemp AND uLowValue = uValueTemp2 THEN // kdyz
se rovnaji pomocnym
                            yConditions:= 1; // prechod do CASE
                            RETURN;
                        ELSE
                            uHighValue:= u0 +(uHighValue - u0)* 1.1; // uprava horni polohy
rele
                                uLowValue:= u0 +(uLowValue - u0)* 1.1; // uprava spodni polohy
rele
                                    IF uHighValue > uMaxValue THEN // uprava horni polohy podle
maximalni mozne hodnoty akcni veliciny
                                        uHighValue:= uMaxValue;
                                    END_IF;
                                    IF uLowValue < uMinValue THEN // uprava spodni polohy podle
minimalni mozne hodnoty akcni veliciny
                                        uLowValue:= uMinValue;
                                    END_IF;
                                END_IF;
                            ELSE
                                IF yDeflectionHigh-hysteresisHighValue <0.1 THEN
                                    uHighValue:= uHighValue + 0.1; // uprava horni polohy rele
                                    uLowValue:= uLowValue + 0.1; // uprava spodni polohy rele
                                    IF uHighValue > uMaxValue THEN // uprava horni polohy podle
maximalni mozne hodnoty akcni veliciny
                                        uHighValue:= uMaxValue;
                                    END_IF;
                                    IF uLowValue < uMinValue THEN // uprava dolni polohy podle minimalni
mozne hodnoty akcni veliciny
                                        uLowValue:= uMinValue;
                                    END_IF;
                                END_IF;
                            END_IF;
                        IF yDeflectionLow-hysteresisLowValue <0.1 THEN
                            uHighValue:= uHighValue - 0.1; // uprava horni polohy rele
                            uLowValue:= uLowValue - 0.1; // uprava spodni polohy rele

```

```

        IF uHighValue > uMaxValue THEN // uprava horni polohy podle
maximalni mozne hodnoty akcni veliciny
            uHighValue:= uMaxValue;
        END_IF;
        IF uLowValue < uMinValue THEN // uprava spodni polohy podle
minimalni mozne hodnoty akcni veliciny
            uLowValue:= uMinValue;
        END_IF;
    END_IF;
END_IF;

////////////////////////////////ZMENA////////////////////////////////
        IF yDeflectionHigh -hysteresisHighValue < 1.0 AND yDeflectionLow -
hysteresisLowValue < 1.0 AND yDeflectionHigh -hysteresisHighValue > 0.5 AND
yDeflectionLow -hysteresisLowValue > 0.5 THEN
            uHighValue:= u0 +(uHighValue - u0)* 0.9; // uprava horni polohy rele
            uLowValue:= u0 +(uLowValue - u0)* 0.9; // uprava spodni polohy rele
        END_IF;
        IF yDeflectionHigh -hysteresisHighValue < 0.5 AND yDeflectionLow -
hysteresisLowValue < 0.5 AND yDeflectionHigh -hysteresisHighValue > 0.1 AND
yDeflectionLow -hysteresisLowValue > 0.1 THEN
            uHighValue:= u0 +(uHighValue - u0)* 0.95; // uprava horni polohy
rele
            uLowValue:= u0 +(uLowValue - u0)* 0.95; // uprava spodni polohy rele
        END_IF;

////////////////////////////////ZMENA////////////////////////////////
1:
        IF (yDeflectionHigh-hysteresisHighValue)>(yDeflectionLow-
hysteresisLowValue) THEN
            uHighValue := u0 +(uHighValue - u0)* 0.9; // uprava horni polohy rele
        ELSE
            uLowValue:= u0 +(uLowValue - u0)* 0.9; // uprava spodni polohy rele
        END_IF;
        gama := MAX(ABS(uHighValue-u0), ABS(u0-uLowValue))/MIN(ABS(uHighValue-
u0),ABS(u0-uLowValue)); // gama
    END_CASE;
        u:=uHighValue; // nabezna hrana
        tauTemp := 0.0; // vynulovani docasneho tau
        T1Temp :=T#0s; // vynulovani docasneho T1
        T2Temp:=T#0s; // vynulovani docasneho T2
        roTemp:=0.0; // vynulovani docasneho ro
        yDeflectionHighLast := yDeflectionHigh; // predchozi hodnota horni
vychylky
        yDeflectionHigh := 0.0; // vynulovani horni vychylky
        yDeflectionLowLast := yDeflectionLow; // predchozi hodnota spodni
vychylky
        yDeflectionLow := 0.0; // vynulovani spodni vychylky
        gama := MAX(ABS(uHighValue-u0), ABS(u0-uLowValue))/MIN(ABS(uHighValue-
u0),ABS(u0-uLowValue)); // gama
        ELSE
            yConditions :=0; // zmena CASE
            webOutputString:= 'Probiha identifikace soustavy'; // informace pro
uzivatele
            runningBlockCase :=80; // prechod do dalsiho CASE
        END_IF;
    END_IF;

////////////////////////////////
//////////////////////////////// vzorkovani //////////////////////////////////
////////////////////////////////

80: // Init

        runningBlockCase :=81; // prechod do dalsiho CASE
        gama := MAX(ABS(uHighValue-u0), ABS(u0-uLowValue))/MIN(ABS(uHighValue-
u0),ABS(u0-uLowValue)); //vypočtení stupně asymetrie relé
        u:=uHighValue; // nabezna

```

```

81: // Main

    IF y0-y > hysteresisLowValue THEN // mela by byt horni poloha rele
        IF u <> uHighValue THEN // neni nabezna
            IF ySamplingArrayDiff01 < deviation AND ySamplingArrayDiff02 <
deviation AND ySamplingArrayDiff12 < deviation AND ySamplingArrayDiff01 > 0.0
AND ySamplingArrayDiff02 >0.0 AND ySamplingArrayDiff12 >0.0 THEN // opoustaci
podminka
                runningBlockCase :=90; // prechod do dalsiho CASE
                RETURN;
            END_IF;
            T1 := SUB_DT_DT(trailingEdgeRtc,leadingEdgeRtc); // T1
            leadingEdgeRtc := GetRTC(); // cas nabezne
            samplingArrayColumnIndex := samplingArrayColumnIndex +1; //posunutí
polohy v pameti
            IF samplingArrayColumnIndex > 2 THEN // uprava nesmyslného
cisla sloupce pole
                samplingArrayColumnIndex:=0;
            END_IF;
            samplingArrayLastIndexes[samplingArrayColumnIndex]:=0; //vynulování
CASE samplingArrayColumnIndex OF //prirazeni prumernych odchylek
hodnot vystupu
    0:
        ySamplingArrayDiff01:=
ySamplingArrayDiffA/(UINT_TO_REAL(samplingArrayLastIndexes[1])+1);
        ySamplingArrayDiff02:=
ySamplingArrayDiffB/(UINT_TO_REAL(samplingArrayLastIndexes[2])+1);
    1:
        ySamplingArrayDiff01:=
ySamplingArrayDiffA/(UINT_TO_REAL(samplingArrayLastIndexes[0])+1);
        ySamplingArrayDiff12:=
ySamplingArrayDiffB/(UINT_TO_REAL(samplingArrayLastIndexes[2])+1);
    2:
        ySamplingArrayDiff02:=
ySamplingArrayDiffA/(UINT_TO_REAL(samplingArrayLastIndexes[0])+1);
        ySamplingArrayDiff12:=
ySamplingArrayDiffB/(UINT_TO_REAL(samplingArrayLastIndexes[1])+1);
        END_CASE;
        ySamplingArrayDiffA := 0.0; // vymazani sumace rozdilu
        ySamplingArrayDiffB := 0.0; // vymazani sumace rozdilu
        samplingArrayIndexOld := 1; // vraceni indexu na zacatek
    END_IF;
    u := uHighValue; // nabezna
END_IF;
IF y0-y <(-hysteresisHighValue) THEN // jsme nad mezi hystereze
    IF u <> uLowValue THEN // neni spodni poloha
        T2 := SUB_DT_DT(leadingEdgeRtc,trailingEdgeRtc); // T2
        trailingEdgeRtc := GetRTC(); // cas spadove hrany
        trailingEdgeIndex[samplingArrayColumnIndex]:=
REAL_TO_UINT(CEIL(TIME_TO_REAL(timeInPeriod)*0.001/samplingPeriodTimeSpan));
// index spadove hrany
        END_IF;
        u :=uLowValue; // spadova hrana
    END_IF;
    Tperiod :=T1 +T2; // perioda
    timeInPeriod := SUB_DT_DT(GetRTC(),leadingEdgeRtc); // cas od pocatku
periody
        samplingArrayIndex:=
REAL_TO_UINT(CEIL(TIME_TO_REAL(timeInPeriod)*0.001/samplingPeriodTimeSpan));
// výpočet indexu pole pro uložení vzorku
        IF samplingArrayIndex < 2999 THEN
            IF samplingArrayIndex <> samplingArrayIndexOld THEN // čekání na
spravny cas vzorkovani
                samplingArrayIndexOld := samplingArrayIndex; // uložení minuleho
indexu vzorkovani
                CASE samplingArrayColumnIndex OF
    0:

```



```

        gama := MAX (ABS (uHighValue-u0), ABS (u0-
uLowValue)) / MIN (ABS (uHighValue-u0), ABS (u0-uLowValue)); // gama
    END_IF;
    IF (TIME_TO_REAL (T1)-TIME_TO_REAL (T2))>0.0 THEN // gama
        uLowValue := u0+((uLowValue-u0)*coefRelay); // prepocet parametru
rele
        gama := MAX (ABS (uHighValue-u0), ABS (u0-
uLowValue)) / MIN (ABS (uHighValue-u0), ABS (u0-uLowValue)); // gama
    END_IF;
    runningBlockCase :=80; // prechod do dalsiho CASE
    webOutputString := 'Mereni se opakuje, program prepocita meze rele'; //
informace pro uzivatele
    ySamplingArrayDiff01 := 0.0; // vynulovani
    ySamplingArrayDiff02 := 0.0; // vynulovani
    ySamplingArrayDiff12 := 0.0; // vynulovani
    END_IF;

91: // Main

    divisionTdT :=tau/(1.0-tau); // podil Td a T
    tempReal:=
(UINT_TO_REAL (trailingEdgeIndex[samplingArrayColumnIndex])*samplingPeriodTimeS
pan); // pomocny vypocet
    tempReal2:= ((hysteresisHighValue/ABS (K))-ABS (uLowValue-u0)+
((ABS (uHighValue-u0)+ABS (uLowValue-u0)) * EXP (divisionTdT ))); // pomocny vypocet
    T := tempReal/ LN (tempReal2/ (ABS (uHighValue-u0)-
(hysteresisHighValue/ABS (K)))); // casova konstanta
    Td := T*divisionTdT; // dopravní zpozdění
    runningBlockCase := 100; // prechod do dalsiho CASE

////////////////////////////////////
//////////////////////////////////// priprava na dalsi identifikaci //////////////////////////////////
////////////////////////////////////

100: // Init
    runningBlockCase :=101; // prechod do dalsiho CASE

101: // Main
    buttonIsPressed:= FALSE; // uvolneni tlacitka
    webOutputString := ''; // vymazani hlaseni pro uzivatele
    runningBlockCase :=00; // prechod pro dalsiho CASE

    END_CASE;

END_PROGRAM

```

```

// fbwebInputValidation

(* funkčni blok pro kontrolu zadaných parametru identifikace

input
minValue - minimalni pripustna hodnota akcni veliciny
maxValue - maximalni pripustna hodnota akcni veliciny
minOffset - vzdalenost bodu blizkeho pracovnimu bodu (rozdil akcnich velicin),
ovlivnuje urceni staticke citlivosti
value - akcni velicina v pracovnim bode

outut
isValid - ukazatel platnosti zadanych parametru
message - zprava uzivateli, aby vedel jak spravne upravit zadanée parametry
*)

FUNCTION_BLOCK webInputValidation
VAR_INPUT
minValue : REAL; // minimalni hodnota akcni veliciny
maxValue : REAL; // maximalni hodnota akcni veliciny
minOffset : REAL; // snizeni akcni veliciny
value : REAL; // akcni velicina v pracovnim bode
END_VAR
VAR_OUTPUT
isValid : BOOL := false; // priznak platnosti zadanych parametru
message : STRING; // zprava uzivateli
END_VAR
VAR_IN_OUT
END_VAR
VAR
END_VAR
END_VAR
VAR_TEMP
END_VAR

IF (value + minOffset > minValue) AND value < maxValue THEN // kontrola
zadanych udaju
    isValid := true; // priznak splneni spravneho zadani parametru
END_IF;
IF minValue < 0 OR maxValue > 10 THEN // kontrola zadanych udaju
    message := 'horni a dolni mez musi lezet mezi 0 a 10'; // zprava
uzivateli
    isValid := false; // priznak nesplneni spravneho zadani parametru
END_IF;
IF minValue > maxValue THEN // kontrola zadanych udaju
    message := 'horni mez musi lezet nad dolni mezi'; // zprava uzivateli
    isValid := false; // priznak nesplneni spravneho zadani parametru
END_IF;
IF (value + minOffset < minValue) OR value > maxValue THEN // kontrola
zadanych udaju
    message := 'vstup musi lezet mezi dolni a horni mezi'; // zprava
uzivateli
    isValid := false; // priznak nesplneni spravneho zadani parametru
END_IF;

END_FUNCTION_BLOCK

```

```

// fbstabilization

(* funkčni blok pro kontrolu ustalení výstupu soustavy dle změny monotónnosti
pro časové průměry

input
vstup - vstup do fb, hodnota výstupu ze soustavy
cas_mereni - doba po kterou sbíráme hodnoty výstupu ze soustavy pro výpočet
průměru

output
ustaleno - vrací hodnotu TRUE pokud došlo ke změně monotónnosti časových
průměrů, tedy pokud je soustava ustálena
*)

FUNCTION_BLOCK fbstabilization
VAR_INPUT
vstup : REAL; // výstup ze soustavy
cas_mereni : TIME := T#5s; // trvání časovace
END_VAR
VAR_OUTPUT
ustaleno : BOOL := FALSE; // indikátor ustalení
END_VAR
VAR_IN_OUT
END_VAR
VAR
//kontrola ustalení
timer1 : TON; // časovač pro kontrolu ustalení soustavy
y1_k : REAL; // průměrná hodnota výstupu po dobu časovace
y2_k : REAL; // průměrná hodnota výstupu po dobu časovace
y3_k : REAL; // průměrná hodnota výstupu po dobu časovace
y_suma_k : REAL; // suma vzorku výstupu soustavy po dobu časovace
pocitadlo : REAL; // počet vzorku výstupu soustavy po dobu časovace
klid : INT; // case
END_VAR
VAR_TEMP
END_VAR

CASE klid OF

//////////
0:
ustaleno := FALSE; // negace ukazatele ustalení
IF timer1.Q = FALSE THEN // nedobehl časovač
pocitadlo := pocitadlo +1.0; // citac vzorku
y_suma_k := y_suma_k + vstup; // suma vzorku
END_IF;
timer1(IN:= TRUE, PT :=cas_mereni); // časovač
IF timer1.Q THEN // časovač dobehl
timer1(IN:= FALSE); // vynulování časovace
y1_k := y_suma_k/pocitadlo; // výpočet průměrné hodnoty regulované
veliciny
pocitadlo := 0.0; // vynulování citace
y_suma_k := 0.0; // vynulování sumy vzorku regulované veliciny
klid := 1; // přechod do dalšího CASE
END_IF;
//////////
1:
IF timer1.Q=FALSE THEN // nedobehl časovač
pocitadlo := pocitadlo +1.0; // citac vzorku
y_suma_k := y_suma_k + vstup; // suma vzorku
END_IF;
timer1(IN:= TRUE, PT :=cas_mereni); // časovač
IF timer1.Q THEN // časovač dobehl
timer1(IN:= FALSE); // vynulování časovace
y2_k := y_suma_k/pocitadlo; // výpočet průměrné hodnoty regulované
veliciny

```

```

        pocitadlo := 0.0; // vynulovani citace
        y_suma_k := 0.0; // vynulovani sumy vzorku regulovane veliciny
        klid := 2 ; // prechod do dalsiho CASE
    END_IF;
    //////////////////////////////////////
2:
    IF timer1.Q=FALSE THEN // nedobehl casovac
        pocitadlo := pocitadlo +1.0; // citac vzorku
        y_suma_k := y_suma_k + vstup; // suma vzorku
    END_IF;
    timer1(IN:= TRUE, PT :=cas_mereni); // casovac
    IF timer1.Q THEN // casovac dobehl
        timer1(IN:= FALSE); // vynulovani casovace
        y3_k := y_suma_k/pocitadlo; // vypocet prumerne hodnoty regulovane
veliciny
        pocitadlo := 0.0; // vynulovani citace
        y_suma_k := 0.0; // vynulovani sumy vzorku regulovane veliciny
        klid := 3 ; // prechod do dalsiho CASE
    END_IF;
    //////////////////////////////////////
3:
    IF (y1_k > y2_k AND y2_k > y3_k) OR (y1_k < y2_k AND y2_k < y3_k) THEN //
porovnani prumernych hodnot regulovane veliciny
        y1_k := y2_k; // posun o misto v pameti
        y2_k := y3_k; // posun o misto v pameti
        klid := 2; // prechod do dalsiho CASE
    ELSE
        klid := 4; // prechod do dalsiho CASE
        y1_k := 0; // vynuovani prumerne hodnoty regulovane veliciny
        y2_k := 0; // vynuovani prumerne hodnoty regulovane veliciny
        y3_k := 0; // vynuovani prumerne hodnoty regulovane veliciny
    END_IF;
    //////////////////////////////////////
4:
    ustaleno := TRUE; // nastaveni priznaku ustaleni soustavy
    klid:= 0; // navrat do prvnio CASE
END_CASE;
END_FUNCTION_BLOCK

```

```

// fbparametrySOTD

(* Výpočet paramerů SOTD modelu dle práce Alternative Identification Method
using Biased Relay Feedback autora M. Hofreitera


$$M(s) = \frac{K_p}{(a_2 s^2 + a_1 s + 1)} e^{-(T_d s)}$$


inputs
omega_1 - uhlová frekvence 1
bod_1_real - reálná souřadnice bodu frekvenční charakteristiky pro frekvenci
omega_1
bod_1_imag - imaginární souřadnice bodu frekvenční charakteristiky pro frekvenci
omega_1
omega_2 - uhlová frekvence 2
bod_2_real - reálná souřadnice bodu frekvenční charakteristiky pro frekvenci
omega_1
bod_2_imag - imaginární souřadnice bodu frekvenční charakteristiky pro frekvenci
omega_1
K_s - statická citlivost soustavy

outputs
a_2 - časová konstanta modelu
a_1 - časová konstanta modelu
T_d - dopravní zpoždění modelu
K_p - statická citlivost modelu
*)

FUNCTION_BLOCK fbparametrySOTD

VAR_INPUT
omega_1 : REAL;
omega_2 : REAL;
bod_1 : COMPLEX;
bod_2 : COMPLEX;
K_s : REAL;
END_VAR
VAR_OUTPUT
a_2 : REAL;
a_1 : REAL;
T_d : REAL;
K_p : REAL;
END_VAR
VAR_IN_OUT
END_VAR

VAR

//pomocné proměné
bod_1_velikost : REAL; // absolutni hodnota z komplexniho cisla
bod_2_velikost : REAL; // absolutni hodnota z komplexniho cisla
pod_odmocninou_1 : REAL; // vypocet odmocniny
pod_odmocninou_2 : REAL; // vypocet odmocniny
zlomek_2 : REAL; // vypocet zlomku
zlomek_1 : REAL; // vypocet zlomku
argument_1_sum_1 : REAL; // argument pri vypoctu Td
argument_2_sum_1 : REAL; // argument pri vypoctu Td
argument_1_sum_2 : REAL; // argument pri vypoctu Td
argument_2_sum_2 : REAL; // argument pri vypoctu Td
complex_1 : COMPLEX := ( re := 0.1, im := 0.0); // 1 v komplexnich cislech
jmenovatel_1 : COMPLEX; // komplexni jmenovatel
jmenovatel_2 : COMPLEX; // komplexni jmenovatel END_VAR
VAR_TEMP
END_VAR

K_p := K_s; // prirazeni staticke citlivosti
bod_1_velikost := CABS(bod_1); // vypocet absolutni hodnoty

```

```

bod_2_velikost := CABS(bod_2); // vypocet absolutni hodnoty
zlomek_1 := (K_p*K_p)/(bod_2_velikost*bod_2_velikost); // mezivypocet
zlomek_2 := (4*K_p*K_p)/(bod_1_velikost*bod_1_velikost); // mezivypocet
pod_odmocninou_1 := (1/3)*(zlomek_1 - zlomek_2 +3); // mezivypocet
a_2 := (1/(2*omega_1*omega_1))*SQRT(pod_odmocninou_1); // casova konstanta
pod_odmocninou_2 := (zlomek_2/4)-(1-a_2*omega_1*omega_1)*(1-
a_2*omega_1*omega_1); // mezivypocet
a_1 := (1/omega_1)*SQRT(pod_odmocninou_2); // casova konstanta
jmenovatel_1.re := -a_2*omega_1*omega_1+1; // realna slozka jmenovatele
jmenovatel_1.im := a_1*omega_1; // imaginarni slozka jmenovatele
jmenovatel_2.re := -a_2*omega_2*omega_2+1; // realna slozka jmenovatele
jmenovatel_2.im := a_1*omega_2; // realna slozka jmenovatele
argument_1_sum_1:= CARG(CDIV(X:=complex_1, Y:=jmenovatel_1)); // vypocet
argumentu komplexniho cisla
argument_2_sum_1:= CARG(bod_1); // vypocet argumentu komplexniho cisla
argument_1_sum_2:= CARG(CDIV(X:=complex_1, Y:=jmenovatel_2)); // vypocet
argumentu komplexniho cisla
argument_2_sum_2:= CARG(bod_2); // vypocet argumentu komplexniho cisla
T_d:= 0.5*((argument_1_sum_1-argument_2_sum_1)/omega_1+(argument_1_sum_2-
argument_2_sum_2)/omega_2); // dopravni zpozdeni
END_FUNCTION_BLOCK

```

```

// fbRelayFeedbackIdentification

(*funkcni blok releove zpetnovazebni identifikace dle práce Alternative
Identification Method using Biased Relay Feedback autora M. Hofreitera


$$M(s) = \frac{K_p e^{-(T_d*s)}}{(a_2*s^2+a_1*s+1)}$$


inputs
y - regulovana velicina
uMaxValue - maximalni hodnota vstupu
uMinValue - minimalni hodnota vstupu
u0 - vstup v pracovnim bode

outputs
u - akcni velicina
sotdA1 - casova konstanta modelu SOTD
sotdA2 - druha casova konstanta modelu SOTD
sotdK - staticka citlivost modelu SOTD
sotdTau - dopravni zpozdeni modelu SOTD
completed - priznak, ze je identifikace dokoncena
webOutputString - vystup na web, informace uzivateli
*)

FUNCTION_BLOCK fbRelayFeedbackIdentification

(*funkcni blok releove zpetnovazebni identifikace
*)
VAR_INPUT
y:REAL; // regulovana velicina
uMaxValue : REAL := 10; // maximalni hodnota vstupu
uMinValue : REAL := 0; // minimalni hodnota vstupu
u0 : REAL := 3; // vstup v pracovnim bode
END_VAR
VAR_OUTPUT
u:REAL; // akcni velicina
sotdA1 : REAL; // casova konstanta modelu SOTD
sotdA2 : REAL; // druha casova konstanta modelu SOTD
sotdK : REAL; // staticka citlivost v modelu SOTD
sotdTau :REAL; // dopravni zpozdeni v modelu SOTD
completed :BOOL := FALSE; // priznak jestli je identifikace dokoncena
webOutputString : STRING; // vystup na web
END_VAR

VAR_IN_OUT
END_VAR
VAR
ySamplingArray : ARRAY [0..2, 0..1300] OF REAL; // vzorkovani prubehu
regulovane veliciny
uSamplingArray : ARRAY [0..2, 0..1300] OF REAL; //vzorkovani prubehu akcni
veliciny
samplingArrayLastIndexes : ARRAY [0..2] OF UINT; //pocety vzorku
samplingArrayColumnIndex : USINT := 2; //index používaného sloupce
yK1 : REAL; // regulovana veličina v bode blizkem pracovnímu bodu
yK2 : REAL; // regulovana veličina v bode blizkem pracovnímu bodu
uK1 : REAL; // akcni veličina v bode blizkem pracovnímu bodu
uK2 : REAL; // akcni veličina v bode blizkem pracovnímu bodu
trailingEdgeIndex : ARRAY [0..2] OF UINT; //index na kterém došlo k přepnutí
relé (u)
currentLastIndex : UINT; // minuly index
leadingEdgeCounter : INT; // pocet nabeznych hran
runningBlockCase : INT :=0; // aktualni blok kodu
tempCounter : INT :=0; // pocet vzorku po detekci ustaleni (yk1, yk2)
tempCounter2 : INT :=0; // citac
trailingEdgeCounter : INT; // pocet sestupnych hran
indexIntegral : UINT; // index pri integraci
indexShiftIntegral : UINT; // posunuty index pri integraci (posuv = Tperiod/2)

```

```

samplingArrayColumnNeighbour1Index : UINT; // index sousedního sloupce pole
samplingArrayColumnNeighbour2Index : UINT; // index sousedního sloupce pole
samplingArrayIndex : UINT; // index při vzorkování
samplingArrayIndexOld : UINT; // původní index při vzorkování z předchozího
průchodu
buttonIsPressed : BOOL :=1; // input z buttonu
tempBool : BOOL := false; // dočasná bool hodnota
tempBool2 : BOOL := false; // dočasná bool hodnota
samplingExit : bool := false; // příznak, zda opustit vzorkování
hysteresisHighValue : REAL; // horní mez hystereze
hysteresisLowValue : REAL; // dolní mez hystereze
integralExponent1 : REAL; // exponent ve vzorci s integrálem (realny)
integralExponent2 : REAL; // exponent ve druhém vzorci s integrálem (realny)
K : REAL; // statická citlivost
noiseMax : REAL; // maximální sum
omega1 : REAL; // úhlová rychlost ve vzorci s integrálem
omega2 : REAL; // úhlová rychlost ve druhém vzorci s integrálem
samplingDelayMax : REAL; // maximální zpoždění při vzorkování pole (0;
samplingPeriodTimeSpan)
samplingDelaySum : REAL; // suma všech zpoždění při vzorkování pole
samplingDelaySumMax : REAL; // maximální suma všech zpoždění při vzorkování
poli
samplingPeriodTimeSpan : REAL; // vzorkovací perioda integrátoru
tauIndexIntegral : REAL; // čas při integraci
tempReal : REAL; // dočasná proměnná pro real
tempReal4 : REAL; // dočasná proměnná pro real
tempSum : REAL; // pomocná proměnná pro výpočet průměru výstupu
timeDiff : REAL; // pomocná proměnná pro určení rozdílu času
trafficDelay : REAL; // dopravní zpoždění
T1 : REAL; // čas pro rele v horní poloze
T2 : REAL; // čas pro rele ve spodní poloze
Tperiod : REAL; // délka periody [ms]
uHighValue : REAL; // hodnota vstupu při horní poloze rele
uLowValue : REAL; // hodnota vstupu při spodní poloze rele
y0 : REAL; // výstup v pracovním bodě
ySamplingArrayDiffSum : REAL; // suma rozdílu mezi naměřenými hodnotami Y v
posledních třech průchodech
ySamplingArraySum : REAL; // suma naměřených hodnot v poli Y
G1 : COMPLEX; // první bod Nyquistovy frekvenční charakteristiky v komplexní
rovíně
G2 : COMPLEX; // druhý bod Nyquistovy frekvenční charakteristiky v komplexní
rovíně
integralComplexExponent1 : COMPLEX; // komplexní exponent v prvním integrálu
integralComplexExponent2 : COMPLEX; // komplexní exponent ve druhém integrálu
integralU1 : COMPLEX; // výsledek celého integrálu ve jmenovateli 1. vzorce
integralU2 : COMPLEX; // výsledek celého integrálu ve jmenovateli 2. vzorce
integralY1 : COMPLEX; // výsledek celého integrálu v čitateli 1. vzorce
integralY2 : COMPLEX; // výsledek celého integrálu v čitateli 2. vzorce
uSampleComplex1 : COMPLEX; // vzorek v komplexní rovině ve jmenovateli 1.
vzorce
uSampleComplex2 : COMPLEX; // vzorek v komplexní rovině ve jmenovateli 2.
vzorce
ySampleComplex1 : COMPLEX; // vzorek v komplexní rovině v čitateli 1. vzorce
ySampleComplex2 : COMPLEX; // vzorek v komplexní rovině v čitateli 2. vzorce
leadingEdgeRtc : DATE_AND_TIME; // čas náběžné hrany
trailingEdgeRtc : DATE_AND_TIME; // čas sestupné hrany
tempDateTime : DATE_AND_TIME; // dočasná proměnná pro datetime
T0 : DATE_AND_TIME; // počátek vzorkovací periody
timer : TON; // časovač
timerForDelay : TON; // časovač pro zpoždění náběžné a spadové hrany
fb_webInputValidation : webInputValidation; // funkční blok pro kontrolu
zadanych udaju
fb_stabilization : fbstabilization; // funkční blok pro kontrolu ustaleni
fb_parametrySOTD : fbparametrySOTD; // funkční blok výpočtu parametru modelu
END_VAR
VAR_TEMP
END_VAR

```



```

// Urceni parametru modelu ze tri bodu Nyquistovy frekvencni charakteristiky
s pridanym dopravnim zpozenim

CASE runningBlockCase OF

////////////////////////////////////
//////////////////////////////////// nastaveni parametru a cekani na buttonIsDisabled //////////////////////////////////
////////////////////////////////////

00: // Init
    runningBlockCase := 01; // prechod do dalsiho CASE

01: // Main
    IF buttonIsPressed = TRUE THEN // kontrola stisknuti tlacitka
        fb_webInputValidation(minValue:= uMinValue, minOffset := -0.5, maxValue:=
uMaxValue, value:=u0, isValid => tempBool, message => webOutputString);
//volání podprogramu pro kontrolu zadaných parametru
        IF tempBool = FALSE THEN // kdyz jsou spatne zadane udaje
            buttonIsPressed := FALSE; //uvolnění tlacitka
        ELSE
            runningBlockCase := 10; // prechod do dalsiho CASE
            completed := FALSE; // priznak ze neni hotovo
        END_IF;
    END_IF;

////////////////////////////////////
//////////////////////////////////// cekani na ustaleni //////////////////////////////////
////////////////////////////////////

10: // Init
    u:=u0-0.5; // nastaveni vstupního napití pod pracovní bod, kvuli ureení
statické citlivosti
    runningBlockCase := 11; // prechod do dalsiho CASE

11: // Main
    fb_stabilization(vstup:=y, cas_mereni:= T#10s, ustaleno => tempBool); //
cekani na ustaleni vystupu
    IF tempBool = TRUE THEN // kdyz je vystup ustaleny
        runningBlockCase := 20; // prechod do dalsiho CASE
    END_IF;

////////////////////////////////////
//////////////////////////////////// urceni u1 a y1 //////////////////////////////////
////////////////////////////////////

20: // Init
    tempCounter := 0; //vynulovani citace
    tempSum := 0; //vynulovani promenne
    runningBlockCase := 21; // prechod do dalsiho CASE

21: // Main
    timer(IN:=TRUE, PT:=T#1s); // casovac pro urceni prumerne hodnoty vystupu v
bode 1 pro urceni staticke citlivosti
    tempSum := tempSum+y; // suma vystupu po dobu behu casovace
    tempCounter := tempCounter+1; // pocet sectenych vystupu po dobu casovace
    IF timer.Q THEN // po uplynutí easovae
        timer(IN:=FALSE); // vynulování casovace
        yK1 := tempSum/INT_TO_REAL(tempCounter); // vypocet prumerne hodnoty
vystupu
        uK1 := u0 - 0.5; // hodnota akcni veliciny
        runningBlockCase := 30; // prechod do dalsiho CASE
    END_IF;

////////////////////////////////////
//////////////////////////////////// cekani na ustaleni //////////////////////////////////
////////////////////////////////////

```

```

30: // Init
   u:=u0; //nastavení akcni veliciny na zadanou hodnotu, tj. pracovni bod
   runningBlockCase := 31; // prechod do dalsiho CASE

31: // Main
   fb_stabilization(vstup:=y, cas_mereni:= T#10s, ustaleno => tempBool); //
cekani na ustaleni vystupu
   IF tempBool = TRUE THEN // kdyz je ustaleny vystup
       runningBlockCase := 40; // prechod do dalsi faze programu
   END_IF;

////////////////////////////////////
//////////////////////////////////// urceni u2 a y2 //////////////////////////////////
////////////////////////////////////

40: // Init
   tempSum := 0; // vynulovani promenne
   tempCounter := 0; // vynulovani citace
   runningBlockCase := 41; // prechod do dalsiho CASE

41: // Main
   timer(IN:=TRUE, PT:=T#1s); // casovac pro vypocet prumerne hodnoty vystupu
   tempSum := tempSum+y; // suma vzorku vystupu
   tempCounter := tempCounter+1; //pocet secenych vystupu
   IF timer.Q THEN // když casovac dobehne
       timer(IN:=FALSE); // nulovani casovace
       yK2 := tempSum/INT_TO_REAL(tempCounter); // vypocet prumerneho vystupu v
bode pro urceni staticke citlivosti
       uK2 := u0; //akcni velicina v bode pro urceni staticke citlivosti
       y0:=yK2; //regulovana velicina v pracovnim bode
       K:=(yK2-yK1)/(uK2-uK1); //vypocet hodnoty statické citlivosti
       runningBlockCase:=50; // prechod do dalsiho CASE
   END_IF;

////////////////////////////////////
//////////////////////////////////// mereni sumu //////////////////////////////////
////////////////////////////////////

50: // Init
   noiseMax := 0; //vynulování nejvyšší hodnoty výstupu
   runningBlockCase:=51; // prechod do dalsiho CASE

51: // Main
   timer(IN:=TRUE, PT:=T#10s); // casovac po ktery se meri sum
   IF timer.Q = FALSE THEN // kdyz casovac nedobehl
       IF ABS(y0-y)>noiseMax THEN // kdyz absolutní hodnota sumu je vetsi nez
nejvetsi ulozena
           noiseMax:=ABS(y0-y); // ulozeni velikosti sumu z aktualni absolutni
hodnoty sumu
       END_IF;
   ELSE
       timer(IN:=FALSE); // vynulovani casovace
       hysteresisHighValue:=noiseMax*8; // urceni mezi hystereze rele z velikosti
sumu
       hysteresisLowValue:=noiseMax*10; // urceni mezi hystereze rele z velikosti
sumu
       runningBlockCase:=70; // prechod do dalsiho CASE
   END_IF;

(* // uprava pro pouziti simulace soustavy
   noiseMax:=0.2;
   hysteresisHighValue:=noiseMax*6;
   hysteresisLowValue:=noiseMax*10;
   runningBlockCase :=70;
*)

////////////////////////////////////
//////////////////////////////////// urceni periody //////////////////////////////////
////////////////////////////////////

```

```

////////////////////////////////////
70: // Init
   uHighValue := u0 + 5; // urceni horni polohy rele
   IF uHighValue > uMaxValue THEN // pokud horni poloha rele je vyssi nez
maximalni
       uHighValue:= uMaxValue; // uprava horni hodnoty rele
       END_IF; // horni mez rele

   uLowValue:= u0 - 3; // dolni poloha rele
   IF uLowValue < uMinValue THEN // kdyz je spodni poloha relé mensi nez
minimalni
       uLowValue:= uMinValue; // uprava spodni polohy rele
       END_IF;
   u:= uHighValue; // nastaveni akcni veliciny na horni mez rele
   trailingEdgeCounter:=0; // citac spadovych hran
   leadingEdgeCounter:=1; // citac nabeznych hran
   tempBool := FALSE; // ukazatel stejne delky casu T1
   tempBool2 := FALSE; // ukazatel stejne delky casu T2
   T1 := 1; // nastaveni casu T1 na nenulovou hodnotu
   T2 := 1; // nastaveni casu T2 na nenulovou hodnotu
   leadingEdgeRtc := getRTC(); // cas nabezne hrany
   trailingEdgeRtc := getRTC(); // cas spadove hrany
   runningBlockCase := 71; // prechod do dalsiho CASE

71: // Main
   IF y>y0+hysteresisHighValue AND u=uHighValue THEN // kdyz je cas na sestupnou
hranu a jeste k ni nedoslo
       u:= uLowValue; // dolni mez rale
       tempDateTime:= getRTC(); // ulozeni aktualniho casu
       trailingEdgeCounter := trailingEdgeCounter + 1; // citac spadovych hran
       trailingEdgeRtc := tempDateTime; // cas spadove hrany
       tempReal := (TIME_TO_REAL(SUB_DT_DT(tempDateTime,leadingEdgeRtc))); //
aktualni cas T1
       IF abs(1.0 - tempReal/T1) < 0.03 THEN // kdyz je rozdil mezi soucasnym a
minulym T1 rozdil mensi nez 3 procenta
           tempBool := TRUE; // ukazatel splneni podminky
       ELSE
           tempBool := FALSE; // ukazatel na nesplneni podminky
       END_IF;
       T1 := tempReal; // prepsani casu T1
   END_IF;
   IF y<y0-hysteresisLowValue AND u=uLowValue THEN // kdyz ma byt nabezna hrana
a jeste k ni nedoslo
       u:= uHighValue; // nastavi se nabezna hrana
       tempDateTime:= getRTC(); // cas nabezne hrany
       leadingEdgeCounter := leadingEdgeCounter + 1; // citac nabeznych hran
       leadingEdgeRtc := tempDateTime; // cas nabezne hrany
       tempReal := (TIME_TO_REAL(SUB_DT_DT(tempDateTime,trailingEdgeRtc))); //
vypocet casu T2
       IF abs(1.0 - tempReal/T2) < 0.03 THEN // kdyz je rozdil mezi soucasnym a
minulym T2 rozdil mensi nez 3 procenta
           tempBool2 := TRUE; // ukazatel splneni podminky
       ELSE
           tempBool2 := FALSE; // ukazatel nesplneni podminky
       END_IF;
       T2 := tempReal; // cas T2
   END_IF;
   IF tempBool AND tempBool2 AND u=uHighValue THEN // kdyz jsou splneny podminky
a rele je nahore
       Tperiod := T1+T2; // vypocet periody
       TrafficDelay := Tperiod/2;
       runningBlockCase :=80; // prechod do dalsiho CASE
   END_IF;

////////////////////////////////////
//////////////////////////////////// vzorkovani //////////////////////////////////////

```

```

////////////////////////////////////
80: // Init
  IF T1 > T2 THEN // kontrola splneni podminky
    webOutputString := 'T1 je vetsi nez T2, sprav si to'; // hlaseni o
nesplneni podminky
    runningBlockCase := 1000; // prechod do dalsiho CASE
  END_IF;
  samplingArrayIndexOld := 1000; // nastaveni indexu na nesmyslny
  samplingArrayColumnIndex := 0; // nastaveni sloupce pole
  samplingArrayColumnNeighbour1Index := 1; // nastaveni sousedniho sloupce
  samplingArrayColumnNeighbour2Index := 2; // nastaveni druhého sousedniho
sloupce
  ySamplingArrayDiffSum := 0; // nulovani souctu rozdilu mezi sloupci
  ySamplingArraySum := 0; // soucet ulozenych prvku
  samplingArrayLastIndexes[0] := 1000; // nastaveni indexu na nesmyslny
  samplingArrayLastIndexes[1] := 1000; // nastaveni indexu na nesmyslny
  samplingArrayLastIndexes[2] := 1000; // nastaveni indexu na nesmyslny
  tempCounter := 0; // citac
  tempCounter2 := 0; // citac
  samplingDelayMax := 0; // nulovani maximalniho zpozdeni
  samplingDelaySum := 0; // nulovani souctu zpozdeni
  samplingDelaySumMax := 0; // nulovani maximalniho celkoveho souctu zpozdeni
  samplingPeriodTimeSpan := Tperiod / 900.0; // vzorkovaci perioda [ms], ale
opravdu! [ms]!!
  samplingPeriodTimeSpan := 10*CEIL(samplingPeriodTimeSpan/10); // uprava
vzorkovaci periody
  IF (samplingPeriodTimeSpan < 20) THEN // kdyz je vzorkovaci perioda mensi
nez 20ms
    samplingPeriodTimeSpan := 20; // vzorkovaci perioda 20ms
  END_IF;
  T0:=GetRTC(); // aktualni cas
  runningBlockCase := 81; // prechod do dalsiho CASE

81: // Main
  IF y>y0+hysteresisHighValue AND u=uHighValue THEN // kdyz je cas na sestupnou
hranu
    timerForDelay(IN := TRUE, PT := REAL_TO_TIME(trafficDelay)); // zpozdeni
sestupne hrany
    IF timerForDelay.Q = TRUE THEN // kdyz casovac dobehne
      u:= uLowValue; // sestupna hrana
      tempCounter2 := tempCounter2+1; //citac
      timerForDelay(IN := FALSE); // vynulovani casovace
      tempDateTime:= getRTC(); // aktualni cas
      trailingEdgeRtc := tempDateTime; // cas spadove hrany
      tempReal := (TIME_TO_REAL(SUB_DT_DT(tempDateTime,leadingEdgeRtc))); //
T1
      T1 := tempReal; // T1
    END_IF;
  END_IF;
  IF y<y0-hysteresisLowValue AND u=uLowValue THEN // cas na nabeznou hranu
    timerForDelay(IN := TRUE, PT := REAL_TO_TIME(trafficDelay)); // zpozdeni
nabezne hrany
    IF timerForDelay.Q = TRUE THEN // dobehl casovac
      u:= uHighValue; // nabezna hrana
      timerForDelay(IN := FALSE); // vynulovani casovace
      tempDateTime:= getRTC(); // aktualni cas
      leadingEdgeRtc := tempDateTime; //cas nabezne hrany
      tempReal := (TIME_TO_REAL(SUB_DT_DT(tempDateTime,trailingEdgeRtc))); //
T2
      T2 := tempReal; // T2
      T0:= getRTC(); // aktualni cas
      IF (samplingDelaySum > samplingDelaySumMax) THEN // kontrola hodnoty
sumy zpozdeni
        samplingDelaySumMax := samplingDelaySum; // prepsani hodnoty sumy
zpozdeni
      END_IF;
      samplingDelaySum := 0; // vynulovani sumy zpozdeni

```

```

        IF tempCounter2 > 3 AND ySamplingArrayDiffSum/ySamplingArraySum < 0.06
THEN // kontrola opousteci podminky
        samplingExit := TRUE; // ukazatel ukonceni vzorovani
        runningBlockCase := 90; // prechod do dalsiho CASE
    ELSE
        samplingArrayColumnIndex := samplingArrayColumnIndex + 1; // prechod
do dalsiho sloupce
        IF samplingArrayColumnIndex > 2 THEN // kontrola cisla sloupce
            samplingArrayColumnIndex := 0; // uprava cisla sloupce
        END_IF;
        samplingArrayLastIndexes[samplingArrayColumnIndex] := 0; // vynulovani
cisla posledniho vzorku
        CASE samplingArrayColumnIndex OF // upravy sloupcu sousedu
            0 :
                samplingArrayColumnNeighbour1Index := 1;
                samplingArrayColumnNeighbour2Index := 2;
            1 :
                samplingArrayColumnNeighbour1Index := 0;
                samplingArrayColumnNeighbour2Index := 2;
            2:
                samplingArrayColumnNeighbour1Index := 0;
                samplingArrayColumnNeighbour2Index := 1;
        END_CASE;
        ySamplingArraySum := 0; // vynulovani souctu vzorku
        ySamplingArrayDiffSum := 0; // vynulovani souctu rozdilu vzorku
    END_IF;
END_IF;
END_IF;
IF samplingExit = FALSE THEN // kdyz neni ukonceno vzorkovani
    timeDiff := TIME_TO_REAL(SUB_DT_DT(GetRTC(),T0)); // cas od pocatku
periody
    samplingArrayIndex:=
        REAL_TO_UINT(FLOOR(timeDiff
samplingPeriodTimeSpan)); // index vzorku
    IF (samplingArrayIndex <> samplingArrayIndexOld) THEN // kdyz mame novy
index vzorku
        ySamplingArray[samplingArrayColumnIndex,samplingArrayIndex] := y; //
ulozeni vzorku regulovane veliciny
        uSamplingArray[samplingArrayColumnIndex,samplingArrayIndex] := u; //
ulozeni vzorku akcni veliciny
        samplingArrayLastIndexes[samplingArrayColumnIndex]:=
samplingArrayIndex; // prepsani posledniho indexu
        IF samplingArrayLastIndexes[samplingArrayColumnNeighbour1Index] >=
samplingArrayIndex THEN // pokud nebyl presazen pocet vzorku v sousednim sloupci
            ySamplingArrayDiffSum:=
                ySamplingArrayDiffSum + abs(y-
ySamplingArray[samplingArrayColumnNeighbour1Index
,samplingArrayIndex]); //
prepocet sumy rozdilu
        END_IF;
        IF samplingArrayLastIndexes[samplingArrayColumnNeighbour2Index] >=
samplingArrayIndex THEN // pokud nebyl presazen pocet vzorku v sousednim sloupci
            ySamplingArrayDiffSum:=
                ySamplingArrayDiffSum + abs(y-
ySamplingArray[samplingArrayColumnNeighbour2Index
,samplingArrayIndex]); //
prepocet sumy rozdilu
        END_IF;
        ySamplingArraySum := ySamplingArraySum + abs(y); // suma ulozenych prvku
        IF samplingArrayIndex = 0 THEN // kdyz je pocatek periody
            tempReal4 := timeDiff; // rozdil casu
        ELSE
            tempReal4 := timeDiff - (UINT_TO_REAL(samplingArrayIndexOld + 1) *
samplingPeriodTimeSpan); // rozdil casu
        END_IF;
        IF (tempReal4 > samplingDelayMax) THEN // kontrola maximalniho zpozdeni
            samplingDelayMax := tempReal4; // maximalni zpozdeni
        END_IF;
        samplingDelaySum := samplingDelaySum + tempReal4; // suma zpozdeni
vzorkovani
        IF (samplingArrayIndex <> 0 AND samplingArrayIndex <>
samplingArrayIndexOld + 1) THEN
            tempCounter := tempCounter + 1; // citac vzorku

```

```

        END_IF;
        samplingArrayIndexOld := samplingArrayIndex; // minuly index
    END_IF;
END_IF;

////////////////////////////////////
//////////////////////////////////// vypočet integralu //////////////////////////////////////
////////////////////////////////////

90: // Init
    Tperiod := T1+ T2; // vypočet periody
    omegal   := MATH.PI*2 / (Tperiod * 0.001); // frekvence identifikace
    omega2   := 2.0*omegal; // dvojnásobek frekvence identifikace
    indexIntegral:=0; // index prvku pro integraci
    indexShiftIntegral:=
(samplingArrayLastIndexes[samplingArrayColumnIndex]/2); // posunutý index prvku
pro integraci
    currentLastIndex:= samplingArrayLastIndexes[samplingArrayColumnIndex]; //
poslední index vzorku
    u :=uMinValue; // minimalizování hodnoty akční veličiny
    runningBlockCase := 91; // přechod do dalšího CASE

91: // Main
    IF indexShiftIntegral > currentLastIndex THEN // kontrola posunutého
indexu v integrálu
        indexShiftIntegral := indexShiftIntegral - currentLastIndex; // úprava
posunutého indexu v integrálu
    END_IF;
    tauIndexIntegral := UINT_TO_REAL(indexIntegral)*samplingPeriodTimeSpan
/ 1000; // čas v integrálu jako desetinné číslo v sekundách
    integralExponent1:= omegal*tauIndexIntegral; // exponent integrálu
    integralExponent2:= omega2*tauIndexIntegral; // exponent integrálu
    integralComplexExponent1.re := 0; // reálná složka exponentu v integrálu
    integralComplexExponent1.im := -integralExponent1; // imaginární složka
exponentu v integrálu
    uSampleComplex1.im:=0; // imaginární složka vzorku akční veličiny
    uSampleComplex1.re:=
(uSamplingArray[samplingArrayColumnIndex,indexIntegral]); // reálná složka
vzorku akční veličiny
    ySampleComplex1.im:=0; // imaginární složka vzorku regulované veličiny
    ySampleComplex1.re:=
(ySamplingArray[samplingArrayColumnIndex,indexIntegral]); // reálná složka
vzorku regulované veličiny
    integralComplexExponent2.re := 0; // reálná složka exponentu v integrálu
    integralComplexExponent2.im := -integralExponent2; // imaginární složka
exponentu v integrálu
    uSampleComplex2.im:=0; // imaginární složka vzorku akční veličiny
    uSampleComplex2.re:=
(uSamplingArray[samplingArrayColumnIndex,indexIntegral])+(uSamplingArray[sampl
ingArrayColumnIndex,indexShiftIntegral]); // reálná složka vzorku akční veličiny
    ySampleComplex2.im:=0; // imaginární složka vzorku regulované veličiny
    ySampleComplex2.re:=
(ySamplingArray[samplingArrayColumnIndex,indexIntegral])+(ySamplingArray[sampl
ingArrayColumnIndex,indexShiftIntegral]); // reálná složka vzorku regulované
veličiny
    integralU1 := CADD(X := integralU1, Y :=(CMUL(X:=uSampleComplex1, Y:=
CEXP(X :=integralComplexExponent1)))); // jmenovatel zlomku pro výpočet druhého
bodu
    integralY1 := CADD(X := integralY1, Y :=(CMUL(X:=ySampleComplex1, Y:=
CEXP(X :=integralComplexExponent1)))); // čitatel zlomku pro výpočet druhého
bodu
    integralU2 := CADD(X := integralU2, Y :=(CMUL(X:=uSampleComplex2, Y:=
CEXP(X :=integralComplexExponent2)))); // jmenovatel zlomku pro výpočet třetího
bodu
    integralY2 := CADD(X := integralY2, Y :=(CMUL(X:=ySampleComplex2, Y:=
CEXP(X :=integralComplexExponent2)))); // čitatel zlomku pro výpočet třetího
bodu
    indexIntegral := indexIntegral + 1; // navýšení indexu v integrálu

```

```

        indexShiftIntegral := indexShiftIntegral +1; // navyseni posunuteho indexu
v integralu
        IF indexIntegral = currentLastIndex THEN //konec intervalu
            runningBlockCase := 100; // prechod do dalsiho CASE
        END_IF;

////////////////////////////////////
//////////////////////////////////// vypočet G1 a G2 ///////////////////////////////////
////////////////////////////////////

100: // Init
    runningBlockCase := 101; // prechod do dalsiho CASE

101: // Main
    G1 := CDIV(X := integralY1, Y := integralU1); // druhy bod
    G2 := CDIV(X := integralY2, Y := integralU2); // treti bod
    runningBlockCase := 110; // prechod do dalsiho CASE

////////////////////////////////////
//////////////////////////////////// urceni parametru modelu ///////////////////////////////////
////////////////////////////////////

110: // Init
    runningBlockCase := 111; // prechod do dalsiho CASE

111: // Main
    fb_parametrySOTD(omega_1 := omegal, omega_2 := omega2, K_s := K, bod_1.re
:= G1.re, bod_1.im := G1.im, bod_2.re := G2.re, bod_2.im := G2.im, a_2=>sotdA2,
a_1=>sotdA1, T_d=>sotdTau, K_p=>sotdK); // vypočet parametru modelu
    runningBlockCase := 120; // prechod do dalsiho CASE
    completed := TRUE; // priznak ze je identifikace dokončena

////////////////////////////////////
//////////////////////////////////// priprava na dalsi identifikaci ///////////////////////////////////
////////////////////////////////////

120: // Init
    runningBlockCase := 121; // prechod do dalsiho CASE

121: // Main
    webOutputString := 'Identifikace soustavy byla dokončena'; // hlaseni
uzivateli
    runningBlockCase := 00; // prechod do dalsiho CASE
    buttonIsPressed := FALSE; // uvolneni tlacitka

END_CASE;

END_FUNCTION_BLOCK

```